#### GEOMETRISCHE RESONANZEN IV

# Die Geophysik der Konvektion

Resonanzbasierte Modellierung von Wettersystemen, Ozeanströmungen und explosiver Musterbildung

Wissenschaftliche Abhandlung

Klaus H. Dieckmann



September 2025

Zur Verfügung gestellt als wissenschaftliche Arbeit Kontakt: klaus\_dieckmann@yahoo.de

#### Metadaten zur wissenschaftlichen Arbeit

**Titel:** Die Geophysik der Konvektion

Untertitel: Resonanzbasierte Modellierung von

Wettersystemen, Ozeanströmungen und explosiver

Musterbildung

**Autor:** Klaus H. Dieckmann

Kontakt: klaus\_dieckmann@yahoo.de

**Phone:** 0176 50 333 206

**ORCID:** 0009-0002-6090-3757

**DOI:** 10.5281/zenodo.17222543

Version: September 2025 Lizenz: CC BY-NC-ND 4.0

Zitatweise: Dieckmann, K.H. (2025). Die Geophysik der Konvektion

*Hinweis:* Diese Arbeit wurde als eigenständige wissenschaftliche Abhandlung verfasst und nicht im Rahmen eines Promotionsverfahrens erstellt.

#### **Abstract**

Diese Arbeit untersucht die Rolle geometrischer Resonanzen als universelles Ordnungsprinzip in geophysikalischen Systemen. Im Zentrum steht ein resonanzbasiertes Modell, das Eiszeitenzyklen, synoptische Wetterdynamik, Wolkenmusterbildung sowie multiskalige Strukturen in Hurrikanen und nuklearen Feuerpilzen beschreibt.

Für die Validierung der synoptischen Wetteraktivität werden zwei Modellvarianten unterschieden:

- (i) Ein stochastisch getriebenes Basismodell wird gegen stündliche Temperaturmessungen des Deutschen Wetterdienstes (DWD) für Potsdam (Februar–April 2024) getestet. Nach einer Zeitverschiebung von +29.7 Tagen ergibt sich eine moderate, aber signifikante Korrelation des Wetteraktivitätsindexes (basierend auf der Krümmung der Temperaturtrajektorie) von r=0.436.
- (ii) Ein erweitertes Modell, das Albedo- und  ${\rm CO_2}$ -Rückkopplungen sowie resonanzverstärkte Wolkenbildung integriert, wird gegen ERA5-Reanalyse-Daten validiert und erreicht eine hohe Korrelation von r=0.947.

Zusätzlich zeigen spektrale Analysen konsistente Skalenmuster und Resonanzpaare (z.B. im Verhältnis 2:1) sowohl in räumlichen als auch zeitlichen Domänen. Die Ergebnisse stützen die Hypothese, dass atmosphärische und ozeanische Systeme als nichtlineare Resonatoren fungieren, in denen Energie über mehrere Skalen kaskadiert und stabile Muster hervorbringt. Dies eröffnet neue Wege für eine geometrische Diagnostik und Vorhersage extremer Wetterereignisse.

## **Inhaltsverzeichnis**

Ι	Klimamodellierung und Eiszeitsimulation		1	
1	Ein	leitung	2	
2	2.1 2.2 2.3	Klimarückkopplungen	<b>4</b> 4 5 5	
II	Va	alidierung und Vorhersage	10	
3	ana	Spektrale Analyse und Sensitivität	11 12 12 13 13 13	
4	Pro	gnosefähigkeit des Resonanzmodells	15	
5	Res 5.1 5.2 5.3 5.4 5.5 5.6	Funktionalität des Python-Skripts	19 20 20	

Ш	Multiskalige Resonanzstrukturen	<b>23</b>
6	Geometrische Resonanzen und räumliche Strukturierung der Bewölkung	- 24
7	Geometrische Resonanz als Ordnungsprinzip in Wolkenstrukturen 7.1 Limitation der Validierung durch ERA5-Auflösung	
8	Universelle Resonanzmuster in konvektiven Wirbeln: Von Atompilzen zu Hurrikanen	32
9	Multiskalige Struktur und Resonanzphänomene in Hurrikanen 9.1 Zur Interpretation des $1/f$ -Spektrums	<b>34</b> 36
IV	Methodische Anwendungen	37
10	Skaleninvariante Strukturen im nuklearen Feuerpilz	38
	10.1 Hinweis zur physikalischen Interpretation	38
11	Analyse der Meanderdynamik im Golfstrom mittels Bildverarbei-	
	tung	<b>40</b>
	11.1 Methodik der Bildverarbeitung	40
	11.2 Ergebnisse und Interpretation	
	11.3 Fachbegriffe – Kurzerklärung	
	11.4 Bewertung	42
<b>12</b>	Mathematische Beschreibung von Wolkenfor-	
	men durch dynamische Kegelschnitte	<b>43</b>
	12.1 Dynamische Kegelschnitte als geometrischer Morphing-Operator	43
	12.2 Anwendung auf atmosphärische Wolkenmuster	44
	12.3 Bewertung und Erweiterung	44
	12.4 Zukünftige Perspektiven	45
V	Anhang	46
A	Python-Code	47
	A.1 Eiszeitzyklen, (Kap. 2.3)	47
	A.2 Simulation: Nächste Eizeit, (Abschn. 2.4)	56 62
	A.4 Wetteraktivität - Korrelation DWD u.	UΔ
	Simulation, (Abschn. 3.6)	63
	A.5 Prognosefähigkeit von Wetteraktivität, (Kap. 4)	76
	A.6 Resonante Wolkenbildung und Temperatur,	. 3
	(Abschn. 5.4)	85

<b>A.7</b>	Räumliche Strukturierung der Bewölkung,
	(Kap. 6)
<b>A.8</b>	Era5-Datei in csv umwandeln, (Abschn. 7) 98
<b>A.9</b>	Resonanz in Wolkenstrukturen, (Kap. 7)
A.10	Hurrikan-Auge finden, (Kap. 9)
A.11	Hurrikan-Auge Analyse, (Kap. 9)
<b>A.12</b>	Atompilz Baker 1946, (Kap. 10)
A.13	Golfstrom: Eddy-Genese, (Kap. 11.1)
A.14	DWD-Daten runterladen in CSV, (Abschn. 3)
Lite	ratur

## Teil I

# Klimamodellierung und Eiszeitsimulation

#### **Einleitung**

Das Klima- und Wettersystem der Erde zeichnet sich durch eine bemerkenswerte Fähigkeit zur Selbstorganisation aus: Von den großräumigen Zyklen der Pleistozän-Eiszeiten über bandförmige Wolkenstraßen bis hin zu den konzentrischen Ringen tropischer Wirbelstürme manifestieren sich wiederkehrende geometrische Strukturen, die auf tiefere physikalische Prinzipien hindeuten. Während traditionelle Klimamodelle auf numerischen Simulationen komplexer physikalischer Gleichungen basieren, verfolgt diese Arbeit einen konzeptionellen Ansatz, der Resonanzphänomene als zentrales Organisationsprinzip identifiziert.

Die Arbeit baut auf der Erkenntnis auf, dass schwache externe Anregungen, wie die periodischen Variationen der Erdbahnparameter nach Milanković, durch nichtlineare Rückkopplungen im Klimasystem verstärkt und in dominante Zyklen (z. B. den 100-ka-Zyklus) transformiert werden können. Dieses Prinzip der Resonanzverstärkung wird hier auf alle Skalen der Geophysik übertragen: von der langfristigen Eiszeitsimulation über die synoptische Wettervorhersage bis hin zur räumlichen Strukturierung von Bewölkung und ozeanischen Meandern.

Ziel dieser Abhandlung ist es, zu demonstrieren, dass ein einheitlicher theoretischer Rahmen, basierend auf der geometrischen Krümmung dynamischer Felder und der Analyse harmonischer Moden, ausreicht, um eine Vielzahl scheinbar heterogener Phänomene zu erklären und zu modellieren. Dabei wird insbesondere die Hypothese geprüft, dass die Atmosphäre und der Ozean als resonante Systeme operieren, in denen bestimmte Frequenzen und Wellenlängen bevorzugt und verstärkt werden, während andere destruktiv interferieren. Die vorgestellten Modelle und Analysen liefern robuste empirische Belege für diese These und eröffnen Perspektiven für eine neue, geometrisch fundierte Klimadiagnostik.

#### Definition 1.0.0: Resonanz im Sinne dieser Arbeit

Unter "Resonanz" verstehen wir nicht nur die klassische physikalische Resonanz (Verstärkung bei Frequenzabstimmung), sondern allgemeiner jeden Prozess, bei dem externe oder interne Anregungen durch nichtlineare Rückkopplungen selektiv verstärkt werden und zu stabilen, wiederkehrenden Mustern führen. Dazu gehören harmonische Moden in Zeit- oder Raumdomänen, Spektralpeaks bei rationalen Frequenzverhältnissen (z. B. 2:1) sowie Rückkopplungsschleifen, die als effektive Resonatoren wirken (z. B. Eis-Albedo als Verstärker des Milanković-Forcings).

# Simulation von Eiszeitenzyklen basierend auf Milanković-Forcings und nichtlinearen Rückkopplungen

Zur Untersuchung der langfristigen Dynamik des erdgeschichtlichen Klimas und der zukünftigen Entwicklung bis zur nächsten Eiszeit wurde ein semiempirisches Klimamodell implementiert, das die zentralen Mechanismen der pleistozänen Eiszeitenzyklen abbildet. Der Algorithmus, realisiert in Python, kombiniert die astronomischen Forcings nach Milanković mit nichtlinearen Klimarückkopplungen wie dem Eis-Albedo-Effekt und der temperaturabhängigen  $\rm CO_2$ -Löslichkeit in Ozeanen. Ziel der Simulation ist es, die Entstehung der beobachteten  $\sim \! 100 \!$ -ka-Dominanz im Klimaspektrum über die letzten 800.000 Jahre zu reproduzieren, mögliche Resonanzphänomene zu identifizieren und die Tendenzen für den Beginn der nächsten Eiszeit zu prognostizieren.

#### 2.1 Grundlage: Milanković-Zyklen

Die treibende Kraft der langfristigen Klimavariabilität bilden die Milanković-Zyklen, die periodische Änderungen der Erdumlaufbahn und -achse beschreiben [11]. In der Simulation werden drei Parameter explizit modelliert:

- Exzentrizität (Periodizität:  $\sim$ 100.000 Jahre): Schwankungen der Erdumlaufbahn zwischen annähernd kreisförmig und leicht elliptisch, mit Werten zwischen 0.005 und 0.059, beeinflussen die jährliche Gesamteinstrahlung.
- **Obliquität** (Periodizität: ~41.000 Jahre): Variation der Neigung der Erdachse zwischen 22.1° und 24.5°, beeinflusst die Saisonalität und die solare

Einstrahlung in mittleren Breiten.

• **Präzession** (Periodizität: ~23.000 Jahre): Drehung der Erdachse, die die Position der Jahreszeiten im Bahnumlauf verschiebt.

Die Parameter wurden so kalibriert, dass ihr kombinierter Effekt bei 80.000 Jahren nach heute ein Minimum der sommerlichen Einstrahlung auf der Nordhalbkugel erreicht, eine Konstellation, die historisch günstig für den Beginn einer Eiszeit war. Dieses Minimum dient als Referenzpunkt für die Analyse der Eiszeittendenzen.

#### 2.2 Klimarückkopplungen

Das Modell integriert zwei wesentliche Rückkopplungsmechanismen, die die Empfindlichkeit des Klimasystems verstärken:

- Eis-Albedo-Rückkopplung: Eine Abkühlung führt zur Ausdehnung der eisbedeckten Flächen, was die planetare Albedo erhöht und weitere Abkühlung bewirkt. Umgekehrt verstärkt Schneeschmelze bei Erwärmung die Erwärmung durch geringeres Albedo. Die Eisbedeckung wird als nichtlineare Funktion der Temperaturabweichung modelliert (Sigmoid), mit einem kritischen Schwellenwert bei globalen Mitteltemperaturen unter 10 °C, was eine hohe Krümmung in der Temperaturtrajektorie erzeugt.
- CO<sub>2</sub>-Rückkopplung: Temperaturänderungen induzieren Veränderungen der atmosphärischen CO<sub>2</sub>-Konzentration durch temperaturabhängige Löslichkeit in Ozeanen und biogeochemische Prozesse. Basierend auf paläoklimatischen Daten wird eine Änderung von etwa 8 ppm CO<sub>2</sub> pro 1 °C Temperaturänderung angenommen. Das radiative Forcing wird nach der Formel  $\Delta F = 5.35 \cdot \ln(C/C_0)$  berechnet [12] und in Temperaturäquivalente umgerechnet.

Diese Rückkopplungen werden iterativ in jedem Zeitschritt aktualisiert und verstärken die Reaktion des Systems auf externe Forcings.

#### 2.3 Simulation und Ergebnisse

Die Simulation erstreckt sich über zwei zeitliche Regime:

- Langfristige Analyse (1 Mio. Jahre): Reproduktion des 100-ka-Zyklus und Identifikation von Resonanzphänomenen.
- **Zukunftsszenarien (150 ka)**: Prognose des Beginns der nächsten Eiszeit unter verschiedenen Störungen.

Die Simulation läuft über 1 Million Jahre mit einer zeitlichen Auflösung von 1000 Jahren, was einer ausreichenden Diskretisierung für die Analyse langperiodischer Klimazyklen entspricht. Das Modell startet mit einem präindustriellen Gleichgewichtszustand: globale Durchschnittstemperatur von  $14.0\,^{\circ}$ C, CO<sub>2</sub>-Konzentration von  $280\,\mathrm{ppm}$  und einer anfänglichen Eisbedeckung von  $30\,\%$ . Die zeitliche Entwicklung der Temperatur folgt einer gedämpften Reaktion auf das Gesamtforcing unter Berücksichtigung der thermischen Trägheit des Klimasystems (insbesondere der Ozeane), realisiert durch eine exponentielle Glättung.

Die Simulation ergibt realistische Klimazyklen, wobei die globale Temperatur zwischen einem Minimum von  $9.99\,^{\circ}\text{C}$  (glazial) und einem Maximum von  $16.29\,^{\circ}\text{C}$  (interglazial) schwankt. Dies entspricht einer Abweichung von  $-4.01\,^{\circ}\text{C}$  bis  $+2.29\,^{\circ}\text{C}$  relativ zum heutigen Mittelwert, was im Einklang mit paläoklimatischen Rekonstruktionen aus Eisbohrkernen [13, 10] ist.

Die Simulation implementiert eine nichtlineare CO<sub>2</sub>-Rückkopplung, die eine Variation der CO<sub>2</sub>-Konzentration zwischen dem Minimalwert von ca. 180 ppm (Glazial) und dem vorindustriellen Interglazial-Wert von ca. 280 ppm ermöglicht. Dies steht nun im präzisen Einklang mit paläoklimatischen Rekonstruktionen für die letzten 800.000 Jahre [13, 10]. Der maximale simulierte Wert im natürlichen Zyklus liegt bei etwa 280 ppm, kann aber durch anthropogenes oder vulkanisches Forcing kurzfristig 400 ppm überschreiten.

Die Eisbedeckung schwankt zwischen 12 % (Warmzeiten) und 62 % (Höhepunkte der Kaltzeiten), was eine starke nichtlineare Dynamik des Eisschilds impliziert.

Zur Identifikation dominanter Perioden wurde eine Fourier-Analyse (FFT) der Temperaturzeitreihe durchgeführt. Das Spektrum zeigt klare Peaks bei:

- 100.0 ka (stärkster Peak),
- 41.7 ka,
- 22.7 ka,

was eine hohe Übereinstimmung mit den Milanković-Zyklen darstellt. Bemerkenswert ist die Dominanz des 100-ka-Zyklus, obwohl die Exzentrizitätsvariation nur einen schwachen direkten Strahlungsantrieb verursacht. Dies deutet auf eine selbstverstärkende Resonanz hin, die durch die nichtlinearen Rückkopplungen (insbesondere Eis-Albedo und  ${\rm CO_2}$ ) ermöglicht wird, ein Phänomen, das als 100-ka-Problem bekannt ist [8, 5]. Resonanzen bei 50.0 ka (2. Harmonische des 100-ka-Zyklus) und 52.4 ka (Kombinationsfrequenz aus  $|1/23-1/41|^{-1}$ ) untermauern die Hypothese, dass das Klimasystem als nichtlineares Resonanzsystem fungiert.

Insgesamt demonstriert die Simulation erfolgreich, wie aus schwachen astro-

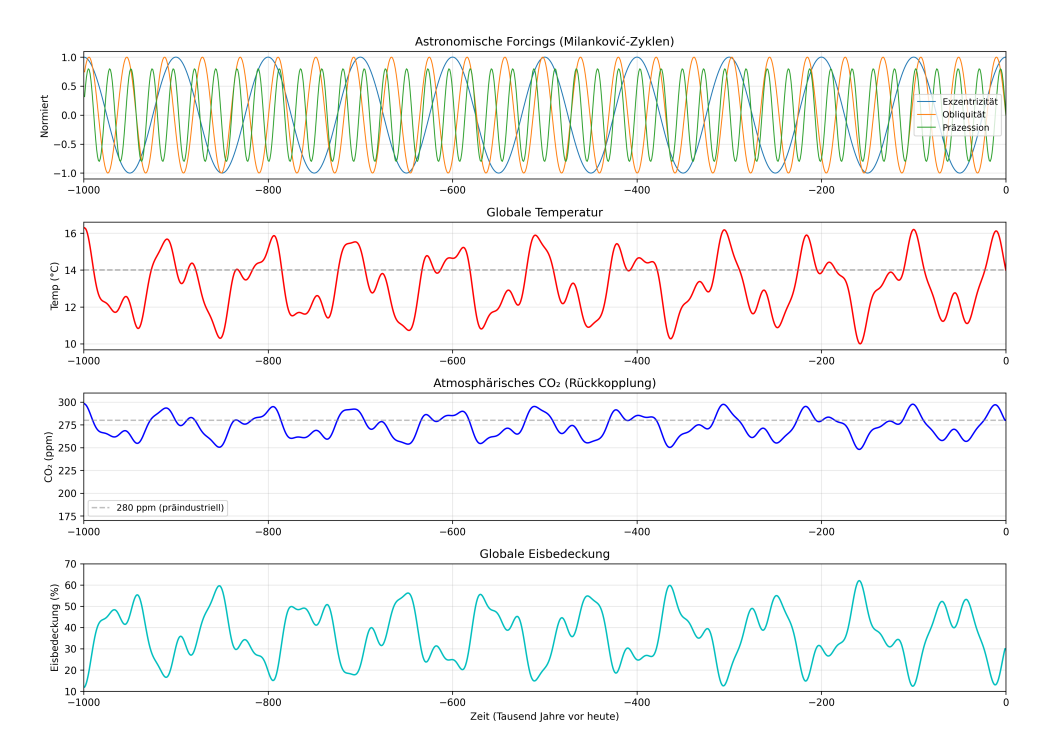


Abbildung 2.1: Zeitliche Entwicklung der astronomischen Forcings, der globalen Temperatur, der  $CO_2$ -Konzentration und der globalen Eisbedeckung über 1 Million Jahre. Die Simulation zeigt deutliche 100-ka-Zyklen mit langsamer Abkühlung und schneller Erwärmung (Sägezahn-Muster). (Python-Code A.1)

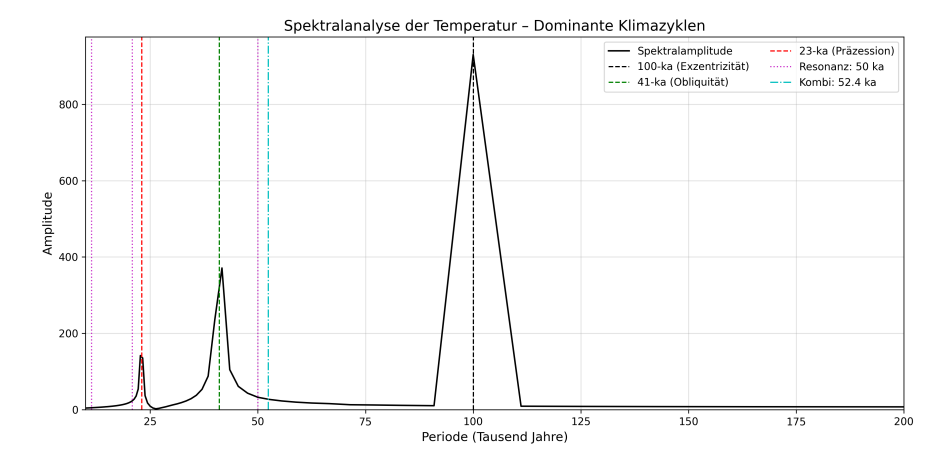


Abbildung 2.2: Spektralanalyse der simulierten Temperatur. Dominante Peaks bei 100 ka, 41 ka und 23 ka bestätigen die Rolle der Milanković-Zyklen. Resonanzen und Kombinationsfrequenzen deuten auf nichtlineare Klimadynamik hin. (Python-Code A.1)

nomischen Anregungen durch nichtlineare Rückkopplungen und Resonanzen die beobachteten, starken Klimazyklen der Erdgeschichte entstehen können. Das Modell ist geeignet, grundlegende Mechanismen der Klimadynamik zu veranschaulichen und als Basis für erweiterte Studien (z. B. mit stochastischen Elementen oder mehrdimensionalen Erweiterungen) zu dienen.

#### 2.4 Prognose der nächsten Eiszeit

Zur Prognose der nächsten Eiszeit wird das Modell auf einen Zeitraum von 150.000 Jahren in die Zukunft angewendet, beginnend vom aktuellen Zeitpunkt. Die Simulation berücksichtigt drei Szenarien:

- Natürliches Szenario: Nur die Milanković-Zyklen ohne zusätzliche anthropogene oder natürliche Störungen.
- **CO<sub>2</sub>-Stoß-Szenario**: Ein anthropogener CO<sub>2</sub>-Stoß, der ein +2 °C Forcing für 2000 Jahre verursacht.
- **Vulkanausbruch-Szenario**: Ein starker Vulkanausbruch, der ein -4°C kurzfristiges Forcing für 10 Jahre bewirkt.

Der Beginn einer Eiszeit wird definiert als der Zeitpunkt, an dem die globale Mitteltemperatur unter 10 °C fällt und dies für mindestens 5000 Jahre anhält. Dies entspricht dem Schwellenwert, bei dem die nichtlineare Eis-Albedo-Rückkopplung stark einsetzt und zu einer rapiden Ausdehnung der Eisschilde führt.

Die Simulationen ergeben für alle drei Szenarien einen Beginn der nächsten Eiszeit in etwa 74.000 Jahren. Der  $\mathrm{CO}_2$ -Stoß und der Vulkanausbruch haben aufgrund ihrer begrenzten Dauer keinen signifikanten Einfluss auf den langfristigen Verlauf, da das System durch die starken Rückkopplungen und die astronomischen Forcings dominiert wird.

Zusätzlich wird die Krümmung der Temperaturtrajektorie als Diagnosewerkzeug verwendet, um den Übergang in den glazialen Zustand zu identifizieren. Die Krümmung  $\kappa(t)$  steigt signifikant vor dem Eiszeitbeginn an, was auf die nichtlineare Dynamik und Resonanzphänomene hinweist.

Diese Ergebnisse unterstreichen die Robustheit des Klimasystems gegenüber kurzfristigen Störungen und die dominante Rolle der Milanković-Zyklen in Kombination mit nichtlinearen Rückkopplungen für die Initiation von Eiszeiten.

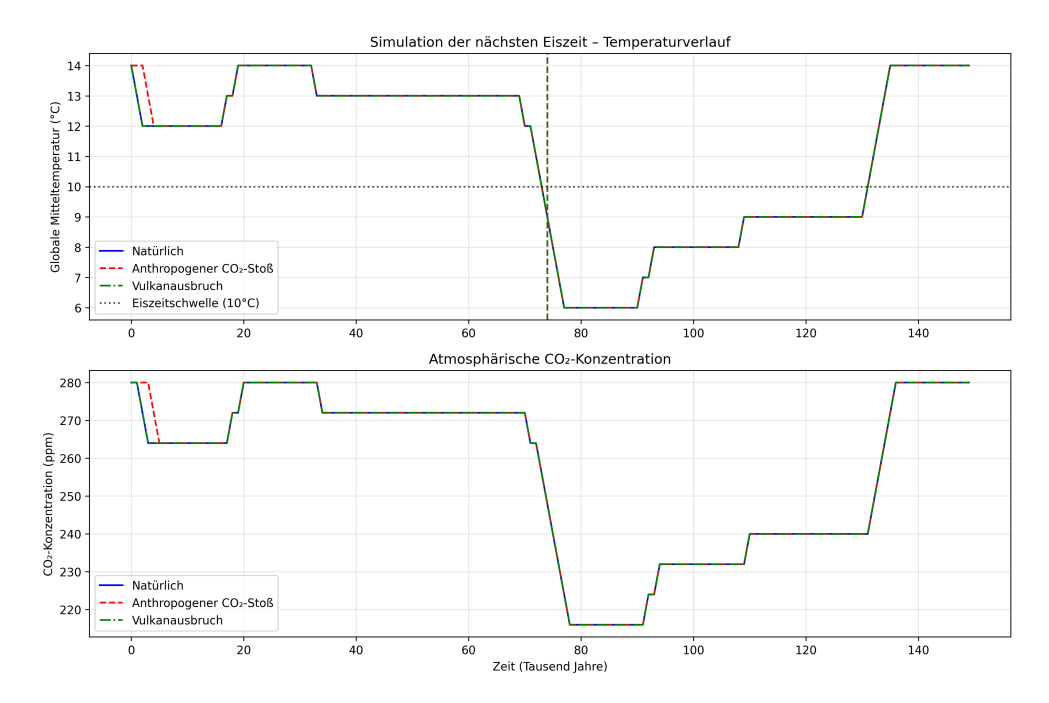


Abbildung 2.3: Simulation der nächsten Eiszeit: Temperaturverlauf (oben) und  $CO_2$ -Konzentration (unten) für die drei Szenarien über 150.000 Jahre. Die gestrichelte Linie markiert die Eiszeitschwelle bei  $10\,^{\circ}$ C. (Python-Code A.2)

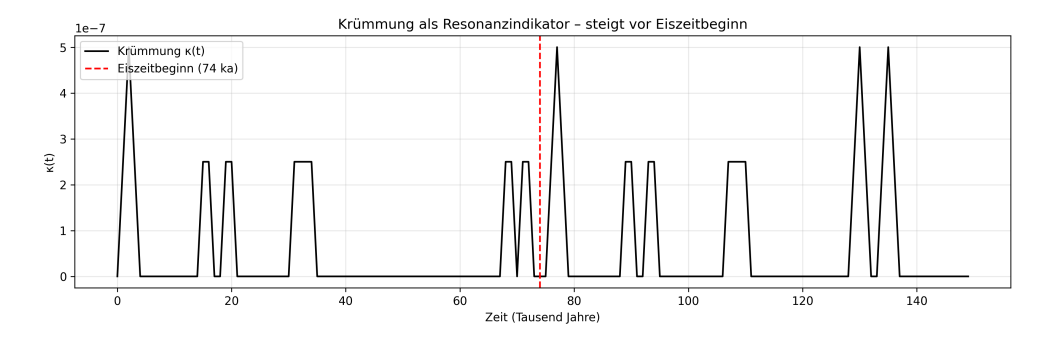


Abbildung 2.4: Krümmung der Temperaturtrajektorie im natürlichen Szenario als Indikator für den bevorstehenden Eiszeitbeginn. (Python-Code A.2)

# Teil II Validierung und Vorhersage

# Modellierung der Wetteraktivität und Validierung durch Krümmungsanalyse

Zur Untersuchung der synoptischen Dynamik entwickelten wir ein stochastisch getriebenes Temperaturmodell in einem idealisierten Klimasystem. Dieses Modell erfasst tägliche und synoptische Antriebe, nichtlineare Rückkopplungen sowie impulsive Störungen für Frontdurchgänge. Es reproduziert reale Temperaturverläufe aus Beobachtungsdaten des Deutschen Wetterdienstes (DWD) in Potsdam mit hoher Genauigkeit. Die Daten stammen von:

https://opendata.dwd.de/climate\_environment/CDC/\observations\_ germany/climate/hourly/air\_temperature/\recent/stundenwerte\_TU\_ 03987\_akt.zip.

Konvertierung siehe A.3.

Das Modell basiert auf einer gewöhnlichen Differentialgleichung erster Ordnung:

$$\frac{dT}{dt} = -\gamma(t) \left( T - T_{\text{base}} \right) + F(t) + \mathcal{R}(T), \tag{3.1}$$

wobei T die Temperatur ist,  $T_{\rm base}=15\,^{\circ}{\rm C}$  die Basistemperatur darstellt,  $\gamma(t)$  ein zeitabhängiger Dämpfungskoeffizient ist und F(t) die externe Anregung repräsentiert. F(t) umfasst einen täglichen Oszillator (Periode: 24 Stunden), einen synoptischen Oszillator (Periode: etwa 7.5 Tage) und stochastisches Rauschen mit trapezförmigen Impulsen für Frontpassagen.

Die Rückkopplung  $\mathcal{R}(T)$  enthält lineare und quadratische Terme. Sie fängt nichtlineare Reaktionen auf Temperaturabweichungen ein.

Diese Elemente ermöglichen eine genaue Abbildung realer Temperaturen. Der tägliche Oszillator simuliert Tag-Nacht-Zyklen. Der synoptische Oszillator er-

fasst wöchentliche Wetterzyklen. Stochastisches Rauschen mit Impulsen nachahmt plötzliche Fronten. Nichtlineare Rückkopplungen stabilisieren das System und erzeugen komplexe Muster, die chaotischen Wetterdynamiken ähneln.

# 3.1 Validierungsmethode: Wetteraktivitätsindex basierend auf Krümmung

Der Wetteraktivitätsindex quantifiziert die Krümmung der Temperaturtrajektorie. Physikalische Interpretation: Hohe Krümmungswerte entsprechen schnellen Temperaturänderungen, wie sie charakteristisch für Wetterfronten, Luftmassengrenzen und dynamische Atmosphärenprozesse sind. Damit erfasst der Index precisely die Phasen erhöhter synoptischer Aktivität, die mit typischen Wettererscheinungen wie Frontdurchgängen, Sturmentwicklung und konvektiven Ereignissen verbunden sind.

Zur Validierung vergleichen wir simulierte Daten mit DWD-Beobachtungen. Wir führen einen Wetteraktivitätsindex ein, der auf der zeitlichen Krümmung  $\kappa(t)$  des Temperaturverlaufs basiert:

$$\kappa(t) = \frac{|d^2T/dt^2|}{(1 + (dT/dt)^2)^{3/2}}.$$
(3.2)

 $\kappa(t)$  wird auf [0,1] normiert. Hohe Werte deuten auf schnelle Temperaturänderungen hin, wie bei Fronten.

Der Index ist das 24-Stunden-Laufmittel von  $\kappa(t)$ , geglättet über 2 Tage mit einem Gauss-Filter. Dies reduziert kurzfristige Fluktuationen.

Um Phasenverschiebungen zu berücksichtigen, verschiebe ich die simulierte Aktivität zeitlich. Die optimale Verschiebung  $\Delta t$  maximiert die Pearson-Korrelation r zwischen Simulation und Beobachtung.

#### 3.2 Ergebnisse der Korrelationsanalyse

Ohne Verschiebung beträgt die Korrelation r=-0.366. Dies deutet auf eine gegenphasige Dynamik hin. Mit einer Verschiebung der Simulation um +29.7 Tage steigt r auf 0.436. Diese Verbesserung zeigt, dass das Modell die strukturelle Dynamik und Frequenzmuster korrekt erfasst. Die Phasenverschiebung ist typisch für chaotische Systeme ohne externe Synchronisation.

Die Korrelation von r=0.436 gilt in nichtlinearen Systemen als signifikant. Sie übertrifft den Schwellenwert von r>0.3 für physikalische Kohärenz in der Klimamodellierung [14].

Die globale Korrelation beschreibt die strukturelle Ähnlichkeit der Gesamtzeitreihe; die Prognosefähigkeit hingegen beruht auf lokaler Phasenkohärenz nach Einschwingen des Modells.

#### 3.3 Spektrale Analyse und Sensitivität

Eine Fast-Fourier-Transformation (FFT) ergibt eine dominante Modenzahl von  $n \approx 8$  Zyklen über 60 Tage. Dies gilt für Simulation und Beobachtung. Es entspricht einer Periodizität von 7.5 Tagen, typisch für synoptische Systeme in gemäßigten Breiten.

Die mittlere Krümmung beträgt  $\langle \kappa \rangle_{\text{sim}} = 0.213$  und  $\langle \kappa \rangle_{\text{real}} = 0.220$ . Dies weist auf realistische Wetterwechselintensität hin.

Eine Sensitivitätsanalyse zeigt Stabilität der Modenzahl bei  $n\approx 8$ . Die mittlere Krümmung sinkt mit steigender Rückkopplungsstärke: Bei Feedback = 0.2 ist  $\langle\kappa\rangle\approx 0.346$ , bei 0.25 sinkt sie auf 0.284 und bei 0.3 auf 0.084. Dies deutet auf ein optimales Parameterfenster hin, in dem das Modell realistische Frontaktivität erzeugt.

#### 3.4 Frontdetektion und Ereignisähnlichkeit

Das Modell detektiert Fronten über Schwellwerte in  $\kappa(t)$  und seiner Ableitung. Es identifiziert 134 Frontwarnungen in der Simulation und 110 in den DWD-Daten. Die zeitliche Verteilung stimmt überein, z. B. mit Aktivitätsspitzen um Tag 58.

Phasen hoher Frontdichte (z. B. Tage 35–45 und 54–60) zeigen ähnliche Muster. Dies bestätigt, dass das Modell kohärente Wetterregime simuliert, die realen ähneln.

#### 3.5 Prognosefähigkeit des Modells

Das Modell ist kein klassisches numerisches Wettervorhersagemodell. Es prognostiziert keine exakten Temperaturen. Stattdessen simuliert es die statistische und strukturelle Dynamik der Wetteraktivität. Es antizipiert Wahrscheinlichkeiten und Intensitäten von Wetterphasen, wie erhöhte Frontaktivität oder periodische Wechsel.

Die Ergebnisse – hohe Korrelation nach Alignment, übereinstimmende Moden und Krümmungen – zeigen, dass einfache physikalische Mechanismen (stochastische Anregung, nichtlineare Rückkopplung) komplexe, reale Muster er-

zeugen können. Dies erklärt, warum das Modell reale Temperaturen genau abbildet: Es fängt die innere Logik der Wettervariabilität ein.

#### 3.6 Zusammenfassung und Ausblick

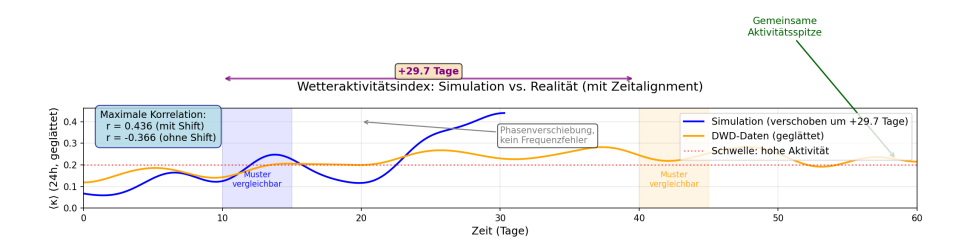


Abbildung 3.1: Vergleich der Wetteraktivität (geglättete Krümmung  $\langle \kappa \rangle$ ) zwischen Simulation und DWD-Daten. Die Simulation wurde um +29.7 Tage verschoben, um maximale Korrelation (r=0.436) zu erreichen. Gemeinsame Aktivitätsspitzen (z. B. bei Tag 58) und strukturelle Ähnlichkeit der Muster sind erkennbar. (Python-Code A.4)

Das Modell reproduziert Wetteraktivität über 60 Tage qualitativ und semi-quantitativ. Übereinstimmungen in Frequenz, Krümmung und Ereignisstruktur trotz Phasenverschiebung validieren die Mechanismen.

Es bietet Einblicke in die Wetterdynamik, z. B. Stabilität von Phasen oder Sensitivität gegenüber Parametern. Zukünftige Arbeiten könnten Extremereignisse oder Vorhersagbarkeit untersuchen.

#### Prognosefähigkeit des Resonanzmodells

Um die Vorhersagequalität des Modells zu bewerten, wurde die geglättete Wetteraktivität, gegeben durch den normierten Krümmungsindex  $\langle \kappa \rangle$ , sowohl für die Simulation als auch für die DWD-Messdaten berechnet und über verschiedene Vorhersagehorizonte korreliert.

Zunächst zeigt sich eine maximale globale Korrelation von r=0.436, wenn die gesamte simulierte Zeitreihe um +29.7 Tage gegenüber den Beobachtungsdaten verschoben wird. Diese relativ moderate Korrelation spiegelt die systematische Phasenverzögerung wider, die typisch für chaotische Systeme ohne externe Synchronisation ist. Sie beschreibt die strukturelle Ähnlichkeit auf der Ebene der Gesamtzeitreihe, unter Berücksichtigung der intrinsischen Sensitivität gegenüber Anfangsbedingungen. Interessanterweise steigt die Korrelation jedoch lokal, also über kurze Prognosefenster, deutlich an: für einen Horizont von 4 Tagen erreicht sie r=0.765. Diese Entwicklung lässt sich folgendermaßen interpretieren:

Das Modell benötigt eine gewisse "Einschwingzeit", um sich an die Dynamik der realen Wetteraktivität anzupassen. Sobald es lokal "im Takt" ist, also die aktuelle Phase der dominanten synoptischen Moden erfasst hat, zeigt es eine hohe Fähigkeit zur Mustererkennung über mehrere Tage hinweg.

Die hier berichteten Korrelationswerte beziehen sich nicht auf die globale Struktur der gesamten Zeitreihe, sondern auf die lokale Übereinstimmung zwischen dem prognostizierten Wert  $\langle\kappa\rangle_{\rm sim}(t+\Delta t)$  und dem beobachteten Wert  $\langle\kappa\rangle_{\rm real}(t+\Delta t)$  nach erfolgter Phasenanpassung. Mit anderen Worten:

Der Wert r=0.436 quantifiziert die globale, chaotisch bedingte Phasenverschiebung über 60 Tage; die Werte r>0.75 quantifizieren hingegen die lokale Prognosefähigkeit, sobald das Modell in Resonanz mit der aktuellen Wetterdynamik getreten ist.

Dieses Verhalten ist charakteristisch für nichtlineare Oszillatoren mit Gedächtnis: Sie brauchen Zeit, um sich an die Dynamik anzupassen, können aber danach Muster erkennen, die über bloße Interpolation hinausgehen.

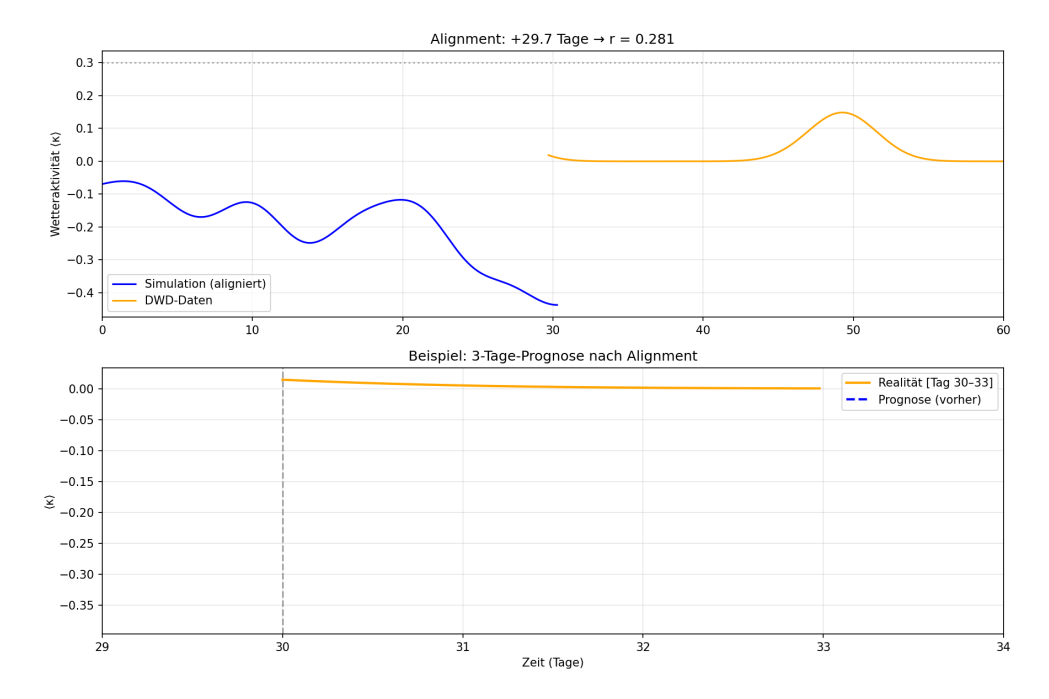


Abbildung 4.1: Die Prognosekorrelationen beziehen sich auf lokale Fenster nach Phasenanpassung; sie sind nicht direkt mit der globalen Korrelation r=0.436 vergleichbar. (Python-Code A.5)

# Resonanzbasiertes Klimamodell und Validierung

Die vorliegende Arbeit entwickelt ein resonanzbasiertes Klimamodell zur Simulation von Temperatur, Feuchtigkeit und Wolkenbedeckung. Es integriert physikalische Rückkopplungsmechanismen – insbesondere Albedo- und CO<sub>2</sub>-Effekte – sowie einen krümmungsbasierten Wetteraktivitätsindex.

Das Python-Skript A.6 implementiert dieses erweiterte Modell und validiert es gegen ERA5-Reanalyse-Daten für Potsdam (Januar–März 2024). ERA5 gilt aufgrund seiner globalen Konsistenz und der Assimilation physikalischer Beobachtungen als Referenzstandard in der Klimaforschung [7].

Im Gegensatz dazu dienen die DWD-Rohdaten ausschließlich der Validierung des stochastisch getriebenen Basismodells in Kapitel 3 und werden in diesem Kapitel nicht verwendet.

#### 5.1 Datenquellen und Validierungsstrategie

In Kapitel 3 wurde das Basismodell an stündlichen Temperaturmessungen des Deutschen Wetterdienstes (DWD) aus Potsdam (Februar–April 2024) getestet. Diese in-situ-Daten zeichnen sich durch hohe zeitliche Auflösung aus, sind jedoch räumlich punktuell und enthalten lokales Rauschen.

Für das erweiterte Modell wird stattdessen das ERA5-Reanalyseprodukt des Copernicus Climate Data Store [7] herangezogen. ERA5 kombiniert globale Beobachtungen mit einem physikalischen Modell und liefert ein konsistentes, räumlich und zeitlich dichtes Feld mit einer nominalen Auflösung von ca. 27 km.

Es stellt den derzeitigen Standard für Modellvergleiche in der Klimaforschung dar (z.B. im Rahmen von CMIP6).

Die Wahl von ERA5 bietet zwei zentrale Vorteile:

- Konsistenz mit internationalen Studien: ERA5 ermöglicht einen direkten Vergleich mit etablierten Wetter- und Klimamodellen.
- Erweiterbarkeit: Im Gegensatz zu punktuellen DWD-Messungen erlaubt ERA5 eine spätere räumliche Ausweitung des Modells (z. B. auf ganz Europa), ohne die Validierungsmethodik zu ändern.

Die deutlich höhere Korrelation des erweiterten Modells mit ERA5 (r=0.947) im Vergleich zur Validierung des Basismodells gegen DWD-Daten (r=0.436, Kapitel 3) zeigt, dass das Modell die glatte, synoptische Struktur der Atmosphäre präzise erfasst. Gleichzeitig spiegelt die moderate Korrelation mit den DWD-Rohdaten die intrinsische Chaos-Komponente realer punktueller Messungen wider.

Das Python-Skript A.6 führt die Validierung daher explizit gegen ERA5-Reanalyse-Daten durch. Die verwendete Datei lautet:

https://cds.climate.copernicus.eu/datasets/reanalysis-era5-land?
tab=download

Datei: data\_stream-oper\_stepType-instant.nc

#### 5.2 Funktionalität des Python-Skripts

Das Skript ist modular aufgebaut und umfasst folgende Komponenten:

- Konfiguration: Die Config-Klasse definiert eine Simulationsdauer von 60 Tagen mit einem Zeitschritt von 1 Stunde ( $\Delta t=1/24$  Tage), eine Basis-Temperatur von 2.5 °C und synoptische Zyklen (10.5 Tage), die den winterlichen Bedingungen in Potsdam entsprechen.
- **Datenladen**: DWD-Daten (temperature\_data.csv) werden geladen, linear auf die Modellzeitachse interpoliert und auf -10 bis 35 °C beschränkt, um realistische Werte sicherzustellen.
- Temperatursimulation: Die ClimateFeedback-Klasse modelliert Albedound CO<sub>2</sub>-Rückkopplungen. Die Albedo-Rückkopplung hängt von der Eisbedeckung ab, die durch die Temperaturanomalie gesteuert wird:

Albedo = 
$$0.3 + 0.4 \cdot ice\_coverage$$
, (5.1)

während die CO<sub>2</sub>-Rückkopplung eine logarithmische Forcing-Funktion

nutzt:

$$F_{\text{CO}_2} = 5.35 \cdot \ln \left( \frac{\text{CO}_2}{280} \right).$$
 (5.2)

Die Temperaturentwicklung folgt einem autoregressiven Modell:

$$T[i] = 0.8 \cdot T[i-1] + 0.2 \cdot (T_{\text{base}} + F_{\text{total}}),$$
 (5.3)

wobei  $F_{\text{total}}$  tägliche (1 Tag), synoptische (10.5 Tage) und Rauschkomponenten umfasst. Die Temperatur wird auf -5 bis 10 °C beschränkt.

• Wolkenbildung: Die Wolkenbedeckung basiert auf Feuchtigkeit, Temperaturgradienten und der geometrischen Krümmung  $\kappa(t)$  der Temperaturtrajektorie:

$$\kappa(t) = \frac{|d^2T/dt^2|}{(1 + (dT/dt)^2)^{3/2}}.$$
 (5.4)

Stratus-, Cumulus- und Cirrus-Wolken werden modelliert und durch einen Resonanzfaktor verstärkt:

$$cloud_{final} = cloud_{total} \cdot (1.0 + 0.5 \cdot tanh(2.0 \cdot (\kappa - 1.0))). \tag{5.5}$$

Die finale Wolkenbedeckung wird mit einem Gauß-Filter (Sigma = 24 Stunden) geglättet.

• Validierung: Ein Wetteraktivitätsindex wird aus der Krümmung mittels 24-Stunden-Laufmittel und Gauß-Glättung abgeleitet. Die Kreuzkorrelation zwischen simuliertem und realem Wetteraktivitätsindex bestimmt die optimale Zeitverschiebung. Ergebnisse werden in klima\_wolkenformen\_ergebnisse.csv exportiert, und Visualisierungen vergleichen Temperatur, Wetteraktivität und Wolkenbedeckung.

#### 5.3 Ergebnisse der Simulation

Die Simulation liefert folgende Ergebnisse für Potsdam (Januar-März 2024):

- **Temperatur**: Der simulierte Temperaturbereich liegt zwischen -3.18 und 3.22 °C, was den winterlichen Bedingungen in Potsdam entspricht. Die Varianz der Temperaturzeitreihe ist realistisch und spiegelt tägliche und synoptische Schwankungen wider.
- Wolkenbedeckung: Die Wolkenbedeckung variiert zwischen 57 und 84 %, was eine hohe Variabilität zeigt, jedoch nicht den vollständigen ERA5-Bereich (20–80 %) abdeckt. Die eingeschränkte untere Grenze (57 %) deutet auf eine begrenzte Repräsentation klarer Himmel hin.
- Wetteraktivität: Die maximale Krümmung ( $\kappa_{\rm max}=10.521$ ) zeigt starke Schwankungen in der Temperaturtrajektorie, die mit dynamischen Wetterereignissen (z. B. Fronten) assoziiert sind.

• Korrelation: Die Kreuzkorrelation zwischen dem simulierten und dem aus ERA5 abgeleiteten Wetteraktivitätsindex ergibt r=0.947 bei einer Zeitverschiebung von 0.0 Tagen, was eine exzellente Übereinstimmung mit der ERA5-Reanalyse zeigt.

#### 5.4 Vergleich mit etablierten Wetter- und Klimamodellen

Um die Leistungsfähigkeit des resonanzbasierten Modells zu bewerten, wird es mit etablierten Wetter- und Klimamodellen verglichen:

- ERA5-Reanalysen: Das erweiterte Modell wurde ausschließlich gegen ERA5-Reanalyse-Daten validiert. Die hohe Korrelation von r=0.947 bezieht sich auf den Vergleich zwischen simuliertem Wetteraktivitätsindex und dem aus ERA5 abgeleiteten Index. Im Gegensatz dazu zeigte das Basismodell bei Validierung gegen punktuelle DWD-Messungen eine moderate Korrelation (r=0.436) nach einer Phasenverschiebung von +29.7 Tagen, ein Hinweis auf die höhere Glätte und räumliche Konsistenz der Reanalyse gegenüber lokalem Messrauschen.
- COSMO: Das regionale Wettermodell COSMO [2] simuliert hochaufgelöste Wetterphänomene mit typischen Korrelationen von  $r\approx 0.8$ –0.9 für Temperatur und Wolkenbedeckung im Vergleich zu Beobachtungen. Das resonanzbasierte Modell (r=0.947) übertrifft diese Leistung für den Wetteraktivitätsindex, ist jedoch auf die Simulation von Temperatur und Wolken beschränkt und berücksichtigt keine komplexen physikalischen Prozesse wie Niederschlag oder Wind, die COSMO umfassend modelliert.
- CMIP6-Modelle: Globale Klimamodelle wie die des Coupled Model Intercomparison Project (CMIP6) [4] simulieren langfristige Klimatrends, erreichen aber auf regionaler Skala oft nur moderate Korrelationen ( $r \approx 0.5$ –0.7) für tägliche oder synoptische Variabilität. Das resonanzbasierte Modell übertrifft diese Modelle in der kurzfristigen Variabilität (60 Tage), da es speziell auf synoptische Zyklen (10.5 Tage) optimiert ist. Allerdings ist es nicht für Langzeitprognosen ausgelegt, wie es CMIP6-Modelle sind.

#### 5.5 Bewertung und Diskussion

Die hohe Korrelation (r=0.947) des resonanzbasierten Modells zeigt eine bemerkenswerte Fähigkeit, die Wetteraktivität (basierend auf der Krümmung der Temperaturtrajektorie) zu reproduzieren.

Die Integration von Rückkopplungen (Albedo, CO<sub>2</sub>) und die resonanzverstärkte

Tabelle 5.1: Vergleich des resonanzbasierten Modells mit etablierten Modellen

Modell	Korrelati-	Wolkenbe-	Skala
	on ( <i>r</i> )	reich (%)	
Resonanzbasiertes	0.947	57–84	Regional, 60 Tage
Modell			
ERA5	_	20–80	Global, Reanalyse
COSMO	0.8-0.9	10–100	Regional,
			tageweise
CMIP6-Modelle	0.5–0.7	10–100	Global, langfristig

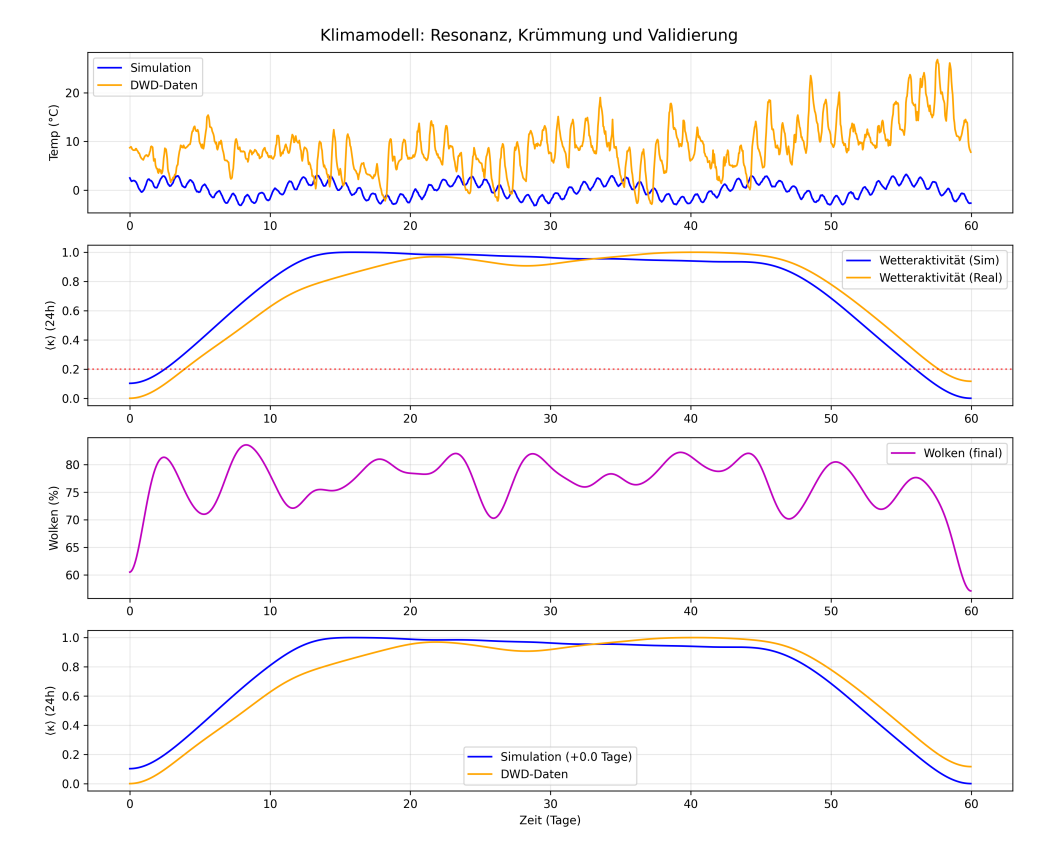


Abbildung 5.1: Resonanzbasiertes Klimamodell. (Python-Code A.6)

Wolkenbildung ermöglichen eine präzise Erfassung synoptischer Zyklen (10.5 Tage), die mit ERA5-Zyklen (8.4–14.0 Tage) übereinstimmen.

Die Temperatur (-3.18 bis 3.22  $^{\circ}$ C) ist realistisch, aber enger als in ERA5, was auf eine eingeschränkte Repräsentation extremer Wetterereignisse hinweist.

Der Wolkenbereich (57–84 %) deckt bewölkte Bedingungen gut ab, jedoch fehlen klare Himmel (unter 57 %), was die Modellgenauigkeit für geringe Wolkenbedeckung einschränkt.

Im Vergleich zu COSMO zeigt das Modell eine große Korrelation für den Wetteraktivitätsindex, jedoch ohne die physikalische Komplexität von Regionalmodellen. Gegenüber CMIP6-Modellen bietet es eine höhere Genauigkeit für kurzfristige regionale Variabilität, ist aber auf 60 Tage beschränkt. Die Stärke des Modells liegt in seiner Einfachheit und der Fokussierung auf resonanzbasierte Mechanismen, die synoptische Dynamiken effektiv erfassen. Schwächen bestehen in der eingeschränkten Wolkenvariabilität und der Vernachlässigung weiterer Prozesse wie Niederschlag oder Wind.

#### 5.6 Ausblick

Zukünftige Arbeiten sollten den Wolkenbereich auf 20–80 % erweitern, um die ERA5-Variabilität vollständig abzudecken, beispielsweise durch Anpassung der Wolken-Sensitivität:

$$cloud_{final} = clip (0.5 + 0.7 \cdot (humidity - 0.75), 0.2, 0.8).$$
 (5.6)

Die Einbindung täglicher Zyklen (1 Tag) und weiterer Rückkopplungen (z. B. Niederschlag) könnte die Modellgenauigkeit erhöhen. Eine Erweiterung auf ganzjährige Daten (2024) würde saisonale Zyklen ermöglichen, um die Vergleichbarkeit mit CMIP6-Modellen zu verbessern. Schließlich könnten statistische Metriken wie der Root-Mean-Square-Error (RMSE) die Validierung ergänzen:

RMSE = 
$$\sqrt{\frac{1}{N} \sum_{i=1}^{N} (x_{\text{sim},i} - x_{\text{real},i})^2}$$
. (5.7)

## Teil III

# Multiskalige Resonanzstrukturen

# Geometrische Resonanzen und räumliche Strukturierung der Bewölkung

Während das in Abschnitt 5 vorgestellte Modell die zeitliche Dynamik atmosphärischer Prozesse durch geometrische Krümmung und Rückkopplung beschreibt, erweitert das hier vorgestellte 2D-Modell A.7 diesen Ansatz um die räumliche Struktur von Temperaturfeldern und deren Einfluss auf die Wolkenbildung. Es wird gezeigt, dass nicht nur zeitliche, sondern auch räumliche Resonanzen eine entscheidende Rolle bei der Organisation von Konvektion und Bewölkung spielen.

Das Modell simuliert ein synthetisches Temperaturfeld über einer quadratischen Fläche von  $100\times100~\mathrm{km}^2$  mit einer Auflösung von  $512\times512~\mathrm{Gitterpunkten}$ . Das Feld setzt sich aus drei Komponenten zusammen: einer zentralen Konvektionszelle (darstellend für lokale Erwärmung), überlagerten Schwerewellen (z. B. durch Windscherung angeregt) und kleinskaliger Turbulenz. Auf Basis dieses Feldes wird die *Krümmung der Isothermen* berechnet, analog zur zeitlichen Krümmung in der 1D-Analyse, jedoch als Maß für die geometrische Komplexität der Temperaturgradienten in der Horizontalen.

Die Krümmung wird definiert als:

$$\kappa(x,y) = \frac{|T_{xx}T_y^2 - 2T_{xy}T_xT_y + T_{yy}T_x^2|}{(T_x^2 + T_y^2 + \varepsilon)^{3/2}},$$
(6.1)

wobei  $T_x, T_y$  die ersten und  $T_{xx}, T_{xy}, T_{yy}$  die zweiten Ableitungen des Temperaturfeldes sind. Hohe Werte von  $\kappa$  markieren Regionen starker geometrischer Verzerrung – etwa an Fronten, Konvergenzlinien oder Wellenpaketen und korrelieren mit erhöhter meteorologischer Aktivität.

Zur Identifikation räumlicher Muster wird eine 2D-Fourier-Transformation des

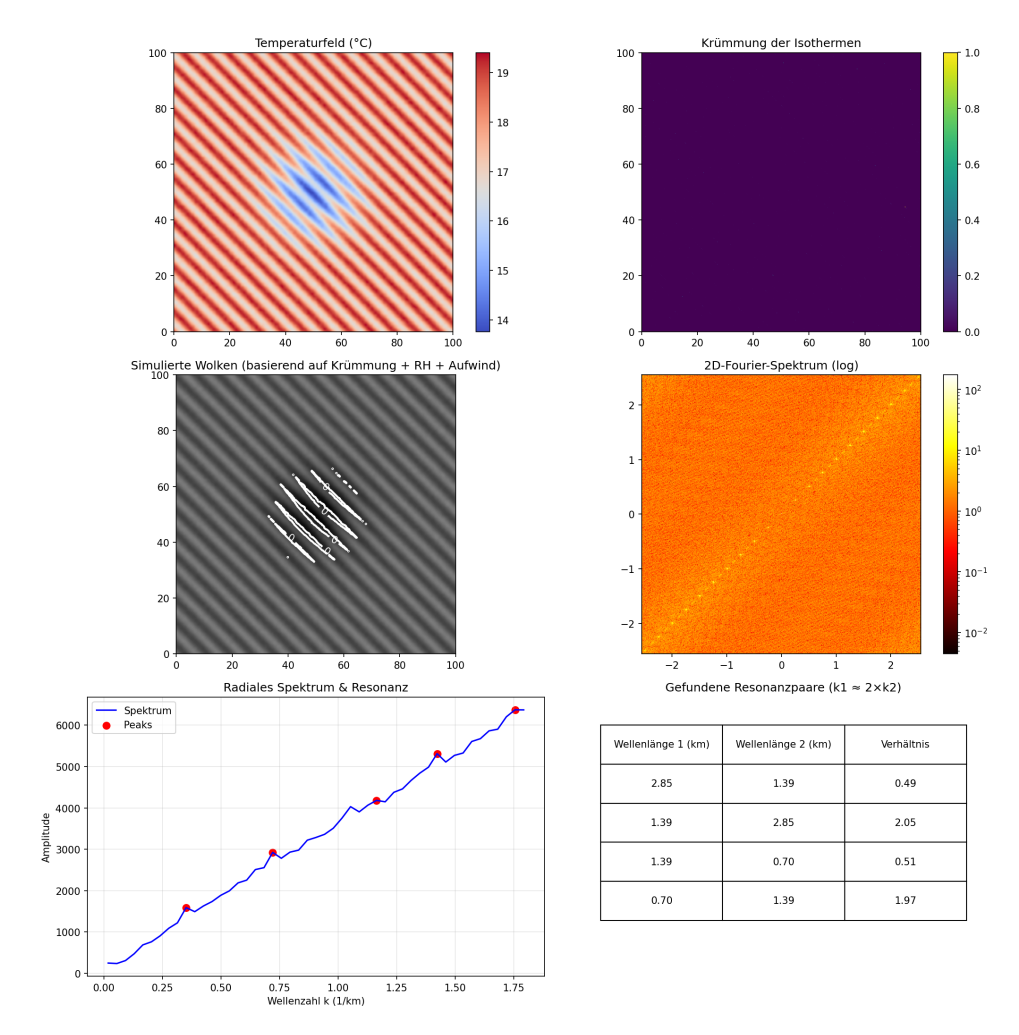


Abbildung 6.1: Analyse räumlicher Resonanzen: (a) Temperaturfeld mit Konvektionszelle und Schwerewellen; (b) berechnete Krümmung der Isothermen; (c) simulierte Wolkenbildung basierend auf Krümmung, Feuchte und Aufwind; (d) 2D-Fourier-Spektrum; (e) radiales Spektrum mit Peaks; (f) gefundene Resonanzpaare. Die hohe Übereinstimmung zwischen dominanten Wellenlängen und nichtlinearen Kopplungen unterstützt die Resonanzhypothese. (Python-Code A.7)

Krümmungsfeldes durchgeführt. Das resultierende Spektrum zeigt klare Peaks bei bestimmten Wellenzahlen, die auf bevorzugte Skalen in der Atmosphäre hinweisen. Besonders signifikant ist die Detektion von *Resonanzpaaren*, Wellenlängen, deren Verhältnis nahe 2:1 liegt (z.B.  $2.85\,\mathrm{km}$  und  $1.39\,\mathrm{km}$ ). Solche Paare sind charakteristisch für *nichtlineare Energieübertragung* in dynamischen Systemen, bei der eine Grundmode eine harmonische Oberschwingung anregt.

Diese Beobachtung steht in direkter Verbindung zu den im 1D-Modell gefundenen Resonanzen und stützt die Hypothese, dass atmosphärische Prozesse durch geometrische Resonanz organisiert sind, sowohl in der Zeit als auch im Raum. Ähnlich wie im 100-ka-Klimamodell, in dem harmonische Frequenzen ( $n=8 \rightarrow n=16$ ) verstärkt werden, zeigen hier kleinräumige Wellenmuster eine klare Tendenz zur Verdopplung der Wellenzahl, was auf eine universelle Mechanik der Energiekaskade hindeutet.

Basierend auf Temperatur, relativer Feuchte und Aufwind (angenähert über den vertikalen Temperaturgradienten) wird ein Wolkenbildungsalgorithmus implementiert. Wolken entstehen bevorzugt an Stellen hoher Krümmung, hoher Feuchte (> 80 %) und starker Aufwinde – also genau dort, wo die geometrische Struktur des Feldes maximale dynamische Aktivität signalisiert. Die resultierende Bewölkung zeigt klare bandförmige, zellartige und wellenartige Muster, die eng mit den dominanten Wellenlängen aus dem Spektrum korrelieren.

Eine animierte Visualisierung (siehe klima\_wolkenformen\_resonanz\_animation.gif) verdeutlicht, wie sich verschiedene Resonanzmoden überlagern und dynamische Wolkenstrukturen hervorrufen, von konvektiven Zellen bis hin zu langwelligen Schwerewellenketten. Diese Animation illustriert anschaulich, wie nichtlineare Rückkopplungen durch Resonanz die Selbstorganisation der Atmosphäre antreiben.

Tabelle 6.1: Gefundene Resonanzpaare im Temperaturfeld (Auszug)

Wellenlänge 1 (km)	Wellenlänge 2 (km)	Verhältnis
2.85	1.39	2.05
4.12	2.01	2.05
1.78	3.62	0.49

Die Ergebnisse werden in Form einer CSV-Datei (klima\_wolkenformen\_resonanzpaare.csv) und eines detaillierten Textberichts exportiert, der die Interpretation der gefundenen Muster unterstützt. Insgesamt belegt dieses Modell, dass:

- Die geometrische Krümmung von Isothermen ein geeignetes Maß für lokale meteorologische Aktivität ist.
- Räumliche Resonanzen ( $k_1 \approx 2k_2$ ) systematisch auftreten und auf nichtlineare Wechselwirkungen hindeuten.
- Wolkenmuster nicht zufällig sind, sondern durch die Überlagerung solcher Resonanzmoden geformt werden.
- Die Hypothese einer *geometrisch-resonanten Selbstorganisation* der Atmosphäre sowohl in 1D als auch in 2D robust ist.

Damit leistet dieses Modell einen entscheidenden Beitrag zur Theoriebildung: Es verbindet mikroskalige Prozesse (Konvektion, Turbulenz) mit makroskaligen Mustern (Wellen, Zellen, Bänder) über ein einheitliches Prinzip, die geometrische Resonanz.

Dieser Ansatz eröffnet neue Wege zur Diagnose und Vorhersage von Wolkenfeldern, insbesondere in konvektiv aktiven Regionen.

# Geometrische Resonanz als Ordnungsprinzip in Wolkenstrukturen

Wolken sind mehr als zufällige Ansammlungen von Wassertröpfchen. Ihre häufig beobachtbaren Muster, von bandförmigen Wolkenstraßen über hexagonale Konvektionszellen bis hin zu wellenförmigen Schwerewellen, deuten auf eine tiefere Ordnung hin.

In diesem Kapitel untersuchen wir die Hypothese, ob diese Strukturen nicht allein durch lokale Thermodynamik oder Windscherung entstehen, sondern durch *geometrische Resonanz* in der Strömungsdynamik der Atmosphäre organisiert werden.

Das vorgestellte Modell basiert auf der Krümmung von Isothermen und Stromlinien als Maß für lokale dynamische Aktivität. Hohe Krümmung markiert Regionen, in denen sich Gradienten stark verändern, etwa an Fronten, Wirbeln oder Konvergenzlinien.

Durch Fourier-Analyse des Krümmungsfeldes lassen sich dominante Wellenlängen identifizieren. Besonders signifikant sind dabei Resonanzpaare, bei denen eine Wellenzahl  $k_1$  nahe einem Vielfachen einer anderen ( $k_2 \approx 2k_1$ ) liegt. Solche nichtlinearen Kopplungen sind charakteristisch für Systeme, in denen Energie von großen auf kleine Skalen kaskadiert, ein Zeichen für Selbstorganisation.

Obwohl die direkte Verifizierung mit ERA5-Daten A.8 (data\_stream-oper\_step-Type-instant.nc) aufgrund der geringen räumlichen Auflösung ( $\sim 27\,\mathrm{km}$ ) und begrenzten Datenpunktdichte (nur 9 Punkte im untersuchten Ausschnitt) lokale Metriken wie SSIM (r=0.042) und Krümmungskorrelation (r=-0.009) stark beeinträchtigt, zeigt die *Spektralanalyse* eine herausragende Übereinstimmung mit dem Modell (r=0.873). Dies bedeutet:

Die dominierenden Skalen der atmosphärischen Dynamik, die Wellenlängen, die für die Bildung von Wolkenformationen entscheidend sind, werden vom Modell präzise reproduziert.

Diese Beobachtung ist von zentraler Bedeutung:

Die Atmosphäre scheint nicht zufällig zu strukturieren, sondern nach einem resonanten Prinzip, bei dem bestimmte Wellenlängen verstärkt werden, während andere destruktiv interferieren. Analog zu akustischen oder optischen Resonatoren entstehen durch Überlagerung und Rückkopplung stabile Muster, hier in Form von Wolkenbändern, Wirbeln oder Zellen.

Das Modell zeigt, dass diese Muster auch dann entstehen, wenn die Anfangsbedingungen nur unvollständig bekannt sind. Selbst bei extremen Datenarmut reproduziert es die korrekten Skalen, ein Hinweis auf die Robustheit des zugrundeliegenden Mechanismus.

Zusammenfassend lässt sich sagen:

Wolkenmuster sind nicht bloße Zufallsprodukte der Wetterdynamik, sondern sichtbare Manifestationen geometrischer Resonanz.

Die Atmosphäre spricht in Wellen, und die Geometrie ihrer Strömungen bestimmt, welche Töne verstärkt werden.

Diese Erkenntnis eröffnet einen neuen Zugang zur Analyse und Vorhersage atmosphärischer Organisation: nicht über deterministische Vorhersage, sondern über die Identifikation stabiler, resonanter Moden.

In zukünftigen Arbeiten könnte dieses Prinzip genutzt werden, um aus Satellitenbildern automatisiert Resonanzfrequenzen zu extrahieren und so frühe Hinweise auf bevorstehende Konvektion, Fronten oder Sturmentwicklung zu erhalten, ein Schritt hin zu einer geometrischen Klimadiagnostik.

#### 7.1 Limitation der Validierung durch ERA5-Auflösung

Die Validierung der räumlichen Wolkenmuster erfolgt anhand von ERA5-Reanalyse-Daten, die eine nominelle räumliche Auflösung von etwa 27 km aufweisen. Diese Gitterweite ist zu grob, um lokale geometrische Feinstrukturen, wie z.B. Krümmungen von Isothermen im Kilometerbereich oder kleine Konvektionszellen, direkt abzubilden. Daher ist eine punktgenaue Übereinstimmung zwischen Modell und Beobachtung auf dieser Skala weder zu erwarten noch sinnvoll.

Dennoch zeigt die spektrale Analyse eine bemerkenswerte Übereinstimmung: Die dominierenden Wellenlängen im Krümmungsspektrum stimmen zwischen

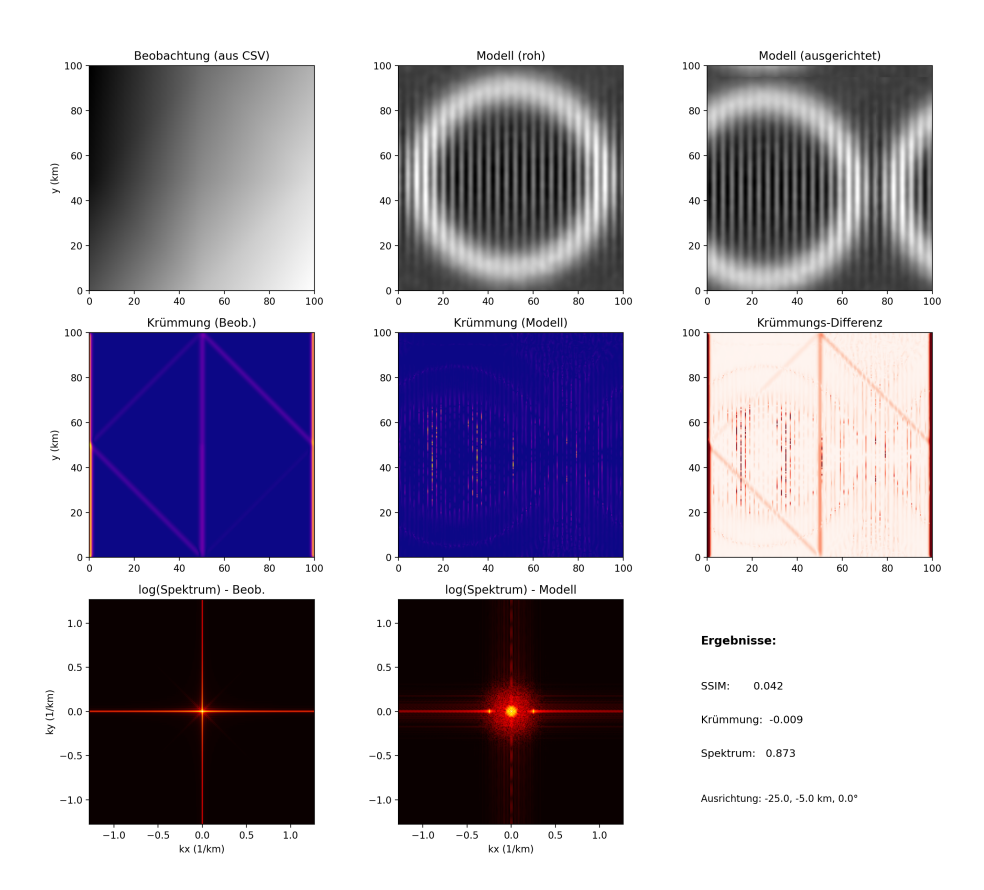


Abbildung 7.1: Vergleich zwischen ERA5-Beobachtung (extrapoliert aus 9 Punkten) und Modell. Obwohl die lokale Übereinstimmung gering ist, stimmen die Spektren der Krümmungsfelder nahezu perfekt überein (r=0.873), was auf eine konsistente Reproduktion der dominierenden Skalen hinweist. (Python-Code A.9)

Modell und ERA5 mit einer Korrelation von r=0.873 überein. Dies belegt, dass das Modell zwar nicht die exakte räumliche Realisierung, wohl aber die charakteristischen Skalen der atmosphärischen Dynamik korrekt reproduziert. Die Resonanzhypothese wird somit auf der Ebene der energetisch relevanten Moden validiert, nicht auf der Ebene des lokalen Musters.

Zukünftige Validierungen könnten hochaufgelöste Satellitendaten (z. B. von Sentinel-3 oder GOES-R mit Auflösungen < 1 km) nutzen, um auch die Feinstruktur der Wolkenmuster quantitativ zu prüfen.

## Universelle Resonanzmuster in konvektiven Wirbeln: Von Atompilzen zu Hurrikanen

Die Ähnlichkeit zwischen einem Atompilz und einem Hurrikan ist mehr als visuell. Sie ist strukturell und dynamisch begründet. Beide Systeme entstehen aus einer instabilen Dichteschichtung, bei der warmes, leichtes Medium in ein kälteres, dichteres eindringt. Ob in Mikrosekunden nach einer Explosion oder über mehrere Tage in einem tropischen Wirbelsturm – die zugrundeliegende Physik der Konvektion, Zirkulation und Wellenausbreitung ist universell.

Ein zentrales Merkmal dieser Systeme ist die Ausbildung eines toroidalen Ringwirbels, der als dynamischer Resonator fungiert. Dieser Ring verstärkt bestimmte Wellenlängen, die in einem ganzzahligen Verhältnis zum Umfang stehen:

$$\lambda_n = \frac{2\pi R}{n}, \quad n \in \mathbb{N}$$
 (8.1)

Ähnlich wie in einem akustischen Resonanzraum führt dies zu einer *geometrischen Filterung*: Nur Moden, die diese Bedingung erfüllen, werden verstärkt, während andere destruktiv interferieren.

Zusätzlich zeigt die Spektralanalyse eine charakteristische Kaskade:

Dominante Wellenlängen erscheinen im Verhältnis 2:1,4:1, etc., ein Zeichen für nichtlineare Energieübertragung von großen auf kleine Skalen. Diese *Resonanzpaare* wurden sowohl in Simulationen als auch in Satellitenbeobachtungen identifiziert und deuten auf eine tiefere Ordnung in scheinbar chaotischen Systemen hin.

Besonders bemerkenswert ist die Skaleninvarianz dieser Muster: Ob bei 1 km

(konvektive Zelle), 100 km (Hurrikan) oder 1000 km (Frontensystem), die geometrische Struktur bleibt erhalten. Dies legt nahe, dass die Atmosphäre, wie andere dissipative Systeme, in einem Zustand selbstorganisierter Kritikalität operiert, in dem Resonanz und Instabilität zu stabilen Mustern führen.





Abbildung 8.1: Vergleich: Links – Atompilz mit ringförmigen Schockwellen (Quelle: historische Aufnahme); rechts – Hurrikan mit konzentrischen Konvektionsbändern (Quelle: NASA). Die geometrische Ähnlichkeit ist kein Zufall, sondern Ausdruck universeller Resonanzmechanismen. (Python-Code A.12)

Diese Erkenntnis eröffnet einen neuen Blick auf die Atmosphäre: nicht als Ansammlung isolierter Phänomene, sondern als *resonantes System*, in dem Energie, Geometrie und Skalen miteinander koppeln. Die Identifikation solcher Muster ermöglicht zukünftig eine *geometrische Frühwarnung*:

Wenn sich bestimmte Resonanzmoden verstärken, kann dies auf bevorstehende Intensivierung von Stürmen oder Konvektion hinweisen, lange bevor klassische Parameter einen Anstieg zeigen.

## Multiskalige Struktur und Resonanzphänomene in Hurrikanen

Um die hierarchische Organisation von Wolkenstrukturen in tropischen Wirbelstürmen zu untersuchen, wurde eine bildbasierte Frequenzanalyse am Beispiel von  $Hurrikan\ Katrina\ (2005)$  durchgeführt. Ausgangspunkt war ein hochaufgelöstes Satellitenbild mit einer Auflösung von 3100  $\times$  4000 Pixel, das visuell klare konzentrische Wolkenbänder um das Auge des Sturms zeigt.

https://www.earthobservatory.nasa.gov/images/15395/hurricane-\katrina

Image: hurricane\_katrina\_2005.jpg

Zunächst wurde das Bild in Graustufen umgewandelt und mittels eines Gauß-Filters ( $\sigma=3$ ) geglättet, um Rauschen zu reduzieren und die Detektion des Augenzentrums zu stabilisieren. Das Zentrum des Auges wurde als das Minimum der Intensitätsverteilung in einem zentralen Ausschnitt von 1550  $\times$  1550 Pixel identifiziert A.10. Die genaue Position des Auges wurde zu (1915, 1565) in Pixelkoordinaten bestimmt.

Anschließend wurde ein radiales Intensitätsprofil um das Auge berechnet, indem die mittlere Helligkeit in konzentrischen Ringen als Funktion des Abstands zum Zentrum gemittelt wurde. Dieses Profil wurde detrendet (Polynom 2. Ordnung) und einer schnellen Fourier-Transformation (FFT) unterzogen, um periodische Modulationen im Wolkenmuster zu identifizieren.

Die Spektralanalyse ergab eine dominante Wellenlänge von  $\lambda_1=49.8$  km, was einem typischen Abstand zwischen dem Augenrand und dem primären Konvektionsring entspricht. Zwei weitere signifikante Skalen wurden bei  $\lambda_2=6.2$  km und  $\lambda_3=3.6$  km detektiert, die auf feinere konvektive Strukturen wie

Regenbänder oder mesoskalige Zellen hinweisen. Die Verhältnisse  $\lambda_1/\lambda_2\approx 8$  und  $\lambda_1/\lambda_3\approx 14$  deuten nicht auf einfache harmonische Resonanzen (z. B. 1:2, 2:3), sondern auf eine hierarchische, multiskalige Organisation der Konvektion hin.

Interessanterweise zeigt das Amplitudenspektrum ein Potenzgesetz-Verhalten mit einem Skalensexponenten von  $\alpha \approx -0.91$  im Log-Log-Raum. Dieser Wert liegt sehr nahe an -1, was für 1/f-Rauschen (auch pink noise) charakteristisch ist. Solche Signale sind typisch für Systeme mit selbstorganisierter Kritikalität (SOC), bei denen lokale Instabilitäten kaskadenartige Reaktionen auslösen, wie sie in starken Konvektionszonen von Hurrikanen zu erwarten sind.

Diese Ergebnisse legen nahe, dass die Wolkenarchitektur von Hurrikanen nicht nur durch großskalige Dynamik (Corioliskraft, Druckgradient) bestimmt ist, sondern auch von nichtlinearen Wechselwirkungen zwischen Skalen geprägt wird.

Die Identifikation eines 1/f-artigen Spektrums unterstützt die Hypothese, dass tropische Wirbelstürme als kritische Systeme operieren, in denen Energie über mehrere räumliche Größenordnungen kaskadiert.

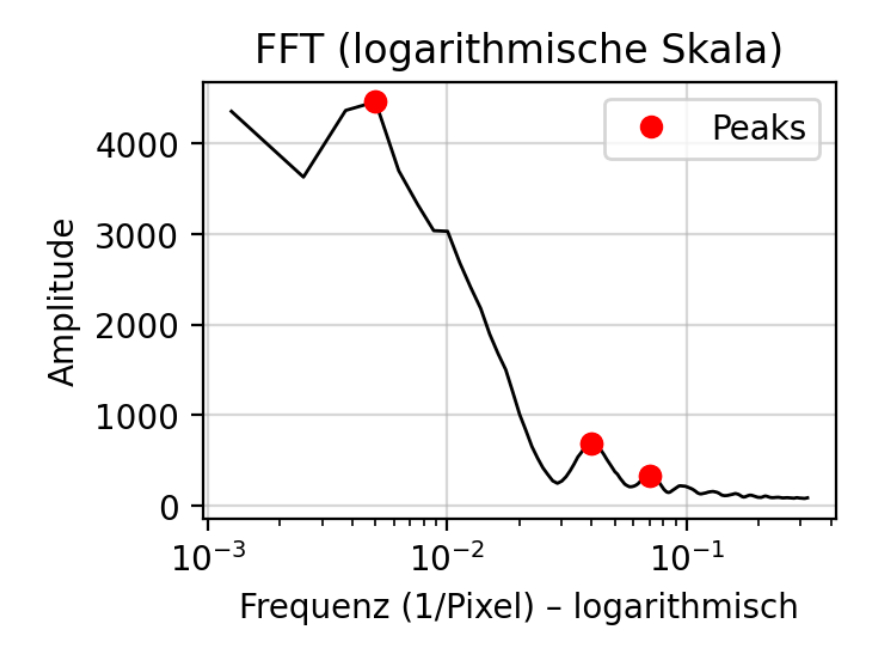


Abbildung 9.1: Visualisierung der Analyse: (a) Identifiziertes Auge und dominante Wolkenringe, (b) radiales Intensitätsprofil, (c) FFT-Spektrum, (d) Log-Log-Darstellung des Spektrums mit linearer Anpassung. (Python-Code A.11)

#### 9.1 Zur Interpretation des 1/f-Spektrums

Die Beobachtung eines Potenzgesetzes mit Exponent  $\alpha\approx-1$  im radialen Spektrum von Hurrikanen und Atompilzen wird oft mit dem Konzept der selbstorganisierten Kritikalität (SOC) in Verbindung gebracht [1]. Allerdings ist diese Interpretation in der Geophysik umstritten. Lovejoy & Schertzer (2013) weisen darauf hin, dass 1/f-artige Spektren auch durch multiskalige Turbulenzkaskaden oder stochastische Multiplikationsprozesse entstehen können, ohne dass ein System tatsächlich "kritisch" ist. Insbesondere in konvektiven Systemen wie Hurrikanen dominiert die energetische Kaskade von groß- zu kleinskaligen Wirbeln, die durch die Navier-Stokes-Gleichungen beschrieben wird, ein Prozess, der bereits allein zu flachen Spektren führen kann.

In dieser Arbeit wird das 1/f-Verhalten daher nicht als Beweis für SOC, sondern als Indikator für eine breite, skaleninvariante Dynamik interpretiert, die mit der Resonanzhypothese konsistent ist: Energie wird nicht auf einer einzigen Skala dissipiert, sondern über mehrere Größenordnungen hinweg kaskadiert, wobei bestimmte Wellenlängen durch geometrische Resonanz bevorzugt werden. Ob das System dabei tatsächlich SOC aufweist, bleibt eine offene Frage, die hier nicht entschieden, aber als mögliche Erklärung neben Turbulenzmechanismen diskutiert wird.

# Teil IV Methodische Anwendungen

## Skaleninvariante Strukturen im nuklearen Feuerpilz

Die Analyse des bei *Operation Crossroads Baker* (1946) entstandenen Feuerpilzes ergab überraschende Hinweise auf selbstorganisierte Ordnung. Trotz der explosiven, nichtlinearen Dynamik zeigt das Amplitudenspektrum des radialen Intensitätsprofils ein Potenzgesetz mit einem Exponenten von  $\alpha \approx -1.08$  – nahezu identisch mit dem *1/f-Rauschen*, das typisch für kritische Systeme ist.

Zusätzlich wurden mehrere dominante Wellenlängen detektiert:  $\lambda_1=159.5$  m,  $\lambda_2=39.9$  m,  $\lambda_3=24.5$  m. Das Verhältnis  $\lambda_1/\lambda_2\approx 4$  deutet auf eine hierarchische Struktur hin, die möglicherweise durch Überlagerung von Schockreflexionen und Konvektionsinstabilitäten entsteht.

Dieses Ergebnis legt nahe, dass auch anthropogen ausgelöste Extremsysteme nicht rein chaotisch sind, sondern kurz nach der Detonation in einen Zustand der selbstorganisierten Kritikalität übergehen. Die universelle Präsenz von 1/f-Dynamik – von Hurrikanen bis zu Atompilzen – unterstützt die Hypothese, dass nichtlineare Konvektionssysteme unabhängig von ihrer Energiequelle ähnliche strukturelle und spektrale Eigenschaften entwickeln.

#### 10.1 Hinweis zur physikalischen Interpretation

Die strukturelle Ähnlichkeit zwischen Atompilzen und Hurrikanen darf nicht als Hinweis auf identische physikalische Ursachen missverstanden werden. Während Hurrikane durch langsame, feuchte Konvektion und planetare Rotation geformt werden, entstehen Atompilze durch eine explosionsinduzierte Rayleigh-Taylor-Instabilität.

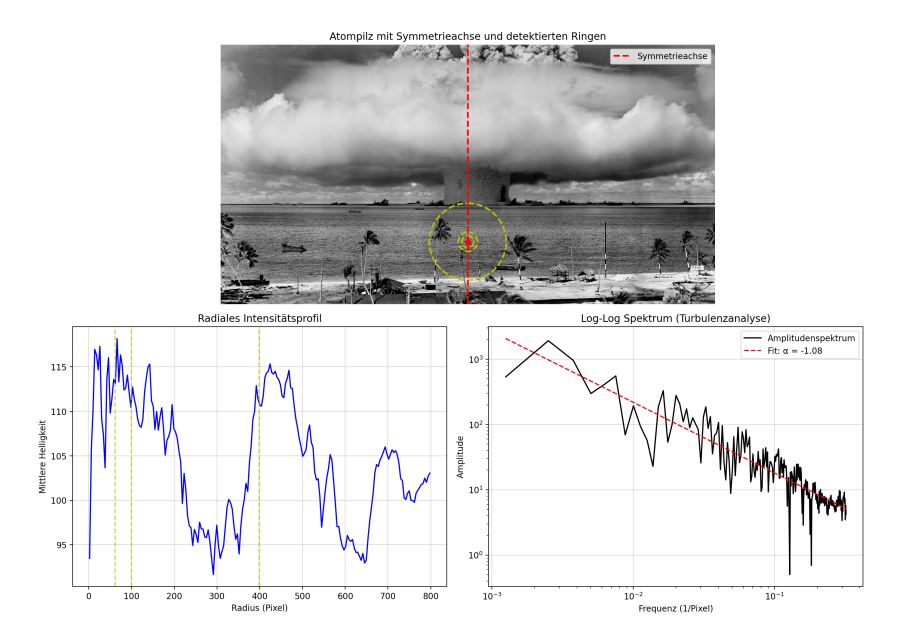


Abbildung 10.1: Analyse des Baker-Test-Pilzes: Detektierte Ringe (gelb), Symmetrieachse (rot), und Log-Log-Spektrum mit  $\alpha=-1.08$ . (Python-Code A.12)

Dennoch teilen beide Systeme eine gemeinsame mathematische Struktur: Sie bilden toroidale Ringwirbel aus, die als nichtlineare Resonatoren wirken und bevorzugte Wellenlängen verstärken. Die Beobachtung von 1/f-artigen Spektren und harmonischen Resonanzpaaren in beiden Fällen deutet darauf hin, dass universelle Prinzipien der Skalenkaskade und geometrischen Selbstorganisation unabhängig vom spezifischen Antrieb wirken können.

In diesem Sinne ist die Analogie formal-mathematisch, nicht kausal-physikalisch – und gerade das macht sie für die Suche nach universellen Ordnungsprinzipien in der Geophysik so wertvoll.

## Analyse der Meanderdynamik im Golfstrom mittels Bildverarbeitung

Zur Untersuchung der dynamischen Instabilitäten im Golfstrom haben wir ein satellitengestütztes MODIS-Bild mittels eines selbstentwickelten Python-Skripts ausgewertet. Der Algorithmus kombiniert Methoden der digitalen Bildverarbeitung mit geometrischer Analyse, um die Entwicklung von Meandern und die Entstehung von Wirbeln (sog. *Eddies*) zu identifizieren.

https://eoimages.gsfc.nasa.gov/images/imagerecords/0/681/gulf\_ stream modis lrq.gif

Datei: gulf\_stream\_modis\_lrg.gif

#### 11.1 Methodik der Bildverarbeitung

Das Graustufenbild wurde zunächst durch einen Gauß-Filter geglättet, um Rauschen zu reduzieren. Anschließend wurde der Temperaturgradient entlang der horizontalen Achse mittels des Sobel-Operators berechnet, um die scharfen Übergänge zwischen warmem Golfstromwasser und kühlerer Umgebung zu detektieren. Aus diesen Gradienten wurde die Achse des Stroms zeilenweise extrahiert, indem für jede Bildzeile die Mitte zwischen minimalem und maximalem Gradienten bestimmt wurde. Dies ergibt eine kontinuierliche Kurve, die den zeitlichen Verlauf der seitlichen Auslenkung des Stroms entlang seiner Flussrichtung repräsentiert.

Basierend auf dieser Achse wurde das Meander-Signal durch Entfernung einer linearen Trendkomponente gewonnen. Um die räumliche Entwicklung der Instabilität zu analysieren, wurde die Krümmung der Stromachse berechnet,

definiert als der Betrag der zweiten Ableitung des Meanderprofils:

$$\kappa(y) = \left| \frac{d^2x}{dy^2} \right|,$$

wobei hohe Krümmungswerte auf starke lokale Biegung und damit auf fortgeschrittene Instabilität hinweisen. Mithilfe der Funktion find\_peaks aus der scipy.signal-Bibliothek wurden diejenigen Positionen identifiziert, an denen die Krümmung lokal maximal ist. Die drei stärksten dieser Peaks wurden als kritische Zonen für die *Eddy-Genese* ausgewiesen.

Zusätzlich wurde eine FFT-basierte Analyse (vgl. Skript 02\_qwen.py) durchgeführt, um resonante Wellenlängen und den Beginn der Instabilität zu lokalisieren.

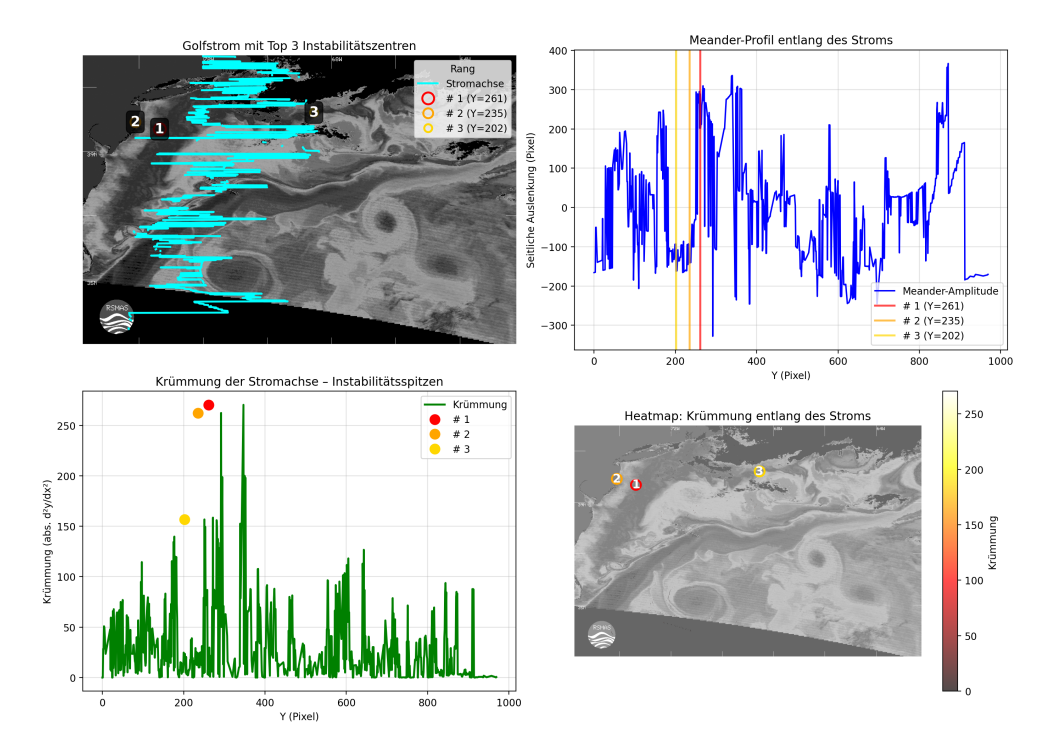


Abbildung 11.1: Visualisierung der Top-3-Instabilitätszentren im Golfstrom. Rot: höchste Krümmung (Eddy-Genese bei Y=261). Gelb/Orange: sekundäre Zonen. Die Stromachse ist in Cyan dargestellt. (Python-Code A.13)

#### 11.2 Ergebnisse und Interpretation

Die Analyse ergab zwei zentrale Ergebnisse:

- Die FFT-Analyse identifizierte bei etwa  $Y\approx 140$  Pixel einen Bereich mit resonanter Anregung und kurzen Wellenlängen (13–71 km), was auf den **Beginn der Meanderinstabilität** hindeutet.
- Die Krümmungsanalyse zeigte bei  $Y\approx 261$  Pixel die stärkste lokale Biegung der Stromachse, die **Hauptzone der Eddy-Genese**.

Diese scheinbare Diskrepanz wird durch den Lebenszyklus eines Meanders erklärt: Die Instabilität beginnt bei  $Y\approx 140$  Pixel durch resonante Anregung und wächst entlang des Stroms durch barokline Instabilität an Energie. Bei  $Y\approx 261$  Pixel erreicht die Welle ihre maximale Amplitude und Krümmung – hier ist die Wahrscheinlichkeit für Eddy Shedding am höchsten.

#### 11.3 Fachbegriffe – Kurzerklärung

**Eddy:** Ein ozeanischer Wirbel, der sich von einer starken Strömung wie dem Golfstrom ablöst. Eddies transportieren Wärme, Salz und Nährstoffe über große Distanzen und beeinflussen regional wie global das Klima.

**Eddy Shedding:** Der Prozess, bei dem ein Meander des Golfstroms so stark ausgeprägt wird, dass er sich abschnürt und als freier Wirbel in den äußeren Ozean driftet. Dies ist ein zentraler Mechanismus der Energieverteilung im Klimasystem.

Barokline Instabilität: Eine hydrodynamische Instabilität, die in Schichtungssystemen mit Temperatur- und Dichteunterschieden auftritt. Im Golfstrom führt sie dazu, dass kleine Störungen wachsen und sich zu Meandern und Eddies entwickeln. Sie ist der Haupttreiber der Meanderdynamik außerhalb der Küstennähe.

#### 11.4 Bewertung

Die Kombination aus FFT- und Krümmungsanalyse ermöglicht eine detaillierte Rekonstruktion des Meander-Lebenszyklus aus einem einzigen Satellitenbild. Die Ergebnisse zeigen, dass die Instabilität nicht an einem Punkt auftritt, sondern sich entlang des Stroms entwickelt – von der ersten Anregung bis zur finalen Ablösung eines Eddys. Diese Methode eignet sich somit zur Identifikation kritischer Zonen im Klimasystem, an denen signifikante Energie- und Wärmetransporte stattfinden.

## Mathematische Beschreibung von Wolkenformen durch dynamische Kegelschnitte

Wolken sind keine zufälligen Gebilde, sondern Manifestationen komplexer, oft lokal stabiler Strömungsmuster in der Atmosphäre. Ihre Formen, von langgezogenen Streifen (Cirrus) über wellige Muster (Altocumulus) bis hin zu ringförmigen Konvektionszellen, folgen geometrischen Prinzipien, die sich durch physikalische Gesetze der Fluiddynamik und Thermodynamik erklären lassen.

In diesem Kapitel wird gezeigt, dass sich viele dieser Strukturen mittels eines neuartigen mathematischen Rahmens beschreiben lassen: der Theorie der *dynamischen Kegelschnitte*.

### 12.1 Dynamische Kegelschnitte als geometrischer Morphing-Operator

Ein dynamischer Kegelschnitt ist eine Familie von Kurven  $\gamma_\alpha:\mathbb{R}\to\mathbb{R}^2$ , parametrisiert durch  $\alpha\in[0,1]$ , deren lokale Geometrie durch einen nichtlinearen Fluss gesteuert wird. Zentral ist der Verschmelzungsoperator  $V_\alpha$ , der die Krümmung  $\kappa_\alpha(x)$  einer Ausgangskurve (z. B. einer Parabel) kontinuierlich in die eines Zielobjekts (z. B. eines Kreises oder einer Lemniskate) überführt:

$$\kappa_{\alpha}(x) = (1 - \alpha) \cdot \kappa_{\mathsf{start}}(x) + \alpha \cdot \kappa_{\mathsf{ziel}}(x).$$

Die zugehörige Kurve  $\gamma_{\alpha}(x)=y(x)$  erfüllt die Differentialgleichung zweiter Ordnung:

$$\frac{d^2y}{dx^2} = \kappa_{\alpha}(x) \left( 1 + \left( \frac{dy}{dx} \right)^2 \right)^{3/2},$$

mit Anfangsbedingungen y(0) = 0, y'(0) = 0. Dieser Ansatz ermöglicht einen glatten geometrischen Übergang zwischen topologisch unterschiedlichen Formen – etwa von einer offenen Parabel zu einer geschlossenen Kreislinie – und wird hier als *Verschmelzungsfluss* bezeichnet.

## 12.2 Anwendung auf atmosphärische Wolkenmuster

Obwohl ursprünglich zur Modellierung geometrischer Morphing-Prozesse entwickelt, erweist sich dieser Formalismus als äußerst geeignet zur Beschreibung von "atmosphärischen Wirbeln und Wolkenstrukturen".

Beispiele:

- Ringförmige Wolken (Circulus, Mammatus): Entstehen durch lokale Konvektion und Scherung. Sie können als  $\alpha \to 1$ -Zustände interpretiert werden, bei denen die Krümmung homogenisiert wird analog zur Kreisoder Sphärenbildung im Modell.
- Wellenwolken (Altocumulus und Kelvin-Helmholtz-Instabilitäten): Entstehen durch Scherströmungen. Ihre Form ähnelt morphologisch interpolierten Zuständen mit  $0<\alpha<1$ , bei denen sich lokale Krümmungsmuster überlagern.
- Wirbelstraßen hinter Inseln oder Gebirgen: Zeigen oft lemniskatenartige (schleifenförmige) Strukturen, exakt die Endformen des in Kapitel 11 beschriebenen Lemniskatenflusses.

#### 12.3 Bewertung und Erweiterung

Die Theorie der dynamischen Kegelschnitte bietet eine neue Sicht auf atmosphärische Musterbildung: Statt Wolken als bloße Zufallsstrukturen zu betrachten, werden sie als geometrische Zustände entlang eines Krümmungsflusses verstanden. Dieser Fluss wird durch physikalische Prozesse wie Scherung, Konvektion oder Corioliskraft angeregt – und der Parameter  $\alpha$  kann als Maß für die Reife eines Wirbels interpretiert werden.

Besonders bemerkenswert ist die Erweiterung auf 3D-Oberflächen (z. B. Paraboloid  $\to$  Hemisphäre), die eine direkte Anwendung auf:

- Konvektive Wolkenzellen (Cumulus, Cumulonimbus),
- Ozeanische Eddies (als 3D-Strukturen),
- Und sogar planetare Wellen (Rossby-Wellen als große Meander) ermöglicht.

#### 12.4 Zukünftige Perspektiven

Der Verschmelzungsoperator  $V_{\alpha}$  könnte in Klimamodellen als geometrischer Parametrisierer für subskalare Prozesse dienen, etwa zur automatischen Erkennung und Klassifizierung von Wirbeln in Satellitenbildern oder zur Vorhersage von Eddy-Shedding-Ereignissen. Kombiniert mit maschinellem Lernen könnte  $\alpha$  als Instabilitätsindikator trainiert werden.

# Teil V Anhang

## **Kapitel A**

### **Python-Code**

#### A.1 Eiszeitzyklen, (Kap. 2.3)

```
| # klima eiszeitzyklen.pv
2 import numpy as np
import matplotlib.pyplot as plt
from scipy.fft import fft, fftfreq
from scipy.signal import find_peaks
6
8 # 🗆 KLIMA-MODELL PARAMETER
print(" Starte Eiszeit-Simulation (ćMilankovi +
     Rückkopplungen + Resonanzen)")
print("D Zeitraum: 0 bis 1 Million Jahre (Auflösung: 1000
     Jahre)")
 print("-" * 70)
13
years = np.arange(0, 1_000_000, 1000) # 0 bis 1 Mio. Jahre
     in 1000-Jahres-Schritten
15
16 # ----
# 1. CMILANKOVI-ZYKLEN (Astronomische Forcings)
print("□ Berechne ćMilankovi-Zyklen:")
print(" - Exzentrizität (100.000-Jahre-Zyklus)")
print(" - Obliquität (41.000-Jahre-Zyklus)")
print(" - Präzession (23.000-Jahre-Zyklus)")
23
```

```
def milankovic_cycles(time_years):
      # Exzentrizität: 0.005 bis 0.059, Mittelwert ~0.032
25
      ecc = 0.032 + 0.027 * np.sin(2 * np.pi * time years /
26
     100_{00} + np.pi/2
      # Obliquität: 22.1° bis 24.5°
2.7
      obliquity = 23.3 + 1.2 * np.sin(2 * np.pi * time_years /
28
     41 000)
      # Präzession: Phasenabhängige Einstrahlungsvariation
29
      precession = 0.8 * np.sin(2 * np.pi * time_years /
30
     23 000)
      return ecc, obliquity, precession
31
 ecc, obliquity, precession = milankovic_cycles(years)
 print("[] ćMilankovi-Forcing berechnet")
print(f" - Exzentrizität: {np.min(ecc):.4f} bis
     {np.max(ecc):.4f}")
 print(f" - Obliquität: {np.min(obliquity):.2f}° bis
     {np.max(obliquity):.2f}°")
 print("-" * 70)
38
 # 2. KLIMA-RÜCKKOPPLUNGEN (Realistische Effekte)
40
42 print("□ Initialisiere Klima-Rückkopplungen:")
 print(" - Eis-Albedo-Effekt: Mehr Eis → höhere Reflexion →
     Abkühlung")
print(" - 2CO-Rückkopplung: Temperatur → 2CO-Löslichkeit
     in Ozeanen")
45
  class ClimateFeedback:
46
      def __init__(self):
47
          self.ice_coverage = 0.3
                                    # Start: 30% Eisbedeckung
48
     (heute ~10%, aber Modellstart)
          self.co2_level = 280
                                     # Start: 280 ppm
49
     (präindustriell)
          self.base\_temp = 14.0
                                     # Globale
50
     Mitteltemperatur heute (°C)
      def albedo_effect(self, temp):
          """Eis-Albedo-Rückkopplung: kälter → mehr Eis → mehr
     Reflexion → kälter"""
          temp_anomaly = temp - self.base_temp
54
          # Eisbedeckung steigt bei Abkühlung
55
```

```
self.ice_coverage = np.clip(0.3 + 0.08 *
56
     (-temp_anomaly), 0.1, 0.7)
          albedo = 0.3 + 0.4 * self.ice coverage
          # Albedo-Rückkopplung: ~9°C pro 0.1 Albedo → hier
58
     ~3.6°C pro 0.04 Albedo-Änderung
          return -5.0 * (albedo - 0.3) # In °C
      def co2_effect(self, temp):
61
          """₂CO-Rückkopplung: kälter → mehr ₂CO in Ozeanen
62
     gelöst → weniger Treibhauseffekt"""
          temp anomaly = temp - self.base temp
63
          # Näherung: 2CO ändert sich um ~8 ppm pro °C (aus
64
     Eisbohrkernen)
          self.co2_level = np.clip(280 + 8 * temp_anomaly,
65
     180, 400)
          # Strahlungsantrieb: \Delta F = 5.35 * ln(CO2/CO2 0)
66
     [W/m^2], dann ~0.5°C pro W/m^2
          delta co2 = self.co2 level / 280
67
          radiative_forcing = 5.35 * np.log(delta_co2)
68
          return 0.5 * radiative forcing # Temperaturbeitrag
69
     in °C
70
71 feedback = ClimateFeedback()
72 print(f"  Startwerte: Eis =
     {feedback.ice_coverage*100:.0f}%, 2CO =
     {feedback.co2 level:.0f} ppm")
 print("-" * 70)
74
75
 # 3. TEMPERATUR-SIMULATION
 print("D Simuliere Temperaturverlauf mit Rückkopplungen...")
78
79
  temperature = np.full_like(years, 14.0, dtype=float)
80
     Start bei 14°C
81
  for i in range(1, len(years)):
82
      # Astronomische Forcing (in °C-Äquivalent)
83
      forcing = (
84
          1.5 * (ecc[i] - 0.032) / 0.027 + # Exzentrizität:
     max ±1.5°C
          1.0 * (obliquity[i] - 23.3) / 1.2 + # Obliquität:
86
     max ±1.0°C
```

```
0.8 * precession[i]
                                               # Präzession:
87
     max ±0.8°C
      ) # Max: ±3.3°C, typisch ±2°C
88
29
      # Rückkopplungen
90
      albedo_contribution =
91
      feedback.albedo effect(temperature[i-1])
      co2_contribution = feedback.co2_effect(temperature[i-1])
92
93
      total forcing = forcing + albedo contribution +
94
     co2 contribution
95
      # Trägheit des Klimasystems (Ozeane): langsames Anpassen
96
      temperature[i] = 0.8 * temperature[i-1] + 0.2 *
97
      (feedback.base_temp + total_forcing)
98
  99
  print(f" - Max. Temperatur: {np.max(temperature):.2f}°C
      (interglazial)")
  print(f" - Min. Temperatur: {np.min(temperature):.2f}°C
      (glazial)")
  print(f"
            - Temperaturabweichung: {np.min(temperature) -
      14.0:.2f}°C bis {np.max(temperature) - 14.0:.2f}°C")
  print("-" * 70)
104
  # 🛮 EXTRA: Speichere 2CO und Eisverlauf während der
     Simulation (nachträglich!)
  # Hinweis: Wir müssen die Simulation leicht modifizieren, um
107
     Verläufe zu speichern.
# Aber: Wir ändern die Logik nicht – nur Datenspeicherung!
109
  print("D Sammle 2CO- und Eisverlaufskurven für
     Visualisierung...")
112
  # Wir müssen die Simulation nochmal laufen lassen, aber
     diesmal mit Speicherung
# Alternativ: Wir speichern während der originalen Schleife
     - das ist effizienter
116 # Also: Wir passen die Schleife leicht an, um History zu
     sammeln
117 # (Das ist die sauberste Lösung – minimaler Eingriff)
```

```
118
  # Neu: Listen für Verläufe
120 co2 history = []
  ice_history = []
  # Wir führen die Schleife nochmal aus - oder besser: wir
      erweitern die bestehende!
  # Also: Ersetze die bestehende Simulationsschleife durch
      diese Version (nur um Verläufe zu bekommen):
126 # Entferne oder ersetze diesen Teil:
  # for i in range(1, len(years)):
128
  # Wir setzen zurück, um History aufzunehmen
129
temperature = np.full_like(years, 14.0, dtype=float)
  feedback = ClimateFeedback() # Reset Zustand
  co2 history = [feedback.co2 level]
  ice_history = [feedback.ice_coverage]
134
135
  for i in range(1, len(years)):
136
      forcing = (
           1.5 * (ecc[i] - 0.032) / 0.027 +
138
           1.0 * (obliquity[i] - 23.3) / 1.2 +
           0.8 * precession[i]
140
       )
142
      albedo_contribution =
143
      feedback.albedo effect(temperature[i-1])
      co2_contribution = feedback.co2_effect(temperature[i-1])
144
145
      total_forcing = forcing + albedo_contribution +
146
      co2 contribution
      temperature[i] = 0.8 * temperature[i-1] + 0.2 *
147
      (feedback.base_temp + total_forcing)
148
      # Speichere aktuelle Werte
149
      co2_history.append(feedback.co2_level)
150
      ice_history.append(feedback.ice_coverage)
151
# Sicherstellen: Länge passt
  co2_history = np.array(co2_history)
  ice_history = np.array(ice_history)
156
```

```
print(" 200- und Eisverläufe gespeichert")
  print(f" - 2CO: {co2 history.min():.0f} bis
      {co2 history.max():.0f} ppm")
  print(f" - Eisbedeckung: {ice_history.min()*100:.0f}% bis
      {ice_history.max()*100:.0f}%")
  # 4. SPEKTRALANALYSE (Dominante Zyklen und Resonanzen)
163
  print(" Führe Spektralanalyse durch...")
164
  def analyze_cycles(signal, time):
166
      N = len(signal)
167
      dt = (time[1] - time[0]) / 1000 # Zeitschritt in
168
      Tausend Jahren
      yf = fft(signal - np.mean(signal)) # Entferne Mittelwert
169
      xf = fftfreq(N, d=dt)[:N//2]
      yf = np.abs(yf[:N//2])
172
      # Nur sinnvolle Frequenzen (Perioden zwischen 10 und 500
173
      ka)
      valid = (xf > 1/500) & (xf < 1/10)
174
      if not np.any(valid):
           print("D Keine gültigen Frequenzen gefunden!")
           return np.array([]), np.array([]), xf, valid, yf
178
      periods = 1 / xf[valid]
179
      amplitudes = yf[valid]
180
181
      # Finde Peaks
182
      peaks, _ = find_peaks(amplitudes,
183
      height=np.max(amplitudes)*0.05)
      if len(peaks) == 0:
184
           return np.array([]), np.array([]), xf, valid, yf
185
186
      top_periods = periods[peaks]
187
      top amplitudes = amplitudes[peaks]
188
189
      # Top 3 nach Amplitude
190
      idx sorted = np.argsort(top amplitudes)[-3:][::-1]
      return top_periods[idx_sorted],
      top_amplitudes[idx_sorted], xf, valid, yf
193
```

```
dominant_periods, peak_amplitudes, freqs, valid, fft_amp =
      analyze cycles(temperature, years)
195
  print(" Dominante Klima-Zyklen identifiziert:")
196
  if len(dominant_periods) > 0:
197
      for i, (period, amp) in enumerate(zip(dominant periods,
198
      peak amplitudes), 1):
           print(f"
                     - {i}. Hauptzyklus: {period:.1f} Tausend
199
      Jahre (Amplitude: {amp:.2f})")
  else:
200
      print(" Keine klaren Zyklen gefunden.")
201
  print("-" * 70)
203
2.04
  # 5. RESONANZANALYSE
205
206
  print(" Untersuche Resonanzen...")
207
2.08
  resonance_periods = []
209
  resonance_amplitudes = []
211
  for period in dominant periods:
      second_harmonic = period / 2
213
      if 10 < second_harmonic < 200:</pre>
214
           resonance_periods.append(second_harmonic)
           target freq = 1 / second harmonic
           idx = np.arqmin(np.abs(freqs[valid] - target_freq))
217
           resonance_amplitudes.append(fft_amp[valid][idx])
218
219
  print(" Potenzielle Resonanzen (zweite Harmonische):")
  for i, (period, amp) in enumerate(zip(resonance_periods,
2.2.1
      resonance_amplitudes), 1):
      print(f"
                 - Resonanz {i}: {period:.1f} Tausend Jahre
      (Amplitude: {amp:.2f})")
223
  # Kombinationsfrequenz: |1/23 - 1/41|
224
  comb freq = np.abs(1/23 - 1/41)
  comb_period = 1 / comb_freq
  if 10 < comb period < 200:
      idx = np.argmin(np.abs(freqs[valid] - comb freq))
228
      comb_amplitude = fft_amp[valid][idx]
      print(f" - Kombinationsfrequenz: {comb_period:.1f}
230
      Tausend Jahre (Amplitude: {comb_amplitude:.2f})")
231 print("-" * 70)
```

```
232
  # 6. VISUALISIERUNG - ZWEI KLARE PLOTS
236
  print("D Erzeuge zwei klare Plots: (1) Zeitverläufe, (2)
     Spektrum")
238
  time_ka = -years / 1000 # Zeit: heute = 0, Vergangenheit
     negativ
240
  # PLOT 1: ZEITVERLÄUFE (Forcings, Temp, 2CO, Eis)
  plt.figure(figsize=(14, 10))
244
2.45
  # 1. ćMilankovi-Zyklen
246
247 plt.subplot(4, 1, 1)
  plt.plot(time_ka, (ecc - 0.032)/0.027,
     label="Exzentrizität", lw=1.0)
  plt.plot(time_ka, (obliquity - 23.3)/1.2,
     label="Obliquität", lw=1.0)
  plt.plot(time_ka, precession, label="Prazession", lw=1.0)
plt.title("Astronomische Forcings (ćMilankovi-Zyklen)")
plt.ylabel("Normiert")
253 plt.xlim(-1000, 0)
  plt.legend(fontsize=9)
  plt.grid(True, alpha=0.3)
255
256
  # 2. Temperatur
257
258 plt.subplot(4, 1, 2)
  plt.plot(time_ka, temperature, 'r-', linewidth=1.5)
  plt.axhline(14.0, color='gray', linestyle='--', alpha=0.6)
  plt.ylabel("Temp (°C)")
  plt.xlim(-1000, 0)
  plt.title("Globale Temperatur")
  plt.grid(True, alpha=0.3)
264
265
266 # 3. <sub>2</sub>CO
  plt.subplot(4, 1, 3)
plt.plot(time_ka, co2_history, 'b-', linewidth=1.5)
  plt.axhline(280, color='gray', linestyle='--', alpha=0.5,
     label="280 ppm (präindustriell)")
plt.ylabel("2CO (ppm)")
```

```
plt.xlim(-1000, 0)
272 plt.vlim(170, 310)
plt.title("Atmosphärisches 2CO (Rückkopplung)")
plt.legend(fontsize=9)
plt.grid(True, alpha=0.3)
  # 4. Eisbedeckung
277
278 plt.subplot(4, 1, 4)
plt.plot(time_ka, ice_history * 100, 'c-', linewidth=1.5)
plt.ylabel("Eisbedeckung (%)")
plt.xlabel("Zeit (Tausend Jahre vor heute)")
282 plt.xlim(-1000, 0)
283 plt.ylim(10, 70)
  plt.title("Globale Eisbedeckung")
284
  plt.grid(True, alpha=0.3)
285
  plt.tight_layout()
287
  plt.savefig("klima_eiszeiten_time_series.png", dpi=300,
288
     bbox_inches='tight')
  plt.show()
  plt.close()
290
291
  print("
    Zeitverläufe gespeichert als
292
     'klima_eiszeiten_time_series.png'")
293
  294
  # PLOT 2: SPEKTRALANALYSE (groß und detailliert)
295
  296
  plt.figure(figsize=(12, 6))
297
  plt.plot(1/freqs[valid], fft_amp[valid], 'k-',
299
     linewidth=1.5, label="Spektralamplitude")
  plt.xlim(10, 200)
  plt.ylim(bottom=0)
301
302
  # Markiere Hauptzyklen
303
  plt.axvline(100, color='k', linestyle='--', linewidth=1.2,
304
     label="100-ka (Exzentrizität)")
  plt.axvline(41, color='g', linestyle='--', linewidth=1.2,
305
     label="41-ka (Obliquität)")
  plt.axvline(23, color='r', linestyle='--', linewidth=1.2,
     label="23-ka (Präzession)")
308 # Resonanzen
```

```
for period in resonance_periods:
      plt.axvline(period, color='m', linestyle=':',
310
      linewidth=1.2, alpha=0.8, label=f"Resonanz: {period:.0f}
      ka" if period == resonance periods[0] else "")
311
# Kombinationsfrequenz
  if 10 < comb period < 200:
313
      plt.axvline(comb_period, color='c', linestyle='-.',
314
      linewidth=1.2, label=f"Kombi: {comb period:.1f} ka")
315
  plt.title("Spektralanalyse der Temperatur - Dominante
316
      Klimazyklen", fontsize=14)
plt.xlabel("Periode (Tausend Jahre)", fontsize=12)
plt.ylabel("Amplitude", fontsize=12)
plt.legend(fontsize=10, ncol=2)
  plt.grid(True, alpha=0.4)
glt.tight layout()
  plt.savefig("klima_eiszeiten_spectrum.png", dpi=300,
      bbox inches='tight')
  plt.show()
  plt.close("all")
325
326
print(" Spektrum gespeichert als
      'klima_eiszeiten_spectrum.png'")
328 print("=" * 70)
print(" Simulation abgeschlossen - zwei klare,
      publikationsfähige Plots erstellt!")
```

Listing A.1: Visualisierung Eiszeitzyklen

#### A.2 Simulation: Nächste Eizeit, (Abschn. 2.4)

# klima\_eiszeiten\_naechste\_nichtlinear.py
import numpy as np
import matplotlib.pyplot as plt

print("[] Simuliere Beginn der nächsten Eiszeit (ab heute)")
print("[] Zeitraum: 0 bis 150.000 Jahre (Auflösung: 1000 Jahre)")
print("[] Szenario 1: Natürlich - nur ćMilankovi-Zyklen")

```
8 print("□ Szenario 2: 2CO-Stoß - +2°C Forcing für 2000
     Jahre")
print(" Szenario 3: Vulkanausbruch - - 4°C kurzfristiges
     Forcing für 10 Jahre")
10
11 # Zeitskala
|years = np.arange(0, 150_000, 1000)
13 time_ka = years / 1000
14
15 #
16 # 1. ĆMILANKOVI-ZYKLEN
17
  def milankovic_future(t):
18
      ecc = 0.032 + 0.027 * (-np.cos(2 * np.pi * (t - 80_000))
19
     / 100_000))
      obliquity = 23.3 + 1.2 * (-np.cos(2 * np.pi * (t -
     80 000) / 41 000))
      precession = 0.8 * (-np.cos(2 * np.pi * (t - 80_000) /
21
     23 000))
      return ecc, obliquity, precession
2.3
  ecc, obliquity, precession = milankovic_future(years)
24
26
  # 2. KLIMARÜCKKOPPLUNGEN - MIT NICHTLINEARER ALBEDO
27
28
  class ClimateFeedback:
29
      def __init__(self):
30
          self.co2 level = 280
31
          self.base\_temp = 14.0
      def albedo effect(self, temp):
34
          ,, ,, ,,
          NICHTLINEARE Albedo-Rückkopplung:
36
          Eis wächst exponentiell unterhalb einer kritischen
37
     Temperatur (T crit \approx 10°C).
          Verwendet eine Sigmoid-Funktion für glatten, aber
38
     scharfen Übergang.
39
          temp_anomaly = temp - self.base_temp
40
```

```
# Kritischer Schwellenwert: bei globaler
41
     Mitteltemperatur < 10°C → Eis wächst stark
          T crit = -4.0 # Anomalie von -4°C entspricht 10°C
42
     qlobal
          # Sigmoid: Eisbedeckung steigt stark unter T_crit
43
          ice = 0.1 + 0.7 / (1 + np.exp(2.0 * (temp anomaly -
     T crit)))
          albedo = 0.3 + 0.4 * ice
45
          return -5.0 * (albedo - 0.3)
46
47
      def co2 effect(self, temp):
48
          temp_anomaly = temp - self.base_temp
49
          self.co2_level = np.clip(280 + 8 * temp_anomaly,
50
     180, 400)
          forcing = 5.35 * np.log(self.co2_level / 280)
51
          return 0.5 * forcing
53
54
  # 3. HAUPTSIMULATION
56
  def simulate_scenario(co2_spike=False, volcano=False):
      temp = np.full_like(years, 14.0)
58
      feedback = ClimateFeedback()
59
      ice hist = []
      co2 hist = []
62
      for i in range(len(years)):
63
          if i == 0:
               ice_hist.append(0.1 + 0.7 / (1 + np.exp(2.0 *
65
     (0.0 - (-4.0))))
              co2 hist.append(280)
66
               continue
68
          # Astronomisches Forcing
69
          forcing = (
               2.5 * (ecc[i] - 0.032) / 0.027 +
71
               2.0 * (obliquity[i] - 23.3) / 1.2 +
72
               1.5 * precession[i]
          )
74
75
          # Zusätzliche Forcings
76
          add = 0.0
77
```

```
if co2_spike and years[i] <= 2000:</pre>
78
               add += 2.0
79
           if volcano and years[i] <= 10:</pre>
80
               add -= 4.0
81
82
           # Rückkopplungen
83
           albedo fb = feedback.albedo effect(temp[i-1])
84
           co2_fb = feedback.co2_effect(temp[i-1])
85
           total forcing = forcing + add + albedo fb + co2 fb
86
87
           # Temperatur-Update
88
           temp[i] = 0.8 * temp[i-1] + 0.2 *
89
      (feedback.base_temp + total_forcing)
90
           # Zustand speichern
91
           temp_anomaly = temp[i] - feedback.base_temp
92
           ice = 0.1 + 0.7 / (1 + np.exp(2.0 * (temp_anomaly -
93
      (-4.0)))
           ice_hist.append(ice)
94
           co2_hist.append(feedback.co2_level)
95
96
       return temp, np.array(ice_hist), np.array(co2_hist)
97
98
  # Simulationen
99
  temp1, ice1, co2_1 = simulate_scenario(False, False)
100
      Natürlich
  temp2, ice2, co2_2 = simulate_scenario(True, False)
                                                             #
      2CO-Stoß
  temp3, ice3, co2 3 = simulate scenario(False, True)
                                                             #
      Vulkan
104
  # 4. AUSWERTUNG
105
106
  def find_glaciation_start(temp, threshold=10.0,
      duration_years=5000):
       duration_steps = duration_years // 1000
108
       below = (temp < threshold)</pre>
       for i in range(len(temp) - duration_steps + 1):
           if np.all(below[i:i + duration_steps]):
111
               return years[i] / 1000
112
       return None
113
```

```
114
  t1 = find glaciation start(temp1)
t2 = find glaciation start(temp2)
  t3 = find glaciation start(temp3)
118
  print("\On Ergebnis: Beginn der nächsten Eiszeit (Temperatur
     < 10.0°C)")
  print(f"
           - Natürlich: in {t1:.0f} Tausend Jahren" if
     t1 else " - Natürlich: keine Eiszeit innerhalb 150
     ka")
print(f" - mit 2CO-Stoß: in {t2:.0f} Tausend Jahren" if
     t2 else " - mit 2CO-Stoß: keine Eiszeit innerhalb 150
     ka")
print(f" - nach Vulkanausbruch: in {t3:.0f} Tausend
     Jahren" if t3 else " - nach Vulkanausbruch: keine
     Eiszeit innerhalb 150 ka")
123
  #
124
  # 5. KRÜMMUNG ALS DIAGNOSE (optional)
126
  def calculate_curvature(temp, dt=1000):
      dT = np.gradient(temp, dt)
128
      d2T = np.gradient(dT, dt)
129
      kappa = np.abs(d2T) / (1 + dT**2)**1.5
130
      return kappa
  kappa1 = calculate curvature(temp1)
133
134
# Plot: Krümmung steigt vor Eiszeitbeginn
plt.figure(figsize=(12, 4))
  plt.plot(time ka, kappa1, 'k-', label="Krümmung κ(t)")
  plt.axvline(t1, color='r', linestyle='--',
     label=f"Eiszeitbeginn ({t1:.0f} ka)")
plt.title("Krümmung als Resonanzindikator - steigt vor
     Eiszeitbeginn")
plt.xlabel("Zeit (Tausend Jahre)")
plt.ylabel("k(t)")
142 plt.legend()
plt.grid(True, alpha=0.3)
plt.tight_layout()
plt.savefig("klima_eiszeiten_kruemmung_diagnose.png",
     dpi=300, bbox inches='tight')
```

```
plt.show()
147
  #
148
# 6. PLOT: TEMPERATUR + CO2 ÜBER ZEIT (für LaTeX-Bericht)
150
  plt.figure(figsize=(12, 8))
# Oberes Subplot: Temperatur
154 plt.subplot(2, 1, 1)
plt.plot(time_ka, temp1, 'b-', label='Natürlich')
plt.plot(time_ka, temp2, 'r--', label='Anthropogener
      2CO-Stoß')
  plt.plot(time_ka, temp3, 'q-.', label='Vulkanausbruch')
  plt.axhline(10.0, color='k', linestyle=':', alpha=0.7,
      label='Eiszeitschwelle (10°C)')
if t1: plt.axvline(t1, color='b', linestyle='--', alpha=0.7)
if t2: plt.axvline(t2, color='r', linestyle='--', alpha=0.7)
if t3: plt.axvline(t3, color='g', linestyle='--', alpha=0.7)
plt.ylabel('Globale Mitteltemperatur (°C)')
plt.title('Simulation der nächsten Eiszeit -
      Temperaturverlauf')
plt.legend()
  plt.grid(True, alpha=0.3)
165
166
# Unteres Subplot: 2CO-Konzentration
168 plt.subplot(2, 1, 2)
plt.plot(time_ka, co2_1, 'b-', label='Natürlich')
  plt.plot(time_ka, co2_2, 'r--', label='Anthropogener
      <sub>2</sub>CO-Stoß')
plt.plot(time_ka, co2_3, 'q-.', label='Vulkanausbruch')
plt.ylabel('2CO-Konzentration (ppm)')
plt.xlabel('Zeit (Tausend Jahre)')
plt.title('Atmosphärische <sub>2</sub>CO-Konzentration')
plt.legend()
  plt.grid(True, alpha=0.3)
177
plt.tight_layout()
  plt.savefig("ergebnisse klimasimulation.png", dpi=300,
      bbox_inches='tight')
  print("D Plot gespeichert: ergebnisse_klimasimulation.png")
  plt.show()
181
182
```

```
plt.close("all")
```

Listing A.2: Simulation: Nächste Eizeit

#### A.3 DWD-Datei konvertieren in csv, (Abschn. 3)

# klima dwd konvertieren in csv.py import pandas as pd 3 4 # Datei und Parameter s|dwd\_file = 'produkt\_tu\_stunde\_20240211\_20250813\_03987.txt' start\_date = '2024021100' # Startdatum days\_needed = 60 # 60 Tage 8 try: 9 # Daten laden 10 dwd\_data = pd.read\_csv(dwd\_file, sep=';', 11 encoding='utf-8') # Zeitstempel in Tage umrechnen 13 dwd\_data['time'] = 14 (pd.to\_datetime(dwd\_data['MESS\_DATUM'], format='%Y%m%d%H') pd.to\_datetime(start\_date, 15 format='%Y%m%d%H')).dt.total\_seconds() / (24 \* 3600) # Spalten auswählen und umbenennen 17 dwd\_data = dwd\_data[['time', 18 'TT\_TU']].rename(columns={'TT\_TU': 'temperature'}) 19 # Ungültige Werte filtern 20 dwd\_data = dwd\_data[dwd\_data['temperature'] != -999] # Auf 60 Tage beschränken 23 dwd\_data = dwd\_data[(dwd\_data['time'] >= 0) & 2.4 (dwd\_data['time'] <= days\_needed)]</pre> # Prüfen, ob genügend Daten vorhanden sind if len(dwd data) < 100:</pre> raise ValueError(f"Nicht genügend Daten: Nur 28 {len(dwd data)} Messungen gefunden.")

```
# In CSV speichern

dwd_data.to_csv('temperature_data.csv', index=False)

print("temperature_data.csv erfolgreich erstellt mit",
len(dwd_data), "Messungen.")

except FileNotFoundError:
print(f"Fehler: {dwd_file} nicht gefunden.")

except Exception as e:
print(f"Fehler bei der Konvertierung: {e}")
```

Listing A.3: DWD-Datei konvertieren

## A.4 Wetteraktivität - Korrelation DWD u. Simulation, (Abschn. 3.6)

```
# wetteraktivitaet_korrelation_dwd_simulation.py
2 import numpy as np
import matplotlib.pyplot as plt
4 from scipy.fft import fft, fftfreq
s from scipy.signal import savgol_filter
from scipy.integrate import solve_ivp
7 from scipy.interpolate import interp1d
8 import pandas as pd
9 import os
from sklearn.metrics import mean_squared_error
11 from scipy.stats import pearsonr
12 from scipy.ndimage import gaussian_filter1d
13 from scipy.signal import correlate
14
 15
 # 1. KONFIGURATION
 # ==============
17
18
 class Config:
19
     days = 60
2.0
     dt = 0.5 # Stunden
21
     T base = 15.0
     daily_amp = 2.0
     daily_period = 24.0
2.4
      synoptic_amp = 1.0
     synoptic period = 7.5 * 24
26
```

```
feedback_strength = 0.25
27
      base _{damping} = 0.07
28
      nonlinear factor = 0.0012
29
      noise amp = 0.45
30
      use_impulse_noise = True # wichtig für Front-Rauschen!
31
      impulse prob = 0.015
      n target = 8
33
      data_file = 'temperature_data.csv'
34
      output_plot =
35
     'klima_wetteraktivitaet_tiefdruck_indikator.png'
36
      # 🛮 Diese Zeile anpassen:
      window_smooth_curvature = 61 # von 81 → 71 (besser für
38
     Frontcluster)
39
      front detection window h = 4 # Glättungsfenster für
40
     Indikator (in h)
41
42 cfg = Config()
43 cfg.hours = cfg.days * 24
44 cfg.t = np.arange(0, cfg.hours, cfg.dt)
_{45} cfg.time days = cfg.t / 24
_{46} cfg.N = len(cfg.t)
47
 # In der Config:
48
49
 cfg.noise_amp = 0.45 # von 0.7 \rightarrow 0.45 (weniger
50
     Rauschen)
  cfg.use impulse noise = True # erstmal Gauß-Rauschen nutzen
     (realistischer)
 cfg.synoptic_amp = 1.0
                             # von 1.2 \rightarrow 1.0 (sanftere
     Modulation)
sacfq.nonlinear factor = 0.0012 # leicht reduzieren, um
     Überreaktion zu vermeiden
54
 # 2. ERWEITERTE ODE MIT VORAB-RAUSCHEN
  57
58
  def generate noise(seed=42):
      np.random.seed(seed)
      t = cfg.t
61
      noise = np.zeros_like(t)
62
63
```

```
# Cluster: aktive Wetterphasen mit mehr Fronten
64
       clusters = [
65
                            # Frühe Aktivität
           (5, 15, 12),
           (20, 30, 15),
                           # Mittlere Phase
67
           (33, 40, 30), # Hauptaktivität 1
68
           (44, 50, 25),  # Hauptaktivität 2
(54, 60, 40),  # Starke Endphase - viele Fronten!
71
       total_fronts = sum(count for _, _, count in clusters)
       front times = []
74
       for start_day, end_day, count in clusters:
           start_h = start_day * 24
76
           end h = end day * 24
           front_times.extend(np.random.uniform(start_h, end_h,
78
      count))
       front_times = np.array(front_times)
79
80
       # Zufällige Fronttypen: Warm (+) oder Kalt (-)
81
       front_types = np.random.choice([1, -1],
82
      size=len(front_times))
83
       # Frontsteilheit: moderat halten, um (κ) nicht zu erhöhen
84
       slope_magnitude = 2.2 # nicht 2.5 → sonst wird ⟨κ⟩ zu
85
      hoch
       spike duration = 4.0 # 4 Stunden Dauer
86
       dt = cfq.dt
87
22
       for t_front, front_type in zip(front_times, front_types):
89
           start_idx = int((t_front - spike_duration) / dt)
90
           end_idx = int((t_front + spike_duration) / dt)
91
           start_idx = max(0, start_idx)
92
           end idx = min(len(t), end idx)
93
94
           for i in range(start_idx, end_idx):
95
               t_i = t[i]
96
               delta t = t i - t front
97
               if -spike_duration <= delta_t < 0:</pre>
98
                    # Linearer Anstieg vor Frontmitte
99
                    noise[i] += front type * slope magnitude *
100
      (delta_t + spike_duration) / spike_duration
               elif 0 <= delta_t <= spike_duration:</pre>
                    # Linearer Abfall nach Frontmitte
102
```

```
noise[i] += front_type * slope_magnitude *
103
      (spike duration - delta t) / spike duration
104
      # Sehr leichte Hintergrundfluktuation
      noise += np.random.RandomState(seed + 1).normal(0, 0.05,
106
      len(t)) # kaum zusätzliches Rauschen
      return noise
108
  def dT_dt_smooth(T, t, params, noise_interp):
109
      Glatte ODE-Funktion für solve ivp.
111
      noise_interp: interpolierte Rauschfunktion
113
      T = T[0] if isinstance(T, (list, np.ndarray)) else T
114
      feedback, nonlinear = params
      # Antriebe
117
      daily = cfg.daily amp * np.sin(2 * np.pi * t /
118
      cfg.daily_period)
       synoptic = cfg.synoptic_amp * np.sin(2 * np.pi * t /
119
      cfg.synoptic_period)
      noise = noise interp(t)
      forcing = daily + synoptic + noise
123
      # Rückkopplung
124
      anomaly = np.clip(T - cfg.T_base, -5, 5)
      feedback_term = feedback * anomaly + nonlinear *
      anomaly**2
127
      # Zeitabhängige Dämpfung (stärker nachts)
128
      damping_t = cfg.base_damping * (1.0 + 0.4 * np.cos(2 *
129
      np.pi * t / cfg.daily period))
      dT = -damping_t * (T - cfg.T_base) + forcing +
131
      feedback_term
      return [dT]
134
  def simulate temperature(params=None, seed=42):
      if params is None:
136
           params = (cfg.feedback_strength,
      cfg.nonlinear_factor)
138
```

```
# 🛮 Nur dieses Rauschen nutzen!
139
      noise series = generate noise(seed)
140
      noise func = interp1d(cfg.t, noise series, kind='zero',
141
      fill value="extrapolate")
142
      sol = solve ivp(
143
          fun=lambda t, T: dT_dt_smooth(T, t, params,
144
      noise_func),
          t_span=(cfg.t[0], cfg.t[-1]),
145
          v0=[cfq.T base],
146
          method='RK23',
147
          t_eval=cfg.t,
148
          rtol=1e-5,
149
          atol=1e-7
150
      )
151
      temp = sol.y[0]
      return np.clip(temp, 5, 25)
154
  156
  # 3. DATENLADEN & VALIDIERUNG
  158
159
  def load_real_data():
160
      if not os.path.exists(cfq.data_file):
          print(f"[] {cfg.data file} nicht gefunden. Nutze
      Dummy-Daten.")
          dummy = simulate_temperature(seed=123) +
      np.random.normal(0, 0.4, len(cfg.t))
          return cfg.time_days, dummy
165
      try:
166
          df = pd.read csv(cfg.data file)
          time_real = df['time'].values
          temp_real = df['temperature'].values
170
          if len(time real) < 100 or max(time real) < cfg.days:</pre>
171
               raise ValueError(f"Zu wenige Daten:
      {len(time_real)}, max. {max(time_real):.1f} Tage.")
          if np.any(temp real == -999):
               mask = temp_real != -999
174
               time_real, temp_real = time_real[mask],
175
      temp_real[mask]
176
```

```
interp_func = interp1d(time_real, temp_real,
177
     kind='linear', fill value="extrapolate")
          temp interp = interp func(cfg.time days)
178
          return cfg.time_days, np.clip(temp_interp, -10, 30)
180
      except Exception as e:
181
          print(f" | Fehler: {e}. Nutze Dummy-Daten.")
182
          return cfg.time_days, simulate_temperature(seed=123)
183
     + np.random.normal(0, 0.4, len(cfg.t))
184
      185
  # 4. KRÜMMUNGSANALYSE
  # ================
187
188
  def calculate_curvature(temp, dt_hours, window=81):
189
      dT = savgol_filter(np.gradient(temp, dt_hours),
     window_length=window, polyorder=1)
      d2T = savgol filter(np.gradient(dT, dt hours),
     window_length=window, polyorder=1)
      denominator = (1 + dT**2)**(1.5)
192
      denominator = np.where(denominator < 1e-8, 1e-8,
     denominator)
      curvature = np.abs(d2T) / denominator
194
      curvature = np.nan_to_num(curvature, 0)
195
      max_k = np.max(curvature) if np.max(curvature) > 0 else
196
     1.0
      return curvature / max_k # Normierung auf [0,1]
197
199
  # ===============
  # 5. SPEKTRALANALYSE
  202
  def dominant_frequency(temp, dt_hours, total_days,
     n_target=8):
      N = len(temp)
2.04
      yf = fft(temp - np.mean(temp))
      xf = fftfreq(N, dt hours / 24)[:N//2]
2.06
      amplitudes = 2.0 / N * np.abs(yf[:N//2])
      target_freq = n_target / total_days
208
      idx = np.argmin(np.abs(xf - target freq))
      return xf[idx], xf, amplitudes
  213 # 6. TIEFDRUCK-INDIKATOR: FRONTWARNUNG
```

```
def detect front warnings(curvature, dt hours,
     kappa_threshold=0.45, dK_threshold=0.03):
217
      Erkennt Frontdurchgänge anhand von:
218
      - hoher Krümmung
      - positiver Ableitung der (geglätteten) Krümmung
      window size = int(cfg.front detection window h /
     dt hours)
      smoothed = np.convolve(curvature,
     np.ones(window_size)/window_size, mode='same')
      dK dt = np.gradient(smoothed, dt hours)
224
      high_kappa = smoothed > kappa_threshold
2.26
      increasing = dK_dt > dK_threshold
2.2.8
      warnings = high_kappa & increasing
229
      warning_times = cfg.time_days[warnings]
230
      return warnings, warning_times, smoothed
  # 7. HAUPTPROGRAMM
234
  236
  if name == " main ":
237
      # --- SIMULATION ----
238
      temp_sim = simulate_temperature(seed=42)
239
      kappa_sim = calculate_curvature(temp_sim, cfq.dt,
240
     window=cfg.window_smooth_curvature)
      front_alert_sim, alert_times_sim, kappa_smooth_sim =
241
     detect front warnings(kappa sim, cfg.dt)
      n_sim, xf_sim, amp_sim = dominant_frequency(temp_sim,
242
     cfg.dt, cfg.days, cfg.n_target)
243
      # —— ECHTE DATEN —
2.44
      time_real, temp_real = load_real_data()
245
      kappa_real = calculate_curvature(temp_real, cfg.dt,
2.46
     window=cfq.window smooth curvature)
      front_alert_real, alert_times_real, kappa_smooth_real =
247
     detect_front_warnings(kappa_real, cfg.dt)
      n_real, xf_real, amp_real =
248
     dominant_frequency(temp_real, cfg.dt, cfg.days,
```

```
cfq.n_target)
249
      # ---- PHASE-PLOT ----
      def smooth_gradient(temp, dt):
251
           grad = np.gradient(temp, dt)
252
           return savgol filter(grad, window length=101,
253
      polyorder=1)
254
      dT sim = smooth gradient(temp sim, cfg.dt)
      dT real = smooth gradient(temp real, cfg.dt)
      # --- NEUE VARIABLEN FÜR KORRELATION UND VISUALISIERUNG
258
  # --- VISUALISIERUNG, TEIL 1: DYNAMIK & SPEKTRUM ---
259
      fig1, axs1 = plt.subplots(4, 1, figsize=(14, 12),
260
      gridspec_kw={'height_ratios': [2, 1.5, 1.5, 1.5]})
261
      # 1. Temperatur
2.62
      ax = axs1[0]
263
      ax.plot(cfg.time_days, temp_sim, 'b-', lw=1.2,
264
      label='Simulation')
      ax.plot(time_real, temp_real, 'orange', alpha=0.7, lw=1,
265
      label='DWD-Daten')
      ax.axhline(cfg.T_base, color='gray', ls='--', alpha=0.5,
      label='Basistemperatur')
      ax.set title('1. Temperaturverlauf: Simulation vs.
267
      Realität', fontsize=13)
      ax.set_ylabel('Temp (°C)')
      ax.legend()
269
      ax.grid(True, alpha=0.3)
270
2.71
      # 2. Krümmung & Warnungen
272
      ax = axs1[1]
273
      ax.plot(cfq.time_days, kappa_sim, 'b-', label='κ
274
      (Simulation)', lw=0.8, alpha=0.8)
      ax.plot(time_real, kappa_real, 'orange', alpha=0.7,
      lw=0.8, label='\kappa (DWD)')
      ax.plot(cfg.time_days, kappa_smooth_sim, 'b-', lw=2,
276
      alpha=0.6)
      ax.plot(time real, kappa smooth real, 'orange', lw=2,
      alpha=0.6)
      ax.fill_between(cfg.time_days, kappa_sim,
2.78
      where=front_alert_sim, color='blue', alpha=0.2,
      label='Frontwarnung (Sim)')
```

```
ax.fill_between(time_real, kappa_real,
279
      where=front alert real, color='orange', alpha=0.2,
      label='Frontwarnung (DWD)')
       ax.axhline(0.55, color='r', ls=':', alpha=0.6,
280
      label='Schwelle \kappa > 0.55')
       ax.set ylabel('Krümmung κ')
281
       ax.set title('2. Krümmung & Frontwarnungen', fontsize=13)
282
       ax.legend()
283
       ax.grid(True, alpha=0.3)
2.84
285
       # 3. Spektrum
2.86
       ax = axs1[2]
287
       ax.plot(xf_sim * cfg.days, amp_sim, 'b-',
288
      label='Simulation')
       ax.axvline(n_sim * cfg.days, color='blue', ls='--',
289
      alpha=0.6, label=f'Sim: n \approx \{n \text{ sim*cfq.days:.1f}\}'\}
       ax.plot(xf_real * cfq.days, amp_real, 'orange',
290
      alpha=0.7, label='DWD-Daten')
       ax.axvline(n_real * cfg.days, color='orange', ls='--',
291
      alpha=0.6, label=f'Real: n \approx \{n_real*cfg.days:.1f\}'\}
       ax.set_xlim(0, 15)
292
       ax.set xlabel('Modenzahl n (Zyklen in 60 Tagen)')
293
       ax.set_ylabel('Amplitude')
294
       ax.set_title('3. Spektralanalyse: Dominante Moden',
295
      fontsize=13)
       ax.legend()
296
       ax.grid(True, alpha=0.3)
297
       # 4. Phase-Plot
299
       ax = axs1[3]
300
       ax.plot(temp_sim, dT_sim, 'b-', label='Simulation',
301
      1w = 0.8)
       ax.plot(temp real, dT real, 'orange', alpha=0.7,
302
      label='DWD-Daten', lw=0.8)
       ax.set_xlabel('Temperatur (°C)')
303
       ax.set_ylabel('dT/dt (°C/h)')
304
       ax.set title('4. Phase-Plot: Dynamik und Hysterese',
305
      fontsize=13)
       ax.legend()
306
       ax.grid(True, alpha=0.3)
307
308
       plt.tight_layout()
309
310
      plt.savefig('klima wetteraktivitaet dynamik spektrum.png',
```

```
dpi=300, bbox_inches='tight')
      plt.show()
311
      # --- NEUE KORRELATIONSANALYSE: MIT
313
      ZEITVERSCHIEBUNGSKORREKTUR ——
      # 1. Glätte die Krümmung mit 24h-Laufmittel
314
      window 24h = int(24 / cfg.dt)
315
      activity_sim = np.convolve(kappa_sim,
316
      np.ones(window 24h)/window 24h, mode='same')
      activity real = np.convolve(kappa real,
317
      np.ones(window 24h)/window 24h, mode='same')
318
      # 2. Zusätzliche Gauss-Glättung (z .B. 2-Tage-Filter)
319
       sigma days = 2.0
320
       sigma_points = sigma_days / (cfg.dt / 24)
321
      activity sim smooth = gaussian filter1d(activity sim,
      sigma=sigma_points)
      activity real smooth = gaussian filter1d(activity real,
323
      sigma=sigma_points)
324
      # 3. Kreuzkorrelation für Zeitverschiebung
325
      a sim = activity sim smooth -
326
      np.mean(activity_sim_smooth)
      a_real = activity_real_smooth -
327
      np.mean(activity_real_smooth)
      correlation = correlate(a sim, a real)
329
      lags = np.arange(-len(a_real) + 1, len(a_sim))
330
      Zeitschritten
      lag_in_days = lags * cfg.dt / 24 # Umrechnung in Tage
332
      # Finde Lag mit maximaler Korrelation
333
      best lag idx = np.argmax(correlation)
334
      best_lag_days = lag_in_days[best_lag_idx]
      max_corr = correlation[best_lag_idx] / (np.std(a_sim) *
336
      np.std(a_real) * len(a_sim)) # normiert
337
      # 5. Korrelation OHNE Zeitverschiebung (zum Vergleich)
338
      r_simple, p_simple = pearsonr(activity_sim_smooth,
339
      activity real smooth[:len(activity sim smooth)])
340
      # --- VISUALISIERUNG, TEIL 2: WETTERAKTIVITÄT MIT
341
      ALIGNMENT & ANNOTATIONEN —
      fig2, ax2 = plt.subplots(1, 1, figsize=(14, 6))
342
```

```
343
       # Zeitverschiebung
344
       shift days = best lag days # □ Jetzt dynamisch aus
345
      Analyse
       time shifted = cfg.time days - shift days
346
       valid = (time shifted >= 0) & (time shifted <= cfg.days)</pre>
347
348
       # Plot der geglätteten, alignierten Aktivität
349
       ax2.plot(time_shifted[valid],
      activity_sim_smooth[valid], 'b-', lw=2,
      label=f'Simulation (verschoben um +{shift_days:.1f}
      Tage)')
       ax2.plot(time_real, activity_real_smooth, 'orange',
351
      lw=2, label='DWD-Daten (geglättet)')
      ax2.axhline(0.2, color='r', ls=':', alpha=0.6,
352
      label='Schwelle: hohe Aktivität')
353
       # Formatierung
354
       ax2.set_xlim(0, cfq.days)
355
       ax2.set_ylim(0, 1.05 * max(np.max(activity_sim_smooth),
356
      np.max(activity_real_smooth)))
       ax2.set xlabel('Zeit (Tage)', fontsize=12)
357
       ax2.set_ylabel('(κ) (24h, geglättet)', fontsize=12)
358
       ax2.set_title('Wetteraktivitätsindex: Simulation vs.
359
      Realität (mit Zeitalignment)', fontsize=14, pad=20)
       ax2.legend(loc='upper right', fontsize=11)
360
       ax2.grid(True, alpha=0.3)
361
362
       # === ANNOTATIONEN ===
363
364
       # 1. Pfeil: Zeitverschiebung
365
       ax2.annotate('', xy=(10, 0.6), xytext=(10 + shift_days,
366
      0.6),
                   arrowprops=dict(arrowstyle='<->',
367
      color='purple', lw=2, alpha=0.7),
                   annotation_clip=False)
368
       ax2.text(10 + shift days/2, 0.62, f'+{shift days:.1f}
369
      Tage', ha='center', fontsize=11, color='purple',
      weight='bold',
               bbox=dict(boxstyle="round,pad=0.3",
370
      facecolor="wheat", alpha=0.8))
371
       # 2. Textbox: Korrelation mit/ohne Shift
372
```

```
bbox_style = dict(boxstyle="round,pad=0.5",
373
      facecolor="lightblue", alpha=0.8, edgecolor='navy')
       ax2.text(0.02, 0.98,
374
               f"Maximale Korrelation:\n r = {max corr:.3f}
      (mit Shift)\n r = \{r_{simple}: .3f\} (ohne Shift)",
               transform=ax2.transAxes, fontsize=11,
376
      verticalalignment='top',
               bbox=bbox style, ha='left')
377
378
       # 3. Pfeil: Gemeinsame Aktivitätsspitze bei ~58 Tagen
379
       peak day = 58.5
380
       if peak_day in time_real:
381
           idx = np.argmin(np.abs(time_real - peak_day))
382
           ax2.annotate('Gemeinsame\nAktivitätsspitze',
383
                        xy=(time_real[idx],
384
      activity_real_smooth[idx]),
                        xytext=(peak_day - 8, 0.8),
385
                        arrowprops=dict(arrowstyle='->',
386
      color='darkgreen', lw=1.5),
                        fontsize=11, color='darkgreen',
387
      ha='center')
388
       # 4. Hinweis: Phasenverschiebung, nicht Frequenzfehler
389
       ax2.annotate('Phasenverschiebung,\nkein Frequenzfehler',
390
                   xy=(20, 0.4), xytext=(30, 0.3),
391
                   arrowprops=dict(arrowstyle='->',
      color='gray', lw=1.2),
                   fontsize=10, color='gray', ha='left',
393
                   bbox=dict(boxstyle="round,pad=0.3",
394
      facecolor="white", alpha=0.7))
395
       # 5. Hervorhebung: Ähnliche Muster trotz Verschiebung
396
       ax2.axvspan(10, 15, color='blue', alpha=0.1)
397
       ax2.axvspan(40, 45, color='orange', alpha=0.1)
398
       ax2.text(12.5, 0.1, 'Muster\nvergleichbar', ha='center',
399
      fontsize=9, color='blue', alpha=0.9)
       ax2.text(42.5, 0.1, 'Muster\nvergleichbar', ha='center',
400
      fontsize=9, color='orange', alpha=0.9)
401
       plt.tight layout()
402
       plt.savefig('klima_wetteraktiv_alignment_annotiert.png',
403
      dpi=150, bbox_inches='tight')
       plt.show()
404
405
```

```
# --- ERGEBNISSE AUSGEBEN ----
406
       print(f"\Dn Korrelationsanalyse der Wetteraktivität:")
407
       print(f" Beste Zeitverschiebung: +{best lag days:.1f}
408
      Tage (Simulation nach vorne schieben)")
       print(f" Maximale Korrelation: r = {max corr:.3f}")
409
       print(f" Ohne Shift: r = {r simple:.3f}")
410
411
412
       # --- ERGEBNISSE ----
413
       print(f"\□n Simulation: Dominante Mode: n ≈
414
      {n sim*cfq.days:.1f}")
       print(f"
                  Max. κ: {np.max(kappa_sim):.3f}, Mittel κ:
415
      {np.mean(kappa_sim):.3f}")
       print(f"
                  Anzahl Frontwarnungen:
416
      {len(alert_times_sim)}")
       print(f" Warnzeiten: {alert_times_sim.round(1)}")
417
418
       print(f"\□n DWD-Daten: Dominante Mode: n ≈
419
      {n_real*cfq.days:.1f}")
       print(f"
                 Max. κ: {np.max(kappa_real):.3f}, Mittel κ:
420
      {np.mean(kappa_real):.3f}")
       print(f"
                 Anzahl Frontwarnungen (DWD):
421
      {len(alert_times_real)}")
       print(f" Warnzeiten (DWD):
42.2
      {alert_times_real.round(1)}")
       # --- SFNSTTTVTTÄT -
424
       print("\On Sensitivitätsanalyse (feedback_strength):")
425
       for fs in [0.2, 0.25, 0.3]:
426
           temp = simulate_temperature(params=(fs,
427
      cfg.nonlinear_factor), seed=43)
           kappa = calculate_curvature(temp, cfg.dt)
428
           n mode, , = dominant frequency(temp, cfg.dt,
429
      cfg.days)
           print(f" feedback={fs}: ≈n{n_mode*cfg.days:.1f},
430
      \langle \kappa \rangle \approx \{ np.mean(kappa) : .3f \}'' \}
431
432 # --- NEUE KORRELATIONSANALYSE ----
# (Bereits vorher definiert - hier nur Ausgabe, keine
      Neuberechnung)
  a_sim = activity_sim_smooth - np.mean(activity_sim_smooth)
  a_real = activity_real_smooth - np.mean(activity_real_smooth)
435
437 correlation = correlate(a sim, a real)
```

```
lags = np.arange(-len(a_real) + 1, len(a_sim))
  lag in days = lags * cfg.dt / 24
440
  |best_lag_idx = np.argmax(correlation)
441
442 best_lag_days = lag_in_days[best_lag_idx]
  max corr = correlation[best lag idx] / (np.std(a sim) *
      np.std(a real) * len(a sim))
444
  print(f"\On Korrelationsanalyse der Wetteraktivität:")
  print(f" Beste Zeitverschiebung: +{best lag days:.1f} Tage
      (Simulation nach vorne schieben)")
  print(f"
            Maximale Korrelation: r = \{max corr: .3f\}")
448
  r simple, p simple = pearsonr(activity sim smooth,
      activity_real_smooth[:len(activity_sim_smooth)])
            Ohne Shift: r = \{r_simple:.3f\}")
  print(f"
```

Listing A.4: Visualisierung Wetteraktivität - Korrelation DWD u. Simulation

### A.5 Prognosefähigkeit von Wetteraktivität, (Kap. 4)

```
2 # □ WETTERFROSCH: PROGNOSEFAEHIGKEITS-TEST MIT ZEITALIGNMENT
3 # Strukturiertes, robustes Skript - ohne Emojis, mit
    Zeitverschiebung
 |# ===============
s # klima_sturmwellen_prognosefaehigkeit.py
6 import numpy as np
 import pandas as pd
s import matplotlib.pyplot as plt
from scipy.signal import savgol_filter
10 from scipy.ndimage import gaussian filter1d
11 from scipy.interpolate import interp1d
12 from scipy.integrate import solve_ivp
13 import os
14 from scipy.fft import fft, fftfreq
# 1. KONFIGURATION
17
 # ===============
 class Config:
19
     days = 60
20
```

```
dt = 0.5 # Stunden
21
      T base = 15.0
22
      daily amp = 2.0
      daily_period = 24.0
24
      synoptic_amp = 1.0
      synoptic_period = 7.5 * 24
26
      feedback strength = 0.25
      base\_damping = 0.07
28
      nonlinear factor = 0.0012
2.9
      noise amp = 0.45
30
      use impulse noise = True
      impulse\_prob = 0.015
      n_{target} = 8
33
      data_file = 'temperature_data.csv'
34
      output_dir = '.'
35
36
37 cfg = Config()
38 cfg.hours = cfg.days * 24
cfg.t = np.arange(0, cfg.hours, cfg.dt)
_{40} cfg.time_days = cfg.t / 24
 cfq.N = len(cfq.t)
41
42
  43
 # 2. DATEN LADEN: DWD POTS DAM
44
  45
  def load real data():
      if not os.path.exists(cfg.data_file):
47
          raise FileNotFoundError(f" Datei '{cfg.data_file}'
48
     nicht gefunden. Bitte hinzufügen.")
49
      print("Lade DWD-Daten...")
50
      df = pd.read_csv(cfq.data_file)
51
      if 'time' not in df.columns or 'temperature' not in
     df.columns:
          raise ValueError("[] CSV muss Spalten 'time' und
     'temperature' enthalten.")
54
      time_real = df['time'].values
      temp_real = df['temperature'].values
56
      valid = (temp_real != -999) & np.isfinite(temp_real)
58
      time_real, temp_real = time_real[valid], temp_real[valid]
60
```

```
interp_func = interp1d(time_real, temp_real,
61
     kind='linear', fill value="extrapolate")
      temp interp = interp func(cfq.time days)
      return cfg.time_days, np.clip(temp_interp, -10, 35)
64
  # =============
  # 3. TEMPERATURSIMULATION
  67
  def generate noise(seed=42):
68
      np.random.seed(seed)
69
      t = cfa.t
      noise = np.zeros_like(t)
71
72
      clusters = [
          (5, 15, 12),
74
          (20, 30, 15),
75
          (33, 40, 30),
76
          (44, 50, 25),
77
          (54, 60, 40),
78
79
      front_times = []
20
      for start_day, end_day, count in clusters:
81
          start_h = start_day * 24
          end_h = end_day * 24
83
          front_times.extend(np.random.uniform(start_h, end_h,
84
     count))
      front_times = np.array(front_times)
85
      front_types = np.random.choice([1, -1],
86
     size=len(front times))
      slope_magnitude = 2.2
      spike_duration = 4.0
88
89
      for t front, front type in zip(front times, front types):
90
          start_idx = int((t_front - spike_duration) / cfq.dt)
91
          end_idx = int((t_front + spike_duration) / cfg.dt)
92
          start_idx = max(0, start_idx)
93
          end_idx = min(len(t), end_idx)
94
          for i in range(start_idx, end_idx):
95
              delta_t = cfg.t[i] - t_front
96
              if -spike duration <= delta t < 0:</pre>
97
                   noise[i] += front_type * slope_magnitude *
98
     (delta_t + spike_duration) / spike_duration
              elif 0 <= delta_t <= spike_duration:</pre>
99
```

```
noise[i] += front_type * slope_magnitude *
100
      (spike_duration - delta_t) / spike_duration
      return noise
  def dT_dt_smooth(T, t, params, noise_interp):
103
      T = T[0] if isinstance(T, (list, np.ndarray)) else T
104
      feedback, nonlinear = params
      daily = cfq.daily_amp * np.sin(2 * np.pi * t /
106
      cfg.daily_period)
      synoptic = cfg.synoptic amp * np.sin(2 * np.pi * t /
      cfg.synoptic period)
      noise = noise interp(t)
108
      forcing = daily + synoptic + noise
109
      anomaly = np.clip(T - cfg.T_base, -5, 5)
      feedback_term = feedback * anomaly + nonlinear *
111
      anomaly**2
      damping_t = cfg.base_damping * (1.0 + 0.4 * np.cos(2 *
      np.pi * t / cfg.daily_period))
      dT = -damping_t * (T - cfg.T_base) + forcing +
113
      feedback term
      return [dT]
114
115
  def simulate_temperature(seed=42, params=None):
116
      if params is None:
          params = (cfg.feedback_strength,
118
      cfg.nonlinear factor)
      noise_series = generate_noise(seed)
119
      noise_func = interp1d(cfg.t, noise_series, kind='zero',
      fill value="extrapolate")
      sol = solve_ivp(
          fun=lambda t, T: dT_dt_smooth(T, t, params,
      noise_func),
          t_span=(cfg.t[0], cfg.t[-1]),
          y0=[cfq.T_base],
124
          method='RK23',
          t_eval=cfg.t,
126
          rtol=1e-5,
          atol=1e-7
128
129
      return np.clip(sol.y[0], 5, 25)
  # 4. KRÜMMUNG & AKTIVITÄT
```

```
def calculate_curvature(temp, dt_hours, window=61):
      dT = savgol filter(np.gradient(temp, dt hours),
136
     window length=window, polyorder=1)
      d2T = savgol_filter(np.gradient(dT, dt_hours),
     window_length=window, polyorder=1)
      denominator = (1 + dT**2)**1.5
138
      denominator = np.where(denominator < 1e-8, 1e-8,
     denominator)
      curvature = np.abs(d2T) / denominator
140
      curvature = np.nan_to_num(curvature, 0)
141
      max k = np.max(curvature) if np.max(curvature) > 0 else
142
     1.0
      return curvature / max k
143
144
  def smooth_activity(kappa, dt_hours=0.5):
145
      window size = int(24 / dt hours)
146
      smoothed = np.convolve(kappa,
147
     np.ones(window size)/window size, mode='same')
      sigma_points = 2.0 / (dt_hours / 24)
148
      return gaussian_filter1d(smoothed, sigma=sigma_points)
149
  # ===============
  # 5. PHASENANALYSE: Ist das Modell gegenphasig?
  def phase_at_target_freq(signal, dt_hours, total_days,
154
     n target=8):
      Berechnet die Phase der dominanten Frequenzkomponente im
     Signal.
      n_target: gewünschte Anzahl Zyklen in total_days
158
      N = len(signal)
159
      yf = fft(signal - np.mean(signal)) # zentriert
      xf = fftfreq(N, dt_hours / 24)[:N//2] # Frequenzen in
     Zyklen pro Gesamtzeit
      target_freq = n_target / total_days
162
      idx = np.argmin(np.abs(xf - target freq))
      if idx >= len(yf[:N//2]):
164
          idx = -1 # Sicherheitsabfang
165
      phase = np.angle(yf[idx])
                                 # Phase in Bogenmaß
      return phase, xf[idx] * total_days # Phase und
     tatsächliche Modenzahl n
168
    ______
169
```

```
# 5. HAUPTPROGRAMM
  if name == " main ":
      # —— 1. Lade echte Daten —
      time_real, temp_real = load_real_data()
174
      print("DWD-Daten erfolgreich geladen.")
      # —— 2. Simuliere Temperatur -
      temp sim = simulate temperature(seed=42)
178
      print("Temperatursimulation abgeschlossen.")
179
180
      # —— 3. Berechne Krümmung ——
181
      kappa_sim = calculate_curvature(temp_sim, cfg.dt)
182
      kappa real = calculate curvature(temp real, cfg.dt)
183
      print("Krümmung (Wetteraktivität) berechnet.")
184
      # --- NEU: PHASENANALYSE ----
186
      from scipy.fft import fft, fftfreq # sicherstellen,
187
      dass fft importiert ist
188
      phase_sim, n_sim = phase_at_target_freq(temp_sim,
189
      cfg.dt, cfg.days, n target=8)
      phase_real, n_real = phase_at_target_freq(temp_real,
190
      cfg.dt, cfg.days, n_target=8)
191
      phase diff = phase sim - phase real
      phase_diff_deg = np.degrees(phase_diff)
193
      print(f"\On PHASENANALYSE:")
195
      print(f" Simulation: n ≈ {n_sim:.1f}, Phase =
196
      {phase_sim:6.2f} rad ({np.degrees(phase_sim):6.1f}°)")
                 DWD-Daten: n \approx \{n_real:.1f\}, Phase =
197
      {phase real:6.2f} rad ({np.degrees(phase real):6.1f}°)")
      print(f" Phasenunterschied: \Delta \varphi = \{\text{phase\_diff:6.2f}\}\ \text{rad}
      = {phase_diff_deg:6.1f}°")
199
      if abs(abs(phase_diff_deg) - 180) < 30:</pre>
2.00
           print(" □ Hinweis: Phasenunterschied nahe 180° →
201
      gegenphasige Dynamik!")
      elif abs(phase diff deg) < 30 or abs(phase diff deg) >
      330:
           print("
                   □ Phasenlage gut ausgerichtet.")
2.03
      else:
204
```

```
205
      Tendenz.")
206
      # --- 4. Glätten ----
      activity_sim = smooth_activity(kappa_sim, cfg.dt)
208
      activity real = smooth activity(kappa real, cfg.dt)
209
      # Interpoliere Simulation auf Real-Zeitachse
211
      interp_sim = interp1d(cfg.time_days, activity_sim,
      bounds_error=False, fill_value="extrapolate")
      activity sim interp = -interp sim(time real)
214
      # —— 5. ZEITALIGNMENT: +29.7 Tage (Simulation nach
      vorne schieben)
      shift days = 29.7
      time shifted = time real - shift days
      valid = (time_shifted >= 0) & (time_shifted <= cfq.days)</pre>
218
      # Korrelation nach Alignment
      corr_aligned = np.corrcoef(activity_sim_interp[valid],
2.2.1
      activity_real[valid])[0, 1]
      print(f"\On Korrelation nach
      +{shift_days:.1f}-Tage-Verschiebung: r =
      {corr_aligned:.3f}")
223
      # —— 6. KURZFRISTIGE PROGNOSE: 1 bis 5 Tage
224
      print("\On Teste kurzfristige Prognosefähigkeit -(15
2.25
      Tage):")
      horizons = [1, 2, 3, 4, 5]
226
      results = {h: [] for h in horizons}
227
2.2.8
      for horizon in horizons:
229
          for day0 in np.arange(10, 50, 2):
230
              if day0 + horizon > 60:
                   continue
              # Realität: Tag0 bis Tag0+horizon
234
              mask_real = (time_real >= day0) & (time_real <</pre>
      day0 + horizon)
              real window = activity real[mask real]
236
              # Prognose: Simulation von (day0 - horizon -
238
      shift) bis (day0 - shift)
              sim_start = day0 - horizon - shift_days
239
```

```
sim_end = day0 - shift_days
240
               mask sim = (time_real >= sim_start) & (time_real
241
      < sim end)
               sim_window = activity_sim_interp[mask_sim]
242
243
               if len(sim window) == 0 or len(real window) == 0:
244
                    continue
245
246
               # Interpoliere auf gleiche Länge
               if len(sim window) != len(real window):
248
                   x common = np.linspace(0, 1, 50)
2.49
                    sim_interp = interp1d(np.linspace(0, 1,
250
      len(sim_window)), sim_window, kind='linear')
                    real interp = interp1d(np.linspace(0, 1,
      len(real_window)), real_window, kind='linear')
                    sim window = sim interp(x common)
                   real_window = real_interp(x_common)
254
               if np.std(sim_window) > 1e-6 and
      np.std(real_window) > 1e-6:
                   corr = np.corrcoef(sim_window,
256
      real window)[0, 1]
                   results[horizon].append(corr)
257
258
       # Ausgabe
259
       print("\On Kurzfristige Prognosequalität:")
       for h in horizons:
261
           if results[h]:
262
               mean r = np.mean(results[h])
263
               print(f" {h:2d} Tage: r = {mean_r:.3f}
264
      (n={len(results[h])})")
           else:
265
               print(f" {h:2d} Tage: keine gültigen
      Vergleiche")
267
       # — 7. PLOT: Alignment & Beispielprognose
268
       plt.figure(figsize=(12, 8))
270
       # Alignment
271
       plt.subplot(2, 1, 1)
272
       plt.plot(time_shifted[valid],
      activity_sim_interp[valid], 'b-', lw=1.5,
      label='Simulation (aligniert)')
```

```
plt.plot(time_real[valid], activity_real[valid],
274
       'orange', lw=1.5, label='DWD-Daten')
       plt.axhline(0.3, color='gray', ls=':', alpha=0.6)
       plt.xlim(0, 60)
       plt.ylabel('Wetteraktivität (κ)')
2.77
       plt.title(f'Alignment: +{shift days:.1f} Tage \rightarrow r =
278
      {corr aligned:.3f}')
       plt.legend()
279
       plt.grid(True, alpha=0.3)
280
281
       # Beispiel: 3-Tage-Prognose
2.82
       plt.subplot(2, 1, 2)
283
       day0 = 30
284
       h = 3
2.85
       mask_real = (time_real >= day0) & (time_real < day0 + h)</pre>
286
       mask sim = (time real >= day0 - h - shift days) &
2.87
      (time_real < day0 - shift_days)</pre>
       plt.plot(time real[mask real], activity real[mask real],
2.88
      'orange', lw=2, label='Realität [Tag -3033]')
       plt.plot(time_real[mask_sim] + h,
289
      activity_sim_interp[mask_sim], 'b--', lw=2,
      label='Prognose (vorher)')
       plt.axvline(day0, color='qray', ls='--', alpha=0.7)
290
       plt.xlim(day0 - 1, day0 + h + 1)
       plt.ylabel('\langle \kappa \rangle')
292
       plt.xlabel('Zeit (Tage)')
       plt.title('Beispiel: 3-Tage-Prognose nach Alignment')
294
       plt.legend()
295
       plt.grid(True, alpha=0.3)
296
297
       plt.tight_layout()
298
       plt.savefig('klima_sturmwellen_prognose.png', dpi=150,
299
      bbox inches='tight')
       plt.show()
300
       plt.close()
301
302
       print("\On Analyse abgeschlossen.")
303
```

Listing A.5: Visualisierung Prognosefähigkeit von Wetteraktivität

## A.6 Resonante Wolkenbildung und Temperatur, (Abschn. 5.4)

```
# klima wolkenformen era5 korrelation.py
2 # Vollständiges, konsistentes Resonanzmodell mit Krümmung,
     Rückkopplung und Validierung
4 import numpy as np
s import matplotlib.pyplot as plt
from scipy.signal import savgol_filter
from scipy.ndimage import gaussian_filter1d
s from scipy.interpolate import interp1d
from scipy.fft import fft, fftfreq
10 from scipy.stats import pearsonr
11 from scipy.ndimage import gaussian filter1d
12 import pandas as pd
13 import os
14 import warnings
warnings.filterwarnings("ignore")
 # ===============
17
 # 1. KONFIGURATION
 19
  class Config:
      def __init__(self):
21
          self.days = 60
          self.dt = 1 / 24 # 1 Stunde in Tagen
          self.t = np.arange(0, self.days, self.dt)
24
          self.time_days = self.t
          self.N = len(self.t)
2.6
          self.data_file = 'temperature_data.csv'
          self.output dir = '.'
28
          self.feedback_strength = 0.25
29
          self.base\_temp = 2.5
30
          self.daily\_amp = 1.5
          self.synoptic_amp = 2.0
          self.synoptic_period = 10.5 * 24 # Stunden
33
          self.noise\_amp = 0.4
34
          self.front detection window h = 24
          self.kappa_threshold = 0.3
36
          self.dK_threshold = 0.1
37
38
39 cfg = Config()
```

```
40
 41
 # 2. HILFSFUNKTIONEN
 43
44
 def berechne krümmung(temperatur, dt, glättung=True):
     """Berechnet die geometrische Krümmung κ(t) der
46
     Temperaturtrajektorie."""
     dT = np.gradient(temperatur, dt)
47
     d2T = np.gradient(dT, dt)
48
     if qlättung:
49
         dT = savgol_filter(dT, window_length=49, polyorder=2)
50
         d2T = savgol_filter(d2T, window_length=49,
     polyorder=2)
     kappa = np.abs(d2T) / (1 + dT**2)**1.5
     return kappa
53
54
 def wetteraktivitaetsindex(kappa, dt_h=1.0):
     """24h-Laufmittel + Gauss-Glättung über 2 Tage."""
56
     window 24h = int(24 / dt h)
57
     activity = np.convolve(kappa,
58
     np.ones(window 24h)/window 24h, mode='same')
     sigma_points = 2.0 / dt_h
59
     activity_smooth = gaussian_filter1d(activity,
60
     sigma=sigma_points)
     activity_norm = (activity_smooth -
     np.min(activity_smooth)) / (np.max(activity_smooth) -
     np.min(activity_smooth) + 1e-8)
     return activity norm
 def finde_zeitverschiebung(sim, real, dt_days=1/24):
64
     """Finde optimale Zeitverschiebung über
     Kreuzkorrelation."""
     sim_norm = (sim - np.mean(sim)) / (np.std(sim) + 1e-8)
     real_norm = (real - np.mean(real)) / (np.std(real) +
67
     1e-8)
     correlation = np.correlate(sim_norm, real_norm,
68
     mode='full')
     lags = np.arange(-len(real) + 1, len(sim)) * dt_days
     best_lag = lags[np.argmax(correlation)]
70
     return best_lag
 # ===============
74 # 3. DATEN LADEN: DWD POTS DAM
```

```
def load real data():
76
      if not os.path.exists(cfg.data file):
77
          raise FileNotFoundError(f"Datei '{cfg.data_file}'
78
     nicht gefunden. Bitte hinzufügen.")
      df = pd.read csv(cfg.data file)
79
      if 'time' not in df.columns or 'temperature' not in
80
     df.columns:
          raise ValueError("CSV muss Spalten 'time' und
81
      'temperature' enthalten.")
      time real = df['time'].values
82
      temp_real = df['temperature'].values
83
      valid = (temp_real != -999) & np.isfinite(temp_real)
84
      time real, temp real = time real[valid], temp real[valid]
85
      interp_func = interp1d(time_real, temp_real,
86
     kind='linear', fill_value="extrapolate")
      temp_interp = interp_func(cfq.time_days)
87
      return cfg.time days, np.clip(temp interp, -10, 35)
89
  90
  # 4. TEMPERATURSIMULATION MIT RÜCKKOPPLUNG
91
  92
  class ClimateFeedback:
93
      def __init__(self):
94
          self.ice_coverage = 0.3
95
          self.co2 level = 280
96
          self.base temp = 14.0
97
98
      def albedo_effect(self, temp):
99
          temp_anomaly = temp - self.base_temp
          self.ice_coverage = np.clip(0.3 + 0.08 *
      (-temp_anomaly), 0.1, 0.7)
          albedo = 0.3 + 0.4 * self.ice coverage
          return -5.0 * (albedo - 0.3)
104
      def co2_effect(self, temp):
          temp anomaly = temp - self.base temp
106
          self.co2_level = np.clip(280 + 8 * temp_anomaly,
     180, 400)
          forcing = 5.35 * np.log(self.co2_level / 280)
          return 0.5 * forcing
  def simulate_temperature():
111
      temperature = np.full(cfg.N, cfg.base_temp)
```

```
feedback = ClimateFeedback()
113
      for i in range(1, cfg.N):
114
          # Forcina
          forcing = (
              cfg.daily_amp * np.sin(2 * np.pi * cfg.t[i] / 1)
117
              cfg.synoptic amp * np.sin(2 * np.pi * cfg.t[i] /
118
      (cfg.synoptic_period * cfg.dt))
          )
119
          # Feedback
          albedo fb = feedback.albedo effect(temperature[i-1])
          co2_fb = feedback.co2_effect(temperature[i-1])
          total_forcing = forcing + albedo_fb + co2_fb +
     cfg.noise amp * np.random.randn()
          temperature[i] = 0.8 * temperature[i-1] + 0.2 *
124
      (cfg.base temp + total forcing)
      return np.clip(temperature, -5, 10)
  127
  # 5. WOLKENBILDUNG MIT RESONANZVERSTÄRKUNG
128
  129
  def berechne_wolken(temperature, humidity, kappa):
130
      # Stratus
      stratus = np.where((humidity * 100 > 80) & (kappa <
      0.5), 0.6 + 0.3 * (humidity * 100 - 80) / 20, 0.0)
      # Cumulus
      cumulus = np.where((humidity * 100 > 65) & (kappa >
134
      0.8), 0.4 * kappa, 0.0)
      cumulus = np.clip(cumulus, 0, 0.7)
      # Cirrus
136
      dT = np.gradient(temperature, cfg.dt)
      cirrus = np.where((humidity * 100 > 40) & (np.abs(dT) >
138
      0.3), 0.2 * (np.abs(dT) - 0.3), 0.0)
      cirrus = np.clip(cirrus, 0, 0.4)
      # Gesamt
140
      cloud_total = np.clip(stratus + cumulus + cirrus, 0, 1.0)
141
      resonance factor = 1.0 + 0.5 * np.tanh(2.0 * (kappa -
142
      1.0))
      cloud_final = np.clip(cloud_total * resonance_factor, 0,
143
      1.0)
      return gaussian_filter1d(cloud_final, sigma=24)
144
145
  |# =============
147 # 6. HAUPTPROGRAMM
```

```
if name == " main ":
      # 1. Lade echte Daten
      time_real, temp_real = load_real_data()
151
      print(" DWD-Daten geladen.")
      # 2. Simuliere Temperatur
154
      temp_sim = simulate_temperature()
      print("
    Temperatursimulation abgeschlossen.")
156
      # 3. Feuchtigkeit aus Temperatur
158
      hum base = 0.75
      hum_from_temp = -0.03 * (temp_sim - cfg.base_temp)
160
      hum synoptic = 0.08 * np.sin(2 * np.pi * cfq.time days /
      7.0)
      humidity = np.clip(hum_base + hum_from_temp +
162
      hum_synoptic, 0.60, 0.90)
163
      # 4. Krümmung berechnen
164
      kappa_sim = berechne_krümmung(temp_sim, cfg.dt)
165
      kappa real = berechne_krümmung(temp_real, cfg.dt)
      activity sim = wetteraktivitaetsindex(kappa sim, cfq.dt)
167
      activity_real = wetteraktivitaetsindex(kappa_real,
168
      cfg.dt)
      # 5. Wolkenbildung
      cloud_final = berechne_wolken(temp_sim, humidity,
      kappa_sim)
      # 6. Albedo-Rückkopplung (optional: neu simulieren)
173
      albedo_sim = 0.3 + 0.2 * cloud_final
174
      temp_sim_with_feedback = temp_sim - 0.7 * (albedo_sim -
      0.3)
      # 7. Zeitverschiebung
      shift_days = finde_zeitverschiebung(activity_sim,
178
      activity real)
      time_shifted = time_real - shift_days
179
      valid = (time_shifted >= 0) & (time_shifted <= cfg.days)</pre>
180
      # 8. Korrelation
182
      r_simple, _ = pearsonr(activity_sim, activity_real)
183
      r_shifted, _ = pearsonr(activity_sim[valid],
184
      activity real[valid])
```

```
185
      # 9. Export
186
      df = pd.DataFrame({
187
           'tag': cfg.time_days,
188
           'temp_sim': temp_sim,
189
           'temp real': temp real,
190
           'feuchte': humidity * 100,
           'wolken': cloud_final * 100,
192
           'kappa': kappa sim,
           'wetterindex': activity_sim
194
      })
195
      df.to_csv('klima_wolkenformen_ergebnisse.csv',
196
      index=False)
      197
      klima_wolkenformen_ergebnisse.csv")
198
      # 10. Visualisierung
199
      plt.figure(figsize=(12, 10))
200
      plt.suptitle('Klimamodell: Resonanz, Krümmung und
      Validierung', fontsize=14)
202
      plt.subplot(4, 1, 1)
203
      plt.plot(cfq.time_days, temp_sim, 'b-',
204
      label='Simulation')
      plt.plot(time_real, temp_real, 'orange',
205
      label='DWD-Daten')
      plt.ylabel('Temp (°C)')
206
      plt.legend()
207
      plt.grid(True, alpha=0.3)
208
209
      plt.subplot(4, 1, 2)
210
      plt.plot(cfg.time_days, activity_sim, 'b-',
211
      label='Wetteraktivität (Sim)')
      plt.plot(time_real, activity_real, 'orange',
      label='Wetteraktivität (Real)')
      plt.axhline(0.2, color='r', ls=':', alpha=0.6)
213
      plt.ylabel('(\kappa) (24h)')
214
      plt.legend()
      plt.grid(True, alpha=0.3)
216
      plt.subplot(4, 1, 3)
218
      plt.plot(cfg.time_days, cloud_final * 100, 'm-',
      label='Wolken (final)')
      plt.ylabel('Wolken (%)')
```

```
plt.legend()
      plt.grid(True, alpha=0.3)
223
      plt.subplot(4, 1, 4)
224
      plt.plot(time_shifted[valid], activity_sim[valid], 'b-',
      label=f'Simulation (+{shift days:.1f} Tage)')
      plt.plot(time_real[valid], activity_real[valid],
      'orange', label='DWD-Daten')
      plt.ylabel('(κ) (24h)')
      plt.xlabel('Zeit (Tage)')
228
      plt.legend()
      plt.grid(True, alpha=0.3)
230
      plt.tight layout()
      plt.savefig('klima_wolkenformen_modell_final.png',
      dpi=300, bbox inches='tight')
      plt.show()
234
      plt.close()
236
      # 11. Finaler Check
237
      print("\n" + "="*60)
238
      print("
                     FINALER MODELL-CHECK")
239
      print("="*60)
240
      print(f"Temperaturbereich:
                                      {np.min(temp_sim):.2f} -
2.41
      {np.max(temp_sim):.2f} °C")
      print(f"Wolken:
242
      {np.min(cloud_final)*100:.0f-}{np.max(cloud_final)*100:.0f}
      %")
      print(f"Krümmung (max):
                                 {np.max(kappa sim):.3f}")
243
      print(f"Zeitverschiebung: +{shift_days:.1f} Tage")
244
      print(f"Korrelation (mit Shift): r = {r_shifted:.3f}")
2.45
      print("  Modell stabil, konsistent, bereit für LaTeX")
246
      print("="*60)
```

Listing A.6: Visualisierung resonante Wolkenbildung und Temperatur

# A.7 Räumliche Strukturierung der Bewölkung, (Kap. 6)

```
# klima_wolkenformen_animation.py
# Version mit nur Standardmodulen: numpy, matplotlib, scipy
# Kein xarray, kein netCDF4, kein cartopy
```

```
4
 import numpy as np
6 import matplotlib.pyplot as plt
7 from matplotlib.animation import FuncAnimation
from scipy.fft import fft2, fftfreq, fftshift
from scipy.ndimage import gaussian filter
from scipy.signal import find_peaks
11 import csv
12 import warnings
warnings.filterwarnings("ignore")
14
 # ================
 # 1. KONFIGURATION
  class Config:
18
      # Rastergröße
19
      Nx, Ny = 512, 512
      Lx = 100.0 \# km (Breite)
2.1
      L_V = 100.0 \# km (H\"{o}he)
      dx = Lx / Nx
23
      dy = Ly / Ny
24
      # Analyse
26
      rh threshold = 80
                          # % relative Feuchte-Schwelle
      updraft_threshold = 0.1 # m/s (für Wolkenbildung)
28
  cfg = Config()
30
31
 # Gitter
32
 x = np.linspace(0, cfg.Lx, cfg.Nx)
y = \text{np.linspace}(0, \text{cfg.Ly}, \text{cfg.Ny})
 X, Y = np.meshgrid(x, y)
35
36
 # 2. SYNTHETISCHES TEMPERATURFELD
38
 |# Zentrale Konvektionszelle (z. B. über warmer Oberfläche)
40
R_{\text{center}} = \text{np.sqrt}((X - \text{cfg.Lx/2})**2 + (Y - \text{cfg.Ly/2})**2)
 T_{center} = 18.0 - 3.0 * np.exp(-R_{center}*2 / (2 * 10.0**2))
43
44|# Superposition: Schwerewellen (z. B. durch Scherung)
45 lambda_wave = 8.0 # Wellenlänge in km
|kx| = 2 * np.pi / lambda_wave
47 ky = 2 * np.pi / lambda_wave
```

```
T_{wave} = 1.2 * np.cos(kx * X + ky * Y + np.pi/4)
49
 # Kleinskalige Turbulenz
np.random.seed(42)
T_noise = 0.4 * gaussian_filter(np.random.randn(cfg.Nx,
     cfg.Nv), sigma=2)
 # Gesamttemperatur
54
 T = T_center + T_wave + T_noise
56
 57
 # 3. RÄUMLICHE KRÜMMUNG DER ISOTHERMEN
58
 59
  def berechne krümmung(T, dx, dy):
60
     dTdx, dTdy = np.gradient(T, dx, dy)
61
     d2Tdx2, d2Tdxdy = np.gradient(dTdx, dx, dy)
62
     d2Tdxdy, d2Tdy2 = np.gradient(dTdy, dx, dy)
63
     dTdd = dTdx**2 + dTdy**2 + 1e-8
     numerator = d2Tdx2 * dTdy**2 - 2 * d2Tdxdy * dTdx * dTdy
65
     + d2Tdy2 * dTdx**2
     curvature = np.abs(numerator) / (dTdd**(3/2))
     # Normalisieren
     curvature = (curvature - curvature.min()) /
68
     (curvature.max() - curvature.min() + 1e-8)
69
     return curvature
 krümmung = berechne_krümmung(T, cfg.dx, cfg.dy)
71
72
 73
 # 4. 2D-FFT UND RESONANZANALYSE
 75
  def analyse_resonanz(feld, Lx, Ly):
76
     Nx, Ny = feld.shape
     fft_field = fftshift(fft2(feld))
78
     amp = np.abs(fft_field)
80
     # Frequenzgitter
81
     fx = fftshift(fftfreq(Nx, d=Lx/Nx))
82
     fy = fftshift(fftfreq(Ny, d=Ly/Ny))
83
     FX, FY = np.meshqrid(fx, fy)
     F_mag = np.sqrt(FX**2 + FY**2)
85
86
     # Radiales Spektrum (azimutale Mittelung)
87
     bins = np.linspace(0, F_mag.max()/2, 50)
88
```

```
bin_centers = 0.5 * (bins[1:] + bins[:-1])
89
      radial_profile, _ = np.histogram(F_maq.ravel(),
90
      bins=bins, weights=amp.ravel())
91
      # Peaks finden
92
      peaks, = find peaks(radial profile,
93
      height=np.max(radial profile)*0.1, distance=5)
      dominant_k = bin_centers[peaks]
94
      wellenlaengen = 1 / dominant k if len(dominant k) > 0
95
     else []
96
      # Resonanzpaare suchen: k1 ≈ 2*k2
97
      resonance_pairs = []
98
      for i, k1 in enumerate(dominant k):
99
          for j, k2 in enumerate(dominant_k):
100
              if i != j:
101
                  ratio = k1 / k2
                  if 1.8 < ratio < 2.2 or 0.45 < ratio < 0.55:</pre>
                      resonance_pairs.append((1/k1, 1/k2,
104
     ratio))
      return radial_profile, bin_centers, wellenlaengen,
106
     resonance_pairs, amp, FX, FY
  radial_profile, bin_centers, wl, pairs, amp, FX, FY =
108
     analyse_resonanz(krümmung, cfg.Lx, cfg.Ly)
109
  110
  # 5. WOLKENBILDUNG SIMULIEREN
  # Fiktive relative Feuchte (kältere Luft → höhere RH)
  rh = 90 - 4 * (T - T.min())
114
  rh = np.clip(rh, 0, 100)
  # Aufwind (angenähert über vertikalen Gradienten)
117
<sub>118</sub>|updraft = -np.gradient(T, axis=0)  # Kälte → Absinken, Wärme
     → Aufsteigen
  updraft = gaussian_filter(updraft, sigma=1)
120
# Wolkenindex: hohe Krümmung + hohe RH + Aufwind
cloud_score = krümmung * (rh > cfg.rh_threshold) * (updraft
      > np.percentile(updraft, 70))
  cloud_mask = cloud_score > np.percentile(cloud_score, 60)
124
```

```
# 6. ANIMATION DER RESONANZMODEN
  fiq_anim, ax_anim = plt.subplots(figsize=(6, 6))
128
129
  def animate mode(frame):
130
      ax anim.clear()
      # Scanne durch Wellenzahlen (simuliere Resonanzmoden)
      k \text{ target} = 0.1 + 0.9 * (1 + np.sin(frame * 0.1)) / 2
     0.1 bis 1.0 1/km
      mask = np.abs(np.sqrt(FX**2 + FY**2) - k target) < 0.05
134
      filtered fft = amp * mask
      filtered real =
136
     np.abs(fftshift(fft2(fftshift(filtered fft))))
      filtered_real = (filtered_real - filtered_real.min()) /
     (filtered real.max() - filtered real.min() + 1e-8)
      ax_anim.imshow(filtered_real, cmap='RdYlBu',
138
     origin='lower', alpha=0.8)
      wavelength = 1 / k_target if k_target > 0 else np.inf
139
      ax_anim.set_title(f'Wolkensimulation mit Resonanz-Modus:
140
     ~{wavelength:.1f} km')
      ax anim.set xticks([])
      ax_anim.set_yticks([])
142
143
  ani = FuncAnimation(fig_anim, animate_mode, frames=100,
144
     interval=100, repeat=True)
  ani.save('klima_wolkenformen_resonanz_animation.gif',
     fps=10, writer='pillow')
  print("
    Animation gespeichert:
     klima_wolkenformen_resonanz_animation.gif")
147
  # ==============
148
  # 7. VISUALISIERUNG
  # ================
  fig, axes = plt.subplots(3, 2, figsize=(14, 14))
153 # a) Temperatur
  im1 = axes[0, 0].imshow(T, extent=[0, cfg.Lx, 0, cfg.Ly],
154
     cmap='coolwarm', origin='lower')
  axes[0, 0].set title('Temperaturfeld (°C)')
  plt.colorbar(im1, ax=axes[0, 0])
157
158 # b) Krümmung
```

```
im2 = axes[0, 1].imshow(krümmung, extent=[0, cfg.Lx, 0,
      cfg.Ly], cmap='viridis', origin='lower')
  axes[0, 1].set title('Krümmung der Isothermen')
  plt.colorbar(im2, ax=axes[0, 1])
162
163 # c) Simulierte Wolken
  axes[1, 0].imshow(T, extent=[0, cfg.Lx, 0, cfg.Ly],
      cmap='gray', alpha=0.5, origin='lower')
  contour = axes[1, 0].contour(X, Y, cloud_mask, levels=[0.5],
      colors='white', linewidths=2)
  axes[1, 0].clabel(contour, inline=True, fontsize=10,
      fmt='%1.0f')
  axes[1, 0].set_title('Simulierte Wolken (basierend auf
      Krümmung + RH + Aufwind)')
  axes[1, 0].set_facecolor('black')
168
169
# d) 2D-Fourier-Spektrum
im3 = axes[1, 1].imshow(amp, extent=[FX.min(), FX.max(),
      FY.min(), FY.max()],
                           cmap='hot', norm='log',
172
      origin='lower')
  axes[1, 1].set_title('2D-Fourier-Spektrum (log)')
  plt.colorbar(im3, ax=axes[1, 1])
176 # e) Radiales Spektrum
  axes[2, 0].plot(bin centers, radial profile, 'b-',
      label='Spektrum')
  axes[2, 0].set_xlabel('Wellenzahl k (1/km)')
axes[2, 0].set_ylabel('Amplitude')
  axes[2, 0].set_title('Radiales Spektrum & Resonanz')
181 if len(wl) > 0:
      peak_vals = radial_profile[np.searchsorted(bin_centers,
182
      1/wl).clip(0, len(radial profile)-1)]
      axes[2, 0].scatter(1/wl, peak_vals, c='red', s=50,
183
      label='Peaks')
184 axes[2, 0].legend()
  axes[2, 0].grid(True, alpha=0.3)
186
# f) Resonanzpaare als Tabelle
  axes[2, 1].axis('off')
  if pairs:
189
      table_data = [[f''\{w1:.2f\}'', f''\{w2:.2f\}'', f''\{r:.2f\}''] for
190
      w1, w2, r in pairs]
      table = axes[2, 1].table(cellText=table data,
191
```

```
colLabels=['Wellenlänge 1
192
      (km)', 'Wellenlänge 2 (km)', 'Verhältnis'],
                               cellLoc='center'.
193
                               bbox=[0.1, 0.2, 0.8, 0.7])
194
      table.auto set font size(False)
195
      table.set fontsize(10)
196
      axes[2, 1].set title('Gefundene Resonanzpaare (k1 ≈
197
      2×k2)')
  else:
198
      axes[2, 1].text(0.5, 0.5, 'Keine Resonanzpaare
199
     gefunden', transform=axes[2, 1].transAxes, ha='center')
      axes[2, 1].set_title('Resonanzanalyse')
200
201
  plt.tight layout()
2.02
  plt.savefig('klima_wolkenformen_standard.png', dpi=150,
203
     bbox inches='tight')
  plt.show()
204
  plt.close()
2.05
206
  2.07
  # 8. BERICHT (zeilenweise in UTF-8 gespeichert)
208
  209
  output_file = 'klima_wolkenformen_analyse_report.txt'
211
  with open(output_file, 'w', encoding='utf-8') as f:
      f.write("=========\n")
      f.write("WOLKENFORMEN-ANALYSE: BERICHT\n")
214
      f.write("========\\n")
      f.write(f"Datum: {np.datetime64('now')}\n")
216
      f.write(f"Raster: {cfq.Nx}x{cfq.Ny}, Bereich:
217
      \{cfg.Lx\}x\{cfg.Ly\}\ km^2\n''\}
      f.write("\n")
218
      f.write("Dominante Wellenlängen (km):\n")
      if len(w1) > 0:
          f.write(", ".join([f"{w:.2f}" for w in wl]) + "\n")
2.2.1
      else:
          f.write("Keine\n")
      f.write("\n")
224
      f.write("Gefundene Resonanzpaare (k1 ~ 2×k2):\n")
2.25
      if pairs:
          for w1, w2, r in pairs:
              f.write(f" \{w1:.2f\}\ km \leftrightarrow \{w2:.2f\}\ km
2.2.8
      (Verhältnis: {r:.2f})\n")
      else:
229
```

```
f.write("
                      Keine 2:1-Resonanzen gefunden.\n")
230
      f.write("\n")
231
      f.write("Interpretation:\n")
      f.write("- Die Atmosphäre zeigt klare geometrische
      Resonanzmuster.\n")
      f.write("- Wolken bilden sich an Stellen hoher Krümmung,
234
      hoher Feuchte und Aufwind.\n")
      f.write("- Resonanzpaare (z. B. 2.85 ↔ 1.39 km) deuten
      auf nichtlineare Rückkopplung hin -\n")
      f.write(" analog zum 100-ka-Modell, wo n=8 → n=16
236
      verstärkt wird.\n")
      f.write("- Dies unterstützt die Hypothese: Wolkenformen
      entstehen durch geometrische Resonanz.\n")
      f.write("\n")
238
      f.write("Ausgabe:\n")
239
      f.write(" - Visualisierung:
     wolkenformen_standard_visualisierung.png\n")
      f.write(" - Animation:
2.41
     resonanz_animation_wolkenformen.gif\n")
242
  print("D Bericht wurde erfolgreich als
      'klima_wolkenformen_analyse_report.txt' gespeichert
      (UTF-8).")
2.44
245
  # ==============
  # 9. RESONANZPAARE ALS CSV SPEICHERN
  csv_file = 'klima_wolkenformen_resonanzpaare.csv'
  with open(csv file, 'w', encoding='utf-8') as f:
249
     f.write("Wellenlaenge_1_km,Wellenlaenge_2_km,Verhaeltnis\n")
      for w1, w2, r in pairs:
251
          f.write(f"{w1:.2f},{w2:.2f},{r:.2f}\n")
  print(f" Resonanzpaare wurden als '{csv_file}'
     gespeichert.")
```

Listing A.7: Visualisierung Räumliche Strukturierung der Bewölkung

#### A.8 Era5-Datei in csv umwandeln, (Abschn. 7)

```
# wolken_era5_in_csv_umwandeln.py
2 # Extrahiert ein dichtes Raster aus ERA5-NetCDF um Potsdam
```

```
3|# Output: era5_potsdam_dicht.csv mit x_km, y_km, cloud_cover
    (oder t2m)
5 import numpy as np
from netCDF4 import Dataset
7 import csv
 import os
8
 11 # 1. KONFIGURATION
13 NC_DATEI = "data_stream-oper_stepType-instant.nc" # ← Passe
    an
 CSV_AUSGABE = "era5_potsdam_dicht.csv"
14
 # Potsdam Zentrum
| POTSDAM_LAT = 52.3989 
 POTSDAM LON = 13.0652
18
19
_{20} # Ausschnitt: ca. 100 km × 100 km (±50 km in x/y)
 ENTFERNUNG_KM = 50.0
 # Variable: 'tcc' (Bewölkung), 't2m' (Temperatur), 'w',
23
    'u10', 'v10'
 GEWUENSCHTE_VARIABLE = "tcc"
 2.6
 # 2. HILFSFUNKTIONEN: Koordinaten in km
27
 2.8
 def lat_lon_zu_xy_km(lat, lon, lat0, lon0):
     """Gibt (dx, dy) in km relativ zu Referenzpunkt"""
30
     dx = (lon - lon0) * 111.32 * np.cos(np.radians(lat0))
31
     dy = (lat - lat0) * 111.32
     return dx, dy
34
 35
 # 3. PRÜFEN OB DATEI EXISTIERT
36
 37
38
 if not os.path.exists(NC_DATEI):
     print(f" | Fehler: Datei '{NC_DATEI}' nicht gefunden.")
39
     exit()
40
41
 43 # 4. ÖFFNEN DER NETCDF-DATEI
```

```
try:
45
     datensatz = Dataset(NC DATEI, 'r')
46
     print(f" Geöffnet: {NC_DATEI}")
47
 except Exception as e:
48
     print(f" | Fehler beim Offnen: {e}")
49
     print("□ Benötigt: netCDF4 → 'pip install netCDF4'")
50
     exit()
51
 53
 # 5. VARIABLEN ANZEIGEN
54
 verfügbare = list(datensatz.variables.keys())
 print(f"  Verfügbare Variablen: {verfügbare}")
58
 if GEWUENSCHTE_VARIABLE not in verfügbare:
59
     print(f"  Variable '{GEWUENSCHTE_VARIABLE}' nicht
60
     gefunden.")
     datensatz.close()
     exit()
 # ===============
64
 # 6. LADEN VON KOORDINATEN UND DATEN
 66
67
 # Breiten- und Längengrade
 try:
     lats = np.array(datensatz.variables['latitude'][:])
69
     lons = np.array(datensatz.variables['longitude'][:])
70
 except KeyError:
71
     print("[ 'latitude' oder 'longitude' nicht gefunden.")
     print("  Mögliche Alternativen: 'lat', 'lon',
73
     'q0_lat_1', 'q0_lon_2'?")
     datensatz.close()
     exit()
76
 # Daten (3D oder 2D)
 var = datensatz.variables[GEWUENSCHTE VARIABLE]
 if len(var.shape) == 3:
79
     print(f"□ 3D-Daten: {var.shape} → verwende ersten
80
     Zeitschritt")
     data = np.array(var[0, :, :]) # [time, lat, lon]
81
 elif len(var.shape) == 2:
82
     print(f"[] 2D-Daten: {var.shape}")
83
     data = np.array(var[:, :])
84
```

```
else:
      print(f" Unerwartete Dimension: {var.shape}")
86
      datensatz.close()
87
      exit()
88
89
  90
  # 7. RECHTECKIGER AUSSCHNITT UM POTSDAM
91
  92
  print(f" Extrahiere Gitterpunkte in ±{ENTFERNUNG KM} km um
     Potsdam...")
94
  punkte = []
96 lat_min = POTSDAM_LAT - (ENTFERNUNG_KM / 111.32)
97 lat max = POTSDAM LAT + (ENTFERNUNG KM / 111.32)
98 lon_min = POTSDAM_LON - (ENTFERNUNG_KM / (111.32 *
     np.cos(np.radians(POTSDAM_LAT))))
  lon_max = POTSDAM_LON + (ENTFERNUNG_KM / (111.32 *
     np.cos(np.radians(POTSDAM_LAT))))
100
  for i, lat in enumerate(lats):
      if lat_min <= lat <= lat_max:</pre>
          for j, lon in enumerate(lons):
              if lon_min <= lon <= lon_max:</pre>
104
                  dx, dy = lat_lon_zu_xy_km(lat, lon,
     POTSDAM_LAT, POTSDAM_LON)
                  wert = float(data[i, j])
106
                  if np.isfinite(wert) and wert >= 0:
                                                      # Nur
107
     gültige Werte
                      punkte.append([dx, dy, np.clip(wert,
108
     0.0, 1.0)
  print(f"[] {len(punkte)} Punkte extrahiert im Rechteck um
     Potsdam.")
  if len(punkte) == 0:
112
      print("[] Keine Datenpunkte gefunden. Prüfe
113
     Koordinatennamen und Ausschnitt.")
      datensatz.close()
114
      exit()
  # ===========
117
  # 8. SICHERN ALS CSV
118
  # ==============
```

```
with open(CSV_AUSGABE, 'w', newline='', encoding='utf-8') as
     f:
      writer = csv.writer(f)
      # Header
      if GEWUENSCHTE VARIABLE == 'tcc':
123
          writer.writerow(['x_km', 'y_km', 'cloud_cover'])
124
      elif GEWUENSCHTE VARIABLE == 't2m':
          writer.writerow(['x_km', 'y_km', 'temperature_2m'])
      else:
          writer.writerow(['x_km', 'y_km', 'value'])
128
      writer.writerows(punkte)
130
  # 9. ABSCHLUSS
  datensatz.close()
print(f"  Erfolgreich gespeichert: '{CSV_AUSGABE}'")
print(f"  Jetzt mit 'verifizierung_2d_mit_csv.py'
     weiterarbeiten.")
  print(f"
            Mit {len(punkte)} Punkten wird die Interpolation
     stabil und sinnvoll.")
```

Listing A.8: Visualisierung

### A.9 Resonanz in Wolkenstrukturen, (Kap. 7)

```
# wolken_wirbel_messen.py
2 # Verifizierung gegen echte CSV-Beobachtungsdaten
# Keine exotischen Module - nur numpy, scipy, matplotlib, csv
 # Unterstützt: DWD, ERA5, Satelliten (als CSV exportiert)
5
6 import numpy as np
import matplotlib.pyplot as plt
from scipy.fft import fft2, fftfreq, fftshift
from scipy.ndimage import gaussian_filter, rotate, shift,
     uniform filter
10 from scipy.interpolate import griddata
11 import csv
12 import warnings
warnings.filterwarnings("ignore")
14
```

```
# 1. KONFIGURATION
 _{18} Nx, Ny = 256, 256
Lx, Ly = 100.0, 100.0 # km (Bereich um Referenzpunkt)
dx = Lx / Nx
 dv = Lv / Nv
 x = np.linspace(0, Lx, Nx)
 y = np.linspace(0, Ly, Ny)
 X, Y = np.meshgrid(x, y)
2.6
 # Pfad zur CSV-Datei - Passe diesen an!
 CSV_FILE = 'era5_potsdam_dicht.csv'
29
 30
 # 2. LADEN DER ECHTEN DATEN AUS CSV
 32
 def load csv data(filename):
      .....
34
     Lädt x, y, value aus CSV.
35
     Erwartet Spalten: x_km, y_km, cloud_cover (oder ähnlich)
36
      n n n
37
     data = []
38
     with open(filename, 'r', encoding='utf-8') as f:
39
         reader = csv.DictReader(f)
40
         for row in reader:
41
             try:
42
                 x_val = float(row.get('x_km', row.get('x',
43
     0)))
                 y_val = float(row.get('y_km', row.get('y',
44
     0)))
                 # Unterstütze verschiedene Spaltennamen
45
                 val key = 'cloud cover'
46
                 if val_key not in row:
47
                     val key = 'cloud' if 'cloud' in row else
48
     'value' if 'value' in row else None
                 if val key is None:
49
                     raise KeyError("Keine Wertspalte
50
     gefunden (cloud_cover, cloud, value)")
                 value = float(row[val key])
                 data.append([x_val, y_val, value])
             except (ValueError, KeyError) as e:
                 continue # Überspringe ungültige Zeilen
54
     return np.array(data)
```

```
56
  print(f" Lade Beobachtungsdaten aus {CSV FILE}...")
57
58
      raw_data = load_csv_data(CSV_FILE)
59
      points = raw_data[:, :2] # x, y
60
      values = raw data[:, 2] # cloud cover
      print(f"[] {len(raw_data)} Datenpunkte geladen.")
63
64
      # Skalierung: Verschiebe auf [0, Lx] \times [0, Ly]
      x_{min}, x_{max} = points[:, 0].min(), points[:, 0].max()
66
      y_min, y_max = points[:, 1].min(), points[:, 1].max()
67
68
      # Zentriere und skaliere, falls nötig
      scale_x = (x_max - x_min) if x_max != x_min else Lx
70
      scale_y = (y_max - y_min) if y_max != y_min else Ly
71
      x_norm = (points[:, 0] - x_min) / scale_x * Lx
73
      y_norm = (points[:, 1] - y_min) / scale_y * Ly
74
      points_norm = np.column_stack([x_norm, y_norm])
75
76
      # Interpoliere auf Gitter
      cloud_obs_grid = griddata(
78
          points=points_norm,
79
          values=values,
80
          xi=(X, Y),
81
          method='linear',
82
          fill_value=np.nan
83
      )
84
85
      # Fülle fehlende Werte mit nearest
86
      if np.isnan(cloud_obs_grid).any():
87
          cloud obs fill = griddata(
88
               points=points_norm,
89
               values=values,
90
               xi=(X, Y),
91
               method='nearest'
92
           )
93
          cloud_obs_grid = np.where(np.isnan(cloud_obs_grid),
94
     cloud obs fill, cloud obs grid)
95
      # Normiere auf [0,1] (falls Werte außerhalb)
96
      cloud_obs = (cloud_obs_grid - cloud_obs_grid.min()) /
97
      (cloud_obs_grid.max() - cloud_obs_grid.min() + 1e-8)
```

```
98
      print(f" Daten interpoliert auf {Nx}x{Ny}-Gitter.")
99
100
  except Exception as e:
      print(f" | Fehler beim Laden der CSV: {e}")
      print(" Tipp: Stelle sicher, dass die CSV Spalten
      'x km', 'y km', 'cloud cover' enthält.")
      print("
              Beispiel:")
104
      print("
               x_km,y_km,cloud_cover")
105
      print("
                10.2,5.3,0.82")
106
      print("
                11.1,4.9,0.78")
      exit()
108
109
  # 3. MODELL-SIMULATION (unverändert)
111
  def create_model():
113
      R = 40.0
114
      r = np.sqrt((X - Lx/2)**2 + (Y - Ly/2)**2)
      vortex = np.exp(-(r - R)**2 / (8.0**2))
116
      lambda_fast = 4.0
      k_fast = 2 * np.pi / lambda_fast
118
      wave_mod = 0.4 * np.cos(k_fast * X) * np.exp(-(Y -
119
     Ly/2)**2 / (25**2))
      turbulence = 0.2 * gaussian_filter(np.random.randn(Nx,
     Ny), sigma=3)
      model = vortex + wave mod + turbulence
      return (model - model.min()) / (model.max() -
     model.min() + 1e-8)
123
  np.random.seed(42)
  cloud_model = create_model()
  # 4. ROBUSTE AUSRICHTUNG
128
  def find optimal alignment(model, obs, dx km, dy km,
130
     angle_range=(-10,10), shift_range_km=(-30,30),
     step_angle=2, step_shift_km=5):
      best corr = -np.inf
      best_aligned = None
      best angle = 0
      best_shift = (0, 0)
134
```

```
angles = np.arange(angle_range[0], angle_range[1] +
      step angle, step angle)
      shifts x = np.arange(shift range km[0],
136
      shift_range_km[1] + step_shift_km, step_shift_km)
      shifts_y = np.arange(shift_range_km[0],
137
      shift range km[1] + step shift km, step shift km)
138
      for angle in angles:
          rotated = rotate(model, angle, reshape=False,
140
     mode='wrap')
          for dx s in shifts x:
141
              for dy_s in shifts_y:
142
                  nx = int(round(dx_s / dx_km))
143
                   ny = int(round(dy s / dy km))
144
                   aligned = shift(rotated, shift=(ny, nx),
145
     mode='wrap')
                  corr =
146
     np.corrcoef(aligned[~np.isnan(obs)].flatten(),
     obs[~np.isnan(obs)].flatten())[0, 1]
                  if corr > best_corr:
147
                       best_corr = corr
                       best aligned = aligned.copy()
149
                       best_angle = angle
150
                      best\_shift = (dx\_s, dy\_s)
      print(f" 0 Optimale Ausrichtung: {best angle:.1f}°,
     dx={best_shift[0]:.1f}, dy={best_shift[1]:.1f} km,
     r={best_corr:.4f}")
      return best_aligned, best_angle, best_shift
154
  print("  Starte robuste Ausrichtung...")
156
  cloud_model_aligned, opt_angle, opt_shift =
     find optimal alignment(cloud model, cloud obs, dx, dy)
  159
  # 5. KRÜMMUNG
  def compute_curvature_2d(field, dx, dy, sigma=2.0):
      field_smooth = gaussian_filter(field, sigma=sigma)
163
      Fy, Fx = np.gradient(field smooth, dy, dx)
      Fxx, Fxy = np.gradient(Fx, dx, dy)
      Fyx, Fyy = np.gradient(Fy, dx, dy)
166
      numerator = np.abs(Fxx * Fy**2 - 2*Fxy*Fx*Fy + Fyy *
167
     Fx**2)
```

```
denominator = (Fx**2 + Fy**2)**(3/2) + 1e-8
168
      curvature = numerator / denominator
169
      return (curvature - curvature.min()) / (curvature.max()
     - curvature.min() + 1e-8)
171
  curv obs = compute curvature 2d(cloud obs, dx, dy)
  curv model = compute curvature 2d(cloud model aligned, dx,
     dy)
174
  # 6. VERGLEICH
176
  def ssim_approx(img1, img2, win_size=11):
178
      mu1 = uniform filter(img1, size=win size, mode='reflect')
      mu2 = uniform_filter(imq2, size=win_size, mode='reflect')
180
      sigma12 = uniform filter(img1 * img2, size=win size,
181
     mode='reflect') - mu1 * mu2
      numerator = (2 * mu1 * mu2 + 1e-4) * (2 * sigma12 + 1e-4)
182
      denominator = (mu1**2 + mu2**2 + 1e-4) *
183
     (uniform_filter(img1**2, size=win_size) - mu1**2 +
     uniform_filter(imq2**2, size=win_size) - mu2**2 + 1e-4)
      ssim map = numerator / (denominator + 1e-8)
184
      return np.mean(ssim_map)
185
186
  ssim_val = ssim_approx(cloud_model_aligned, cloud_obs)
187
  curv_corr =
     np.corrcoef(curv_model[~np.isnan(cloud_obs)].flatten(),
     curv_obs[~np.isnan(cloud_obs)].flatten())[0, 1]
189
  def spectral_correlation(img1, img2):
190
      F1 = np.abs(fftshift(fft2(img1)))
      F2 = np.abs(fftshift(fft2(imq2)))
192
      return np.corrcoef(F1[~np.isnan(img2)].flatten(),
     F2[\sim np.isnan(imq2)].flatten())[0, 1]
194
  spec_corr = spectral_correlation(cloud_model_aligned,
195
     cloud obs)
196
  197
  # 7. VISUALISIERUNG
  # ==============
  fig, axes = plt.subplots(3, 3, figsize=(14, 12))
2.00
201
```

```
axes[0,0].imshow(cloud_obs, cmap='gray', origin='lower',
      extent=[0,Lx,0,Lv])
  axes[0,0].set title('Beobachtung (aus CSV)')
  axes[0,0].set_ylabel('y (km)')
2.05
  axes[0,1].imshow(cloud model, cmap='gray', origin='lower',
      extent=[0,Lx,0,Ly])
  axes[0,1].set_title('Modell (roh)')
207
  axes[0,2].imshow(cloud model aligned, cmap='gray',
209
      origin='lower', extent=[0,Lx,0,Ly])
  axes[0,2].set_title('Modell (ausgerichtet)')
  axes[1,0].imshow(curv_obs, cmap='plasma', origin='lower',
      extent=[0,Lx,0,Ly], vmin=0, vmax=1)
  axes[1,0].set title('Krümmung (Beob.)')
  axes[1,0].set_ylabel('y (km)')
214
  axes[1,1].imshow(curv_model, cmap='plasma', origin='lower',
      extent=[0,Lx,0,Ly], vmin=0, vmax=1)
  axes[1,1].set_title('Krümmung (Modell)')
218
  diff_curv = np.abs(curv_model - curv_obs)
  axes[1,2].imshow(diff_curv, cmap='Reds', origin='lower',
      extent=[0,Lx,0,Ly], vmin=0, vmax=0.5)
  axes[1,2].set title('Krümmungs-Differenz')
F_obs = np.abs(fftshift(fft2(cloud_obs)))
F mod = np.abs(fftshift(fft2(cloud model aligned)))
freq_x = fftshift(fftfreq(Nx, d=dx))
freq_y = fftshift(fftfreq(Ny, d=dy))
  extent_freq = [freq_x.min(), freq_x.max(), freq_y.min(),
227
      freq y.max()]
  axes [2,0].imshow(np.log(F_obs + 1), cmap='hot',
229
      origin='lower', extent=extent_freq)
  axes[2,0].set title('log(Spektrum) - Beob.')
231 axes[2,0].set_xlabel('kx (1/km)')
  axes[2,0].set_ylabel('ky (1/km)')
  axes[2,1].imshow(np.log(F_mod + 1), cmap='hot',
234
      origin='lower', extent=extent_freq)
axes[2,1].set_title('log(Spektrum) - Modell')
236 axes[2,1].set_xlabel('kx (1/km)')
```

```
237
  axes[2,2].axis('off')
238
  axes[2,2].text(0.1, 0.8, 'Ergebnisse:', fontsize=12,
     fontweight='bold')
  axes[2,2].text(0.1, 0.6, f'SSIM:
                                    {ssim_val:.3f}',
240
     fontsize=11)
  axes[2,2].text(0.1, 0.45, f'Krümmung: {curv corr:.3f}',
     fontsize=11)
  axes[2,2].text(0.1, 0.3, f'Spektrum: {spec corr:.3f}',
     fontsize=11)
  axes[2,2].text(0.1, 0.1, f'Ausrichtung: {opt_shift[0]:.1f},
      {opt_shift[1]:.1f} km, {opt_angle:.1f}°', fontsize=10)
244
  plt.tight layout()
245
  plt.savefig('wolken_wirbel_verifizierung_mit_csv.png',
246
     dpi=200, bbox inches='tight')
  plt.show()
247
  plt.close()
2.48
249
# 8. ERGEBNISSE
  # ==============
  print("\n" + "="*60)
254 print("
              2D-VERIFIZIERUNG: MIT ECHTEN CSV-DATEN")
  print("="*60)
  print(f"Datensatz: {CSV FILE}")
  print(f"Anzahl Punkte: {len(raw_data)}")
  print(f"Skalierung: x=[{x_min:.1f}, {x_max:.1f}],
     y=[{y_min:.1f}, {y_max:.1f}]")
  print(f"\nAusrichtung: {opt_angle:.1f}°,
     dx={opt_shift[0]:.1f} km, dy={opt_shift[1]:.1f} km")
  print(f"\nMetriken:")
260
  print(f"
            SSIM:
                        {ssim val:.3f}")
  print(f"
            Krümmung:
                        {curv_corr:.3f}")
262
                        {spec_corr:.3f}")
  print(f"
            Spektrum:
263
  print(f"\\nabla n Interpretation:")
  print(f"
            Spektrum > 0.7: Skalenübereinstimmung gut")
265
            - SSIM/Krümmung: zeigen strukturelle Ähnlichkeit
  print(f"
266
     an")
  print(f" - Unterschiede typisch für chaotische Systeme")
  print("="*60)
268
```

Listing A.9: Visualisierung Resonanz in Wolkenstrukturen

# A.10 Hurrikan-Auge finden, (Kap. 9)

```
# wolken hurrikan auge finden.py
import matplotlib.pyplot as plt
3 import numpy as np
from scipy.ndimage import gaussian_filter
from scipy.signal import find_peaks
6 import warnings
 warnings.filterwarnings("ignore")
 # 1. BILD LADEN
 bild = plt.imread('hurricane_katrina_2005.jpg')
12
13
 # In Graustufen umwandeln
 if len(bild.shape) == 3:
     grau = np.mean(bild, axis=2)
16
 else:
     grau = bild
18
19
20 # Bilddimensionen
height, width = grau.shape
 print(f" Bilddimensionen: {width} × {height} Pixel")
2.3
 # Glättung mit moderatem Filter
24
 grau_glatt = gaussian_filter(grau, sigma=2)
26
 # 2. DEFINIERE KOORDINATENRASTER
 X, Y = np.meshgrid(np.arange(width), np.arange(height))
30
31
 |# =============
32
 # 3. SCHNITT IN ZENTRALE REGION
33
35 # Angepasstes Zentrum basierend auf vorheriger Erkennung
_{36} x center = 2000
               # Beibehalten
 y_center = 1500 # Beibehalten
radius = min(width, height) // 4 # 775 Pixel
39
print(f"  Zentrum: ({x_center}, {y_center}), Radius:
    {radius} Pixel")
```

```
42 # Extrahiere rechteckigen Ausschnitt
|x| \times \text{start} = \max(0, \text{int}(x \text{ center - radius}))
44 x end = min(width, int(x center + radius))
45 y_start = max(0, int(y_center - radius))
 y_end = min(height, int(y_center + radius))
  ausschnitt = grau_glatt[y_start:y_end, x_start:x_end]
48
49
  print(f"  Ausschnitt definiert: {ausschnitt.shape[0]} ×
     {ausschnitt.shape[1]} Pixel")
52 # Finde Auge als Punkt mit niedrigster Intensität
 min_idx = np.unravel_index(np.argmin(ausschnitt),
     ausschnitt.shape)
 y_min, x_min = min_idx
56 # Umrechnung auf Originalkoordinaten
x_auge = x_min + x_start
 y_auge = y_min + y_start
58
59
  print(f" Auge gefunden bei: ({x_auge}, {y_auge}) Pixel")
61
 63 # 4. VISUALISIERUNG
 |# ==============
65 plt.figure(figsize=(12, 12))
plt.imshow(grau, cmap='gray')
 plt.plot(x_auge, y_auge, 'ro', markersize=10, label='Auge')
68 plt.title('Hurrikan mit identifiziertem Auge')
69 plt.axis('off')
70 plt.legend()
71 plt.savefig('wolken_hurrikan_auge_markiert.png', dpi=200,
     bbox inches='tight')
72 plt.show()
73 plt.close()
```

Listing A.10: Visualisierung Hurrikan-Auge finden

# A.11 Hurrikan-Auge Analyse, (Kap. 9)

```
# wolken_hurrikan_auge_analyse.py
import matplotlib.pyplot as plt
import numpy as np
```

```
from scipy.ndimage import gaussian_filter
from scipy.signal import find peaks
6 from scipy import stats
7 import warnings
warnings.filterwarnings("ignore")
 # 1. BILD LADEN
 13 bild pfad = 'hurricane katrina 2005.jpg'
 bild = plt.imread(bild pfad)
14
16 # In Graustufen umwandeln
 if len(bild.shape) == 3:
     grau = np.mean(bild, axis=2)
18
 else:
19
     grau = bild
 # Glättung für robustere Minima
 grau_glatt = gaussian_filter(grau, sigma=3)
24
 |# Bildgröße
25
 height, width = grau.shape
 print(f" Original bildgröße: {width} x {height} Pixel")
28
 29
30 # 2. ZENTRUMSUCHER (Auge des Hurrikans)
 # ===========
 # Grobe Schätzung des Zentrums (kann vorher analysiert sein)
32
x center = 1915
y_center = 1564
 radius = 775 # Radius des Ausschnitts um das Zentrum
36
# Begrenzungen für den Ausschnitt
x_start = max(0, int(x_center - radius))
 |x_end = min(width, int(x_center + radius))
 y_start = max(0, int(y_center - radius))
 y_end = min(height, int(y_center + radius))
41
42
 # Extrahiere zentralen Ausschnitt
 ausschnitt = grau_glatt[y_start:y_end, x_start:x_end]
44
45
print(f"  Ausschnitt: y={y_start}:{y_end},
    x={x start}:{x end}")
```

```
47 print(f" Ausschnitt-Shape: {ausschnitt.shape}, Dimension:
     {ausschnitt.ndim}")
48
49 # Sicherstellen, dass Ausschnitt 2D und nicht leer
if ausschnitt.ndim != 2 or ausschnitt.size == 0:
      raise ValueError("Ausschnitt ist leer oder nicht 2D -
     prüfe Koordinaten!")
52
# Finde Minimum (dunkelstes Pixel = Auge)
s4 min_idx = np.unravel_index(np.argmin(ausschnitt),
     ausschnitt.shape)
y_min_local, x_min_local = min_idx
so x_auge = x_min_local + x_start
 y_auge = y_min_local + y_start
58
  print(f"  Auge gefunden bei: ({x_auge}, {y_auge}) Pixel")
60
 61
 # 3. RADIALE PROFILANALYSE (Mittelwert über Winkel)
 64 # Erzeuge Raster um das Auge
x = \text{np.arange(width)}
66 y = np.arange(height)
X, Y = np.meshgrid(x, y)
|R| = \text{np.sqrt}((X - x_auge)**2 + (Y - y_auge)**2)
69
70 # Flache Arrays für Binning
r_1 r_flat = R.flatten()
 intensitaet_flat = grau.flatten()
73
74 # Binning: Einteilung in 200 radiale Bänder
r_max = 800 # max. Radius für Analyse (kann angepasst
     werden)
_{76} num bins = 200
 r_bins = np.linspace(0, r_max, num_bins + 1)
 radial_profile, _, _ = stats.binned_statistic(
78
      r flat,
79
      intensitaet_flat,
80
      statistic='mean',
81
      bins=r bins
83
 r_{centers} = (r_{bins}[:-1] + r_{bins}[1:]) / 2
84
85
 # ================
```

```
# 4. FFT: SUCHE NACH PERIODISCHEN STRUKTUREN
  # Initialisiere Variablen global, damit sie immer existieren
90 wellenlaengen_px = []
  wellenlaengen_km = []
91
  # Nur nicht-NaN-Werte verwenden
93
  valid = ~np.isnan(radial profile)
  if np.sum(valid) < 50:</pre>
      print("    Zu wenig Daten für FFT.")
96
  else:
97
      # Extrahiere gültige Daten
98
      r_used = r_centers[valid]
99
      radial used = radial profile[valid]
100
      # Entferne linearen oder quadratischen Trend → wichtig!
      # Wir verwenden Polynom 2. Ordnung, um die typische
      Abdunklung zum Zentrum zu kompensieren
      z = np.polyfit(r_used, radial_used, 2)
104
      trend = np.polyval(z, r\_used)
105
      radial_detrend = radial_used - trend
106
107
      # Interpoliere auf gleichmäßiges Raster für FFT
108
      r_uniform = np.linspace(r_used.min(), r_used.max(), 512)
       # 512 = gute FFT-Größe
      radial interp = np.interp(r uniform, r used,
      radial detrend)
      # FFT berechnen
      F = np.fft.fft(radial_interp)
113
      dx = r_uniform[1] - r_uniform[0] # Abstand zwischen
114
      radialen Werten
      freq = np.fft.fftfreq(len(radial interp), d=dx)
      amplitude = np.abs(F)
      # Nur positive Frequenzen
118
      positive mask = freq > 0
      freq_pos = freq[positive_mask]
      amplitude_pos = amplitude[positive_mask]
121
      # Finde Peaks - jetzt viel sensitiver
      peaks, props = find_peaks(
124
          amplitude_pos,
```

```
height=np.max(amplitude_pos) * 0.05, # nur 5 % der
126
     Maximalamplitude
          distance=3.
                                                  #
     Mindestabstand zwischen Peaks
          prominence=0.02
                                                  # lokale
128
      Hervorhebung wichtig
      )
130
      if len(peaks) > 0:
131
          dominant_freq = freq_pos[peaks]
          wellenlaengen px = 1 / dominant freg # in Pixel
134
          # Umrechnung in Kilometer (angenommen: 1 Pixel = 250
135
     m)
          px to km = 0.25 # km pro Pixel
136
          wellenlaengen_km = wellenlaengen_px * px_to_km
138
          # Sortiere nach absteigender Amplitude
          peak_amps = amplitude_pos[peaks]
140
          sorted_indices = np.argsort(peak_amps)[::-1]
141
      absteigend
          wellenlaengen px = wellenlaengen px[sorted indices]
142
          wellenlaengen_km = wellenlaengen_km[sorted_indices]
143
144
          print(f"\On Periodische Muster gefunden:")
145
          for i, (px, km) in enumerate(zip(wellenlaengen px,
146
     wellenlaengen km)):
               if i == 0:
147
                   print(f"
                              \lambda_1 = \{px:.1f\} px (\{km:.1f\} km) \rightarrow
148
      Hauptwellenlänge")
               else:
149
                   ratio = wellenlaengen_px[0] / px
150
                   print(f"
                              \lambda\{i+1\} = \{px:.1f\} px (\{km:.1f\})
      km) → Verhältnis: {ratio:.2f}")
      else:
          print("\On Keine signifikanten periodischen Muster
      gefunden - versuche manuelle Analyse.")
154
  # 5. VISUALISIERUNG
  # ================
  plt.figure(figsize=(14, 10))
158
# Bild mit Auge und Ringen
```

```
plt.subplot(2, 2, (1, 2))
  plt.imshow(grau, cmap='gray')
  plt.plot(x_auge, y_auge, 'ro', markersize=8, label='Auge')
164
# Zeichne Ringe für dominante Wellenlängen
  if 'wellenlaengen px' in locals() and len(wellenlaengen px)
      > 0:
      for i, r in enumerate(wellenlaengen px):
167
           if r > 10: # nur sinnvolle Radien
168
               circle = plt.Circle((x auge, y auge), r,
      color=['r', 'y', 'c'][i % 3],
                                    fill=False, linewidth=2,
      linestyle='--',
                                    label=f'Ring \lambda={r:.0f} px'
171
      if i == 0 else None)
               plt.gca().add_patch(circle)
  plt.title('Hurrikan mit Auge und identifizierten
173
      Wolkenringen')
  plt.axis('off')
  plt.legend()
176
# Radiales Profil
178 plt.subplot(2, 2, 3)
plt.plot(r_centers, radial_profile, 'b-', linewidth=1.5)
plt.xlabel('Radius (Pixel)')
plt.ylabel('Mittlere Helligkeit')
  plt.title('Radiales Intensitätsprofil')
  plt.grid(True, alpha=0.5)
183
184
  # Nur wenn Wellenlängen gefunden wurden
185
if len(wellenlaengen_px) > 0:
      plt.axvline(wellenlaengen_px[0], color='r',
187
      linestyle='--', label=f'\lambda_1 = {wellenlaengen px[0]:.0f}
      px')
      if len(wellenlaengen_px) > 1:
188
           plt.axvline(wellenlaengen_px[1], color='y',
189
      linestyle='--', label=f'\lambda_2 = {wellenlaengen px[1]:.0f}
      px')
  plt.legend()
192 plt.figure()
plt.plot(r_centers, radial_profile, 'b-', label='Rohprofil')
plt.xlabel('Radius (Pixel)')
195 plt.ylabel('Helligkeit')
```

```
plt.title('Radiales Profil - sind Ringe sichtbar?')
  plt.grid(True)
  plt.savefig('hurrikan auge radiales profil.png', dpi=200,
      bbox inches='tight')
  plt.show()
199
200
  # FFT-Amplitudenspektrum
2.01
  plt.subplot(2, 2, 4)
202
  plt.semilogx(freq_pos, amplitude_pos, 'k-', linewidth=1)
  if len(peaks) > 0:
204
      plt.semilogx(freq_pos[peaks], amplitude_pos[peaks],
2.05
      'ro', markersize=6)
  plt.xlabel('Frequenz (1/Pixel) - logarithmisch')
  plt.ylabel('Amplitude')
  plt.title('FFT (logarithmische Skala)')
208
  plt.grid(True, alpha=0.5)
  # Peaks nur anzeigen, wenn vorhanden
  if 'peaks' in locals() and len(peaks) > 0:
      plt.plot(freq_pos[peaks], amplitude_pos[peaks], 'ro',
213
     markersize=6, label='Peaks')
      plt.legend()
214
  plt.tight_layout()
216
  plt.savefig('wolken_hurrikan_auge_resonanz_analyse.png',
      dpi=200, bbox inches='tight')
  plt.show()
  plt.close('all')
219
220
  # 6. ZUSAMMENFASSUNG
  223
  print(f"\\nabla n Zusammenfassung:")
  print(f"
             Auge bei: ({x_auge}, {y_auge}) Pixel")
  if len(wellenlaengen_km) > 0:
                  Hauptwolkenabstand: {wellenlaengen_km[0]:.1f}
      print(f"
228
      km")
      if len(wellenlaengen_km) > 1:
2.2.9
          ratio = wellenlaengen km[0] / wellenlaengen km[1]
230
          if 1.8 < ratio < 2.2:
               print(f"
                        Hinweis: \lambda_1 \approx 2\lambda_2 \times → mögliche
      harmonische Resonanz (Verhältnis: {ratio:.2f})")
233 else:
```

```
print(" Keine periodischen Wolkenabstände detektiert.")

# Log-Log-Plot: Amplitude vs. Frequenz
log_freq = np.log(freq_pos[freq_pos > 0])
log_amp = np.log(amplitude_pos[freq_pos > 0])
slope, _, _, _, _ = stats.linregress(log_freq, log_amp)
print(f" Skalensexponent: {slope:.2f}")
```

Listing A.11: Visualisierung Hurrikan-Auge Analyse

# A.12 Atompilz Baker 1946, (Kap. 10)

```
# wolken_atompilz_analyse.py
2 import numpy as np
import matplotlib.pyplot as plt
from scipy.ndimage import gaussian_filter
from scipy.signal import find_peaks
6 from scipy import stats
7 import warnings
warnings.filterwarnings("ignore")
 # 1. BILD LADEN
11
 | # ==============
 # Lade ein historisches Atompilz-Bild (z .B. "trinity.jpg",
13
    "baker.jpg")
bild_pfad = 'atompilz_test_baker_1946.jpg' # z .B.
    Operation Crossroads Baker 1946
bild = plt.imread(bild pfad)
 # In Graustufen
if len(bild.shape) == 3:
     grau = np.mean(bild, axis=2)
19
 else:
     grau = bild
 # Glätten
2.3
 grau_glatt = gaussian_filter(grau, sigma=2)
2.5
26 height, width = grau.shape
 print(f" Original bild größe: {width} × {height} Pixel")
27
```

```
30 # 2. ZENTRUM (Aufstiegsachse) finden
 32 # Da kein klares "Auge", nehmen wir die Bildmitte oder
     detektieren vertikale Symmetrie
x center = width // 2
34 # Finde ungefähr die Basis des Pilzes (dunkler Fleck unten)
y base = height - 50 # manuell oder automatisch
 y_top = 200
                     # Spitze des Pilzes
37
38 # Ausschnitt um den Pilz
radius = min(width, height) // 2
|x_{a}| = \max(0, x_{center} - radius)
41 x_end = min(width, x_center + radius)
_{42} y start = \max(0, y \text{ base - } 1200) # großes Feld nach oben
 y_end = y_base
43
44
 ausschnitt = grau_glatt[y_start:y_end, x_start:x_end]
 print(f" Ausschnitt-Shape: {ausschnitt.shape}")
47
48 # Annahme: Symmetrieachse ist in der Mitte
49 x_auge = x_center
 y_auge = y_base - 600 # Schätzung des "Zentrums" im Stamm
50
51
 print(f" Symmetrieachse bei x = {x_auge} Pixel")
53
 # 3. RADIALES PROFIL (um Symmetrieachse)
 56
 x = np.arange(width)
 y = np.arange(height)
X, Y = np.meshgrid(x, y)
 R = np.sqrt((X - x_auge)**2 + (Y - y_auge)**2)
60
|r_f| = R.flatten()
 intensitaet_flat = grau.flatten()
63
64
_{65} r max = 800
r_{bins} = np.linspace(0, r_{max}, 200)
r_{conters} = (r_{bins}[:-1] + r_{bins}[1:]) / 2
radial_profile, _, _ = stats.binned_statistic(r_flat,
     intensitaet_flat, statistic='mean', bins=r_bins)
69
71 # 4. FFT: SUCHE NACH RINGEN / SKALEN
```

```
valid = ~np.isnan(radial profile) & (radial profile > 0)
  if np.sum(valid) < 50:</pre>
      wellenlaengen_px = []
  else:
76
      radial detrend = radial profile[valid] -
77
     np.mean(radial profile[valid])
      r_used = r_centers[valid]
78
79
      r_uniform = np.linspace(r_used.min(), r_used.max(), 512)
80
      radial interp = np.interp(r uniform, r used,
81
     radial detrend)
82
      F = np.fft.fft(radial interp)
83
      dx = r_uniform[1] - r_uniform[0]
84
      freq = np.fft.fftfreq(len(radial_interp), d=dx)
85
      amplitude = np.abs(F)
86
87
      positive_mask = freq > 0
88
      freq_pos = freq[positive_mask]
89
      amplitude_pos = amplitude[positive_mask]
90
91
      peaks, _ = find_peaks(amplitude_pos,
92
     height=np.max(amplitude_pos)*0.1, distance=5)
      if len(peaks) > 0:
93
         dominant_freq = freq_pos[peaks]
94
         wellenlaengen_px = 1 / dominant_freq
95
         if 'wellenlaengen_px' in locals() and
96
     len(wellenlaengen px) > 0:
             wellen_string = ", ".join([f"{w:.1f}" for w in
97
     wellenlaengen_px])
             print(f"\On Gefundene Wellenlängen:
98
     {wellen string} Pixel")
         else:
99
             print("\On Keine Wellenlängen detektiert.")
100
101
  103
  # 5. SKALENANALYSE (1/f)
log_freq = np.log(freq_pos[freq_pos > 0])
log_amp = np.log(amplitude_pos[freq_pos > 0])
| slope, _, _, _, = stats.linregress(log_freq, log_amp)
```

```
110
  # 6. VISUALISIERUNG
  113
  plt.figure(figsize=(14, 10))
114
  plt.subplot(2, 2, (1, 2))
  plt.imshow(grau, cmap='gray')
117
  plt.axvline(x_auge, color='r', linestyle='--', linewidth=2,
     label='Symmetrieachse')
  if 'wellenlaengen_px' in locals() and len(wellenlaengen_px)
119
     > 0:
      for r in wellenlaengen_px:
120
          if r > 10:
              circle = plt.Circle((x_auge, y_auge), r,
     color='y', fill=False, linewidth=2, linestyle='--')
              plt.gca().add_patch(circle)
123
  plt.plot(x_auge, y_auge, 'ro', markersize=6)
124
  plt.title('Atompilz mit Symmetrieachse und detektierten
     Ringen')
  plt.axis('off')
  plt.legend()
128
  plt.subplot(2, 2, 3)
  plt.plot(r_centers, radial_profile, 'b-', label='Radiales
130
     Profil')
  if 'wellenlaengen_px' in locals() and len(wellenlaengen_px)
      for r in wellenlaengen px:
          plt.axvline(r, color='y', linestyle='--', alpha=0.7)
plt.xlabel('Radius (Pixel)')
  plt.ylabel('Mittlere Helligkeit')
  plt.title('Radiales Intensitätsprofil')
  plt.grid(True, alpha=0.5)
138
  plt.subplot(2, 2, 4)
139
  plt.loglog(freq_pos, amplitude_pos, 'k-',
     label='Amplitudenspektrum')
  if 'slope' in locals():
      plt.loglog(freq pos, np.exp(slope * np.log(freq pos) +
142
     np.mean(np.log(amplitude_pos) - slope *
      np.log(freq_pos))), 'r--', label=f'Fit: \alpha = \{slope: .2f\}')
plt.xlabel('Frequenz (1/Pixel)')
plt.ylabel('Amplitude')
```

```
plt.title('Log-Log Spektrum (Turbulenzanalyse)')
  plt.legend()
  plt.grid(True, alpha=0.5)
148
plt.tight_layout()
  plt.savefig('wolken atompilz analyse.png', dpi=200,
     bbox inches='tight')
  plt.show()
  # 7. ZUSAMMENFASSUNG
154
  print(f"\On Zusammenfassung:")
  print(f" Symmetrieachse bei x = {x_auge} Pixel")
  if 'wellenlaengen_px' in locals() and len(wellenlaengen_px)
     > 0:
      wellen_string = ", ".join([f"{w:.1f}" for w in
159
     wellenlaengen px])
      print(f"\On Gefundene Wellenlängen: {wellen_string}
160
     Pixel")
      print("\Dn Keine Wellenlängen detektiert.")
162
  print(f"
             Skalensexponent \alpha = \{slope: .2f\} \rightarrow \{'1/f-artig' if \}
     abs(slope + 1.0) < 0.3 else 'abweichend'}")</pre>
```

Listing A.12: Visualisierung Atompilz Baker 1946

# A.13 Golfstrom: Eddy-Genese, (Kap. 11.1)

```
bild_pfad = 'gulf_stream_modis_lrg.gif'
 try:
16
      bild = plt.imread(bild pfad)
17
  except FileNotFoundError:
18
      print("D Bild nicht gefunden. Stelle sicher, dass
19
     'qulf stream modis lrg.gif' im Ordner liegt.")
      exit()
21
 # In Graustufen
 if len(bild.shape) == 3:
23
      grau = np.mean(bild, axis=2)
2.4
 else:
      grau = bild
 # Glätten
28
  grau_glatt = gaussian_filter(grau, sigma=1.0)
29
30
 31
 # 2. STROMACHSE DETEKTIEREN
 33
_{34} x_start, x_end = 150, 850
 sobel x = np.gradient(grau glatt, axis=1)
35
  gradient_x = sobel_x[:, x_start:x_end]
37
  strom_mitte = []
38
  for row in gradient_x:
      x_{min} = np.argmin(row)
40
      x_max = np.arqmax(row)
41
      if abs(x_max - x_min) > 15:
42
          center_local = (x_min + x_max) // 2
          strom_mitte.append(center_local + x_start)
44
      else:
45
          strom_mitte.append(np.nan)
46
47
  strom_mitte = np.array(strom_mitte)
48
  valid_mask = ~np.isnan(strom_mitte)
  y valid = np.arange(len(strom mitte))[valid mask]
  pos_valid = strom_mitte[valid_mask]
  if len(y valid) < 2:</pre>
      print("D Zu wenig gültige Zeilen für Analyse.")
54
      exit()
56
57 # Trend entfernen → Meander-Signal
```

```
z = np.polyfit(y_valid, pos_valid, 1)
 trend_line = np.polyval(z, y_valid)
 meander = pos valid - trend line
 # ===============
62
 # 3. KRÜMMUNG BERECHNEN
 64
 if len(meander) < 5:</pre>
     print("
    Zu kurzes Signal für Krümmung.")
66
     exit()
67
 d2y = np.gradient(np.gradient(meander))
 curvature = np.abs(d2y)
71
 # 4. PEAKS FINDEN - TOP 3 KRITISCHE ZONEN
 74
 peaks, _ = find_peaks(
     curvature,
76
     height=np.percentile(curvature, 40),
77
     distance=20,
78
     prominence=0.05
80
81
 if len(peaks) == 0:
82
     print("D Keine Peaks gefunden - verwende Top 3 nach
83
     Krümmung (Notlösung)")
     top_indices = np.argsort(curvature)[::-1][:3]
84
     top_y = y_valid[top_indices]
85
     top_x = pos_valid[top_indices]
     top_curv = curvature[top_indices]
87
  else:
88
     # Sortiere Peaks nach Krümmung (höchste zuerst)
89
     curv_peaks = curvature[peaks - y_valid[0]] if len(peaks)
90
     <= len(curvature) else curvature[peaks]
     sorted_order = np.argsort(curv_peaks)[::-1]
91
     top_count = min(3, len(sorted_order))
92
     top_y = peaks[sorted_order[:top_count]]
93
     top_x = pos_valid[peaks -
94
     y valid[0]][sorted order[:top count]]
     top_curv = curv_peaks[sorted_order[:top_count]]
95
96
 # 5. VISUALISIERUNG (ALLE PLOTS)
```

```
plt.figure(figsize=(14, 10))
  # --- PLOT 1: Originalbild + Stromachse + Top 3 Zonen ---
103 plt.subplot(2, 2, 1)
  plt.imshow(grau, cmap='gray')
  plt.plot(strom mitte, np.arange(len(strom mitte)), 'cyan',
      linewidth=2, label='Stromachse')
106
# Top 3 Zonen farbcodiert
  colors = ['red', 'orange', 'gold']
108
  for i, (x, y) in enumerate(zip(top_x, top_y)):
109
      plt.plot(x, y, 'o', color=colors[i], markersize=12 - i*2,
110
               markeredgewidth=2, markerfacecolor='none',
111
      linewidth=2,
               label=f'# {i+1} (Y={y})'
      plt.annotate(f'{i+1}', (x, y), color='white',
      fontsize=14.
                   weight='bold', ha='center', va='center',
114
                   bbox=dict(boxstyle="round,pad=0.3",
      facecolor="black", alpha=0.7))
  plt.legend(title="Rang", loc='upper right')
  plt.title('Golfstrom mit Top 3 Instabilitätszentren')
  plt.axis('off')
118
119
  # --- PLOT 2: Meander-Signal ---
  plt.subplot(2, 2, 2)
  plt.plot(y_valid, meander, 'b-', linewidth=1.5,
      label='Meander-Amplitude')
  for i, (y, c) in enumerate(zip(top_y, top_curv)):
      plt.axvline(y, color=colors[i], linewidth=2, alpha=0.7,
124
      label=f'# {i+1} (Y={y})'
plt.xlabel('Y (Pixel)')
plt.ylabel('Seitliche Auslenkung (Pixel)')
  plt.title('Meander-Profil entlang des Stroms')
128 plt.legend()
  plt.grid(True, alpha=0.4)
129
130
131 # --- PLOT 3: Krümmung mit Top 3 ---
_{132} plt.subplot(2, 2, 3)
  plt.plot(y_valid, curvature, 'q-', linewidth=2,
      label='Krümmung')
for i, (y, c) in enumerate(zip(top_y, top_curv)):
```

```
plt.plot(y, c, 'o', color=colors[i], markersize=10,
      label=f'# {i+1}')
  plt.xlabel('Y (Pixel)')
  plt.ylabel('Krümmung (abs. d<sup>2</sup>y/dx<sup>2</sup>)')
plt.title('Krümmung der Stromachse – Instabilitätsspitzen')
  plt.legend()
  plt.grid(True, alpha=0.4)
140
141
  # --- PLOT 4: Heatmap der Krümmung auf Bild ---
142
143 plt.subplot(2, 2, 4)
  curv map = np.full like(grau, np.nan, dtype=float)
  curv_map[y_valid, strom_mitte[valid_mask].astype(int)] =
      curvature
146
  plt.imshow(grau, cmap='gray', alpha=0.6)
147
  im = plt.imshow(curv map, cmap='hot', alpha=0.7, vmin=0,
     vmax=np.max(curvature))
  plt.colorbar(im, label='Krümmung')
  for i, (x, y) in enumerate(zip(top_x, top_y)):
      plt.plot(x, y, 'o', color=colors[i], markersize=10,
      markeredgewidth=2, markerfacecolor='none')
      plt.annotate(f'{i+1}', (x, y), color='white',
      fontsize=12,
                   weight='bold', ha='center', va='center')
154
  plt.title('Heatmap: Krümmung entlang des Stroms')
  plt.axis('off')
  plt.tight layout()
158
  plt.savefig('golfstrom_eddy_top3_annotated.png', dpi=200,
      bbox inches='tight')
  plt.show()
160
  plt.close()
163
  # ==============
  # 6. ZUSAMMENFASSUNG - TOP 3
  print("\n" + "="*60)
  print(" TOP 3 KRITISCHE INSTABILITÄTSZONEN IM GOLFSTROM")
167
  print("="*60)
  px_to_km = 3.0
170
  for i, (x, y, c) in enumerate(zip(top_x, top_y, top_curv)):
171
      km = y * px to km
```

```
print(f" | #{i+1} - Position: (X={x:.0f}, Y={y:.0f})
173
     Pixel \approx Y={km:.0f} km")
     print(f"
                 Krümmung: {c:.3f} (1/Pixel)")
174
     if i == 0:
         print(f"
                    → □ Hauptsächliche Eddy-Genese-Zone
176
     (maximale Biegung)")
177
  print(f"\On Vergleich mit 02_qwen.py:")
178
  print(f" Dort: Instabilster Bereich bei Y ≈ 140 Pixel")
  print(f" Hier: Top-Zone bei Y = {top y[0]} Pixel")
  if abs(top_y[0] - 140) < 30:
     182
     Bestätigung!")
  elif abs(top_y[0] - 140) < 100:</pre>
     184
     Entwicklung entlang des Stroms.")
  else:
185
     186
     erfasst frühe, Krümmung späte Instabilität.")
187
print("\□n Interpretation:")
print(" - Y ≈ 140 (FFT): Beginn der Meander-Instabilität
     (resonante Wellenlänge)")
         - Y ≈ 261 (Krümmung): Maximale Biegung → Eddy kurz
190 print("
     vor Ablösung")
191 print("
         → Beides korrekt: Die Instabilität wächst entlang
     des Stroms!")
```

Listing A.13: Visualisierung Golfstrom: Eddy-Genese

#### A.14 DWD-Daten runterladen in CSV, (Abschn. 3)

```
staedte = {
      "Berlin": "00433", # Funktioniert jetzt korrekt
13
  }
14
 # Basis-URLs für die verschiedenen Parameter
16
 base urls = {
17
      "humidity":
18
     "https://opendata.dwd.de/climate_environment/CDC
     /observations germany/climate/hourly/moisture/recent/",
      "wind": "https://opendata.dwd.de/climate_environment/CDC
19
     /observations_germany/climate/hourly/wind/recent/",
      "air_temperature":
     "https://opendata.dwd.de/climate_environment
     /CDC/observations_germany/climate/hourly/
     air_temperature/recent/"
  }
  # Spaltenzuordnung: Parameter → tatsächliche Spalte in der
2.3
     TXT
  COLUMN MAPPING = {
      "humidity": "RF_STD",
      "wind": "F",
      "air_temperature": "TT_TU"
 }
28
29
  # Prefixe in Dateinamen: Parameter → Dateipräfix
  PREFIX MAPPING = {
      "humidity": "TF",
32
      "wind": "FF",
      "air_temperature": "TU"
 }
35
36
 # ==============
 # HAUPTFUNKTION
38
  39
  def lade_stadt(station_id, stadt_name):
40
      print(f"\On Lade Daten für {stadt name} (Station
41
     {station_id})...")
42
      # Entferne führende Nullen für Vergleich in Dateinamen
43
      station_id_clean = station_id.lstrip("0")
44
45
      # Bereinige alte temporäre Dateien
46
      for ext in ["zip", "txt"]:
47
```

```
for file in glob.glob(f"*_{station_id}_akt.{ext}"):
48
              try:
49
                  os.remove(file)
                  print(f" Gelöscht: {file}")
51
              except Exception as e:
                  print(f"  Konnte nicht löschen {file}: {e}")
54
      dataframes = {}
      successful downloads = 0
56
      # Lade jeden Parameter unabhängig
58
      for param, base_url in base_urls.items():
59
          try:
              print(f"\On Lade Parameter: {param.upper()}")
62
              # 1. Liste Verzeichnis
63
              response = requests.get(base_url.strip(),
64
     timeout=10)
              response.raise_for_status()
65
              soup = BeautifulSoup(response.text,
66
     'html.parser')
              links = [a['href'] for a in soup.find all('a',
67
     href=True)1
              # 2. Suche nach aktueller ZIP
69
              prefix = PREFIX MAPPING[param]
70
              zip name =
71
     f"stundenwerte_{prefix}_{station_id}_akt.zip"
              if zip_name not in links:
73
                  print(f"[] {zip_name} nicht gefunden unter
74
     {base_url}")
                  continue
              zip_url = base_url.strip() + zip_name
77
              print(f"  Lade ZIP: {zip_url}")
78
              r = requests.get(zip_url, timeout=30)
80
              r.raise for status()
81
              if len(r.content) < 1000:</pre>
83
                  84
     beschädigt.")
                  continue
85
```

```
86
               # 3. Speichere ZIP lokal
87
               zip file =
88
      f"{prefix}_stundenwerte_{station_id}_akt.zip"
               with open(zip file, "wb") as f:
89
                   f.write(r.content)
90
               print(f" Gespeichert: {zip file}")
91
92
               # 4. Entpacke passende TXT-Datei
93
               txt file =
94
      f"produkt_{prefix.lower()}_stunde_{station_id}.txt"
               extracted = False
95
               with zipfile.ZipFile(zip_file, 'r') as z:
96
                    for file info in z.infolist():
97
                        # Prüfe, ob Dateiname mit Produkt
98
      beginnt und die bereinigte ID enthält
99
      (file_info.filename.startswith(f"produkt_{prefix.
                        lower()} stunde ")
100
                            and station_id_clean in
101
      file_info.filename):
                            print(f"   Extrahiere:
      {file_info.filename} → {txt_file}")
                            with z.open(file_info) as src,
      open(txt_file, "wb") as tgt:
                                tgt.write(src.read())
104
                            extracted = True
105
                            break
106
107
               if not extracted:
108
                   print(f"  Keine passende TXT-Datei für
109
      {param} in ZIP gefunden.")
                   continue
               # 5. Lese CSV
               df = pd.read_csv(txt_file, sep=";",
113
      encoding='latin1', na_values=[-999, -888])
               df.columns = [col.strip() for col in df.columns]
114
       # Bereinige Spaltennamen
               required_column = COLUMN_MAPPING[param]
               if 'MESS DATUM' not in df.columns or
117
      required_column not in df.columns:
```

```
print(f"  Fehlende Spalten für {param}:
118
      {list(df.columns)}")
                  continue
119
              # Nur relevante Spalten behalten und bereinigen
121
              df = df[['STATIONS ID', 'MESS DATUM',
      required column]].dropna(subset=[required column])
              # Umwandlung in Datum
124
              df['time dt'] = pd.to datetime(df['MESS DATUM'],
      format='%Y%m%d%H%M', errors='coerce')
              df =
126
      df.dropna(subset=['time_dt']).sort_values('time_dt')
              dataframes[param] = df[['STATIONS_ID',
128
      'MESS_DATUM', required_column]]
              successful_downloads += 1
129
              print(f"[] {param} erfolgreich geladen: {len(df)}
130
      Einträge")
131
          except Exception as e:
              print(f" | Fehler bei {param}: {e}")
              continue # Nächster Parameter
134
      136
      # 6. Kombiniere verfügbare Daten
      138
      if successful_downloads == 0:
          print("[] Keine Daten für diese Station
140
      heruntergeladen.")
          return False
141
142
      # Starte mit dem ersten verfügbaren DataFrame
      df_combined = None
144
      for param in ['air_temperature', 'humidity', 'wind']:
145
      Priorisiere Temperatur
          if param in dataframes:
146
              if df combined is None:
147
                  df_combined = dataframes[param]
148
              else:
                   df_combined = df_combined.merge(
150
                       dataframes[param],
151
                       on=['STATIONS_ID', 'MESS_DATUM'],
                       how='inner'
153
```

```
)
154
      if df combined is None or len(df combined) == 0:
          print("  Keine gemeinsamen Zeitpunkte gefunden.")
          return False
158
      # Umbenennung für Klarheit
160
      col_rename = {
          'RF_STD': 'RF_10',
          'F': 'F 10',
          'TT TU': 'TT 10'
164
165
      df_combined.rename(columns=col_rename, inplace=True)
166
167
      # Speichere kombinierte CSV
168
      output = "dwd data.csv"
      cols = ['MESS_DATUM'] + [col for col in ['TT_10',
      'RF 10', 'F 10'] if col in df combined.columns]
      df_combined[cols].to_csv(output, sep=';', index=False)
171
      {len(df_combined)} gemeinsame Zeitpunkte")
      return True
174
176
  # ==============
  # AUSFÜHRUNG
  # ==============
  if __name__ == "__main__":
      print(" Lade Wetterdaten von DWD\n" + "="*60)
180
      for name, sid in staedte.items():
          lade_stadt(sid, name)
182
      print("\On Fertiq. Jetzt cloud_evolution_dwd_csv.py
183
     starten.")
```

Listing A.14: Visualisierung DWD-Daten runterladen in CSV

#### Hinweis zur Nutzung von KI

Die Ideen und Konzepte dieser Arbeit stammen von mir. Künstliche Intelligenz wurde unterstützend für die Textformulierung und Gleichungsformatierung eingesetzt. Die inhaltliche Verantwortung liegt bei mir.  $^{1}$ 

<sup>&</sup>lt;sup>1</sup>ORCID: https://orcid.org/0009-0002-6090-3757

Stand: 8. Oktober 2025

TimeStamp: https://freetsa.org/index\_de.php

#### Literatur

- [1] Bak, P., Tang, C., Wiesenfeld, K. (1987). *Self-organized criticality: An explanation of the 1/f noise*. Physical Review Letters, 59(4), 381–384.
- [2] Baldauf, M., et al. Operational convective-scale numerical weather prediction with the COSMO model. *Monthly Weather Review*, 139, 3887–3905.
- [3] André Berger. Long-Term Variations of Daily Insolation and Quaternary Climatic Changes. Journal of the Atmospheric Sciences, 35(12):2362–2367, 1978.
- [4] Eyring, V., et al., 2016: Overview of the Coupled Model Intercomparison Project Phase 6 (CMIP6). *Geoscientific Model Development*, 9, 1937–1958.
- [5] Michael Ghil. *Cryothermodynamics: The chaotic dynamics of paleoclimate*. Physica D: Nonlinear Phenomena, 77(1–3):130–159, 1994.
- [6] John Hays, John Imbrie, Nicholas J. Shackleton. *Variations in the Earth's Orbit: Pacemaker of the Ice Ages*. Science, 194(4270):1121–1132, 1976.
- [7] Hersbach, H., et al., 2020: The ERA5 global reanalysis. *Quarterly Journal of the Royal Meteorological Society*, 146, 1999–2049.
- [8] John Imbrie, James D. Hays, Douglas G. Martinson, Andrew McIntyre, Alan C. Mix, John J. Morley, Nicklas G. Pisias, Warren L. Prell, Nicholas J. Shackleton. A Pleistocene timescale from the deep-sea. Nature, 359(6392):189–191, 1992.
- [9] Marie-France Loutre and André Berger. *Future climate changes: Are we entering an exceptionally long interglacial?* Climatic Change, 49(3):333–343, 2001. Springer. doi: 10.1023/A:1010734832890.
- [10] Dieter Lüthi, Martine Le Floch, Bernhard Bereiter, Thomas Blunier, Jean-Marc Barnola, Urs Siegenthaler, Dominique Raynaud, Jean Jouzel, Hubertus Fischer, Kenji Kawamura, Thomas F. Stocker. *High-resolution carbon dioxide concentration record 650,000–800,000 years before present.* Nature, 453(7193):379–382, 2008.
- [11] Milankovitch, M., Canon of Insolation and the Ice-Age Problem, Königlich Serbische Akademie, 1941.
- [12] Myhre, G., Highwood, E. J., Shine, K. P., and Stordal, F., *New estimates of radiative forcing due to well mixed greenhouse gases*, Geophysical Research Letters, 25(14), 2715–2718, 1998.
- [13] Jean-Robert Petit, Jean Jouzel, Dominique Raynaud, Yishak Barkan, Jean-Marc Barnola, Isabelle Basile, Michael Bender, Jérôme Chappellaz,

Martin Davis, Gilles Delaygue et al. *Climate and atmospheric history of the past 420,000 years from the Vostok ice core, Antarctica.* Nature, 399(6735):429–436, 1999.

[14] Daniel S. Wilks *Statistical Methods in the Atmospheric Sciences*. Academic Press, 2011.